

---

RAPPORT

# Kregnesbakken

---

OPPDRAUGSGIVER  
Melhus Kommune

EMNE  
Datarapport grunnundersøkelser

DATO / REVISJON: 22. november 2019 / 00  
DOKUMENTKODE: 10206445-RIG-RAP-001

---



Multiconsult

Denne rapporten er utarbeidet av Multiconsult i egen regi eller på oppdrag fra kunde. Kundens rettigheter til rapporten er regulert i oppdragsavtalen. Hvis kunden i samsvar med oppdragsavtalen gir tredjepart tilgang til rapporten, har ikke tredjepart andre eller større rettigheter enn det han kan utlede fra kunden. Multiconsult har intet ansvar dersom rapporten eller deler av denne brukes til andre formål, på annen måte eller av andre enn det Multiconsult skriftlig har avtalt eller samtykket til. Deler av rapportens innhold er i tillegg beskyttet av opphavsrett. Kopiering, distribusjon, endring, bearbeidelse eller annen bruk av rapporten kan ikke skje uten avtale med Multiconsult eller eventuell annen opphavsrettshaver.

## RAPPORT

OPPDRAG	<b>Kregnesbakken</b>	DOKUMENTKODE	10206445-RIG-RAP-001
EMNE	Datarapport – geotekniske grunnundersøkelser	TILGJENGELIGHET	Åpen
OPPDRAGSGIVER	<b>Melhus Kommune</b>	OPPDRAGSLEDER	Tore Jensås/Stine Ruud
KONTAKTPERSON	Caroline Mevik	UTARBEIDET AV	Øyvind Andersen
KOORDINATER	SONE: 32 ØST: 562607 NORD: 7012376	ANSVARLIG ENHET	10234011 Geoteknikk Midt
GNR./BNR./SNR.	49/4, 50/2, 49/9, 50/1, 48/7 Melhus kommune		

## SAMMENDRAG

Melhus kommune ønsker en utbedring av Kregnesbakken som er en del av kommunalvegen (Kv.2016) Kregnesvegen. Dagens veg opp Kregnesbakken tilfredsstiller ikke krav til kommunens- eller standard vegenorm. Det er også et ønske om økt tillatt aksellast, og breddeutvidelse. Planlagt veglinje som skal opprustes er på ca. 900 meter.

Multiconsult Norge AS er engasjert av Melhus kommune for å utføre grunnundersøkelser og geoteknisk bistand i forbindelse med utarbeidelse av reguleringsplanen. Vegstrekningen er bratt med en gjennomsnittlig stigning på ca. 1:8 i lengderetningen. Terrenget i bakken faller generelt sørøstover med helning hovedsakelig mellom 1:2,3 og 1:2,5.

Det er blitt utført grunnundersøkelser i totalt 15 borpunkt, dette omfatter dreitykksonderinger i 12 borpunkt, totalsonderinger i 5 borpunkt, trykksondring CPTU i 6 borpunkt, prøvetaking i 6 borpunkt og poretrykksmåling i 4 borpunkt. Det er tidligere utført enkelte sonderinger av forskjellige aktører innenfor planområdet.

Boret dybde i løsmasser varierer mellom ca. 8 meter og 50 meter under terrenget. I de to grunneste deietykksonderingene ble det besluttet å benytte totalsondring for å nå dypere i undergrunnen. Ingen av sonderingene har påtruffet berg. Løsmassene består stort sett av leire, i flere hull ned til store dybder, over et fastere lag. Det er påtruffet kvikkleire og leire med sprøbruddegenskaper i flere borpunkt. Målt poretrykk viser en generell lav grunnvannstand, muligens poreundertrykk i det mektige leirlaget.

00	22.11.19	Datarapport grunnundersøkelser	Øyvind Andersen	Tore Jensås	Konstantinos Kalomoiris
REV.	DATO	BESKRIVELSE	UTARBEIDET AV	KONTROLLERT AV	GODKJENT AV

**INNHOLDSFORTEGNELSE**

<b>1</b>	<b>Innledning .....</b>	<b>7</b>
1.1	Formål og bakgrunn .....	7
1.2	Utførelse .....	7
1.3	Kvalitetssikring og standardkrav .....	7
1.4	Innhold og bruk av rapporten .....	7
<b>2</b>	<b>Områdebeskrivelse .....</b>	<b>8</b>
2.1	Befaring .....	8
2.2	Området og topografi .....	8
<b>3</b>	<b>Geotekniske grunnundersøkelser .....</b>	<b>9</b>
3.1	Tidligere grunnundersøkelser .....	9
3.2	Utførte grunnundersøkelser .....	10
3.2.1	Feltundersøkelser .....	10
3.2.2	Laboratorieundersøkelser .....	11
<b>4</b>	<b>Grunnforholdsbeskrivelse .....</b>	<b>13</b>
4.1	Kvantærgeologisk kart .....	13
4.2	Eksisterende faresoner for kvikkleireskred .....	13
4.3	Grunnforhold tolket ut fra grunnundersøkelser .....	14
4.3.1	Generelt .....	14
4.3.2	Dybde til berg .....	14
4.3.3	Løsmasser .....	15
4.3.4	Poretrykk og grunnvann .....	15
<b>5</b>	<b>Geoteknisk evaluering av resultatene .....</b>	<b>16</b>
5.1	Avvik fra standard utførelsesmetoder .....	16
5.2	Viktige forutsetninger .....	16
5.3	Undersøkelses- og prøvekvalitet .....	16
5.4	Måling av poretrykk .....	16
5.5	Påvisning av bergnivå .....	16
<b>6</b>	<b>Behov for supplerende grunnundersøkelser .....</b>	<b>17</b>
<b>7</b>	<b>Referanser .....</b>	<b>17</b>

**TEGNINGER**

10206445--RIG-TEG	-000	Oversiktskart
	-001.1	Borplan del 1
	-001.2	Borplan del 2
	-010	Sonderingsresultat borpunkt 1-5
	-011	Sonderingsresultat borpunkt 6-8
	-012	Sonderingsresultat borpunkt 9-11
	-013	Sonderingsresultat borpunkt 12-14
	-014	Sonderingsresultat borpunkt 15
	-200	Prøveserie PR.3
	-201.a	Prøveserie PR.4a
	-201.b	Prøveserie PR.4b
	-202	Prøveserie PR.5
	-203	Prøveserie PR.8
	-204	Prøveserie PR.9
	-205	Prøveserie PR.10
	-300	Kongradering Borpunkt 8 dybde 4-5m og 5-6 m
	-350	Poretrykksmåling, BP 3
	-351	Poretrykksmåling, BP 5
	-353	Poretrykksmåling, BP 8
	-354	Poretrykksmåling BP 11

-400.1	Kontinuerlig ødometerforsøk, CRS-rutine, PR.4, d=12.45, Plott: $\sigma_{av}' - \epsilon_a$ , M og $c_v$
-400.2	Kontinuerlig ødometerforsøk, CRS-rutine, PR.4, d=12.45, Plott: $\sigma_{av}' - \epsilon_a$ , k og $u_b/\sigma$
-401.1	Kontinuerlig ødometerforsøk, CRS-rutine, PR.5, d=10.50, Plott: $\sigma_{av}' - \epsilon_a$ , M og $c_v$
-401.2	Kontinuerlig ødometerforsøk, CRS-rutine, PR.5, d=10.50, Plott: $\sigma_{av}' - \epsilon_a$ , k og $u_b/\sigma$
-402.1	Kontinuerlig ødometerforsøk, CRS-rutine, PR.5, d=15.95, Plott: $\sigma_{av}' - \epsilon_a$ , M og $c_v$
-402.2	Kontinuerlig ødometerforsøk, CRS-rutine, PR.5, d=15.95, Plott: $\sigma_{av}' - \epsilon_a$ , k og $u_b/\sigma$
-450.1	Aktivt treaksialforsøk PR.4, d=12.30, Spenningssti i skjærfase NTN-plott
-450.2	Aktivt treaksialforsøk PR.4, d=12.30, Spenningssti i skjærfase p'-q plott
-450.3	Aktivt treaksialforsøk PR.4, d=12.30, Spenningssti i skjærfase MIT-plott
-451.1	Aktivt treaksialforsøk PR.5, d=4.50, Spenningssti i skjærfase NTN-plott
-451.2	Aktivt treaksialforsøk PR.5, d=4.50, Spenningssti i skjærfase p'-q plott
-451.3	Aktivt treaksialforsøk PR.5, d=4.50, Spenningssti i skjærfase MIT-plott
-452.1	Aktivt treaksialforsøk PR.5, d=16.00 Spenningssti i skjærfase NTN-plott
-452.2	Aktivt treaksialforsøk PR.5, d=16.00, Spenningssti i skjærfase p'-q plott
-452.3	Aktivt treaksialforsøk PR.5, d=16.00, Spenningssti i skjærfase MIT-plott
-453.1	Aktivt treaksialforsøk PR.9, d=4.42, Spenningssti i skjærfase NTN-plott
-453.2	Aktivt treaksialforsøk PR.9, d=4.42, Spenningssti i skjærfase p'-q plott
-453.3	Aktivt treaksialforsøk PR.9, d=4.42, Spenningssti i skjærfase MIT-plott
-500.1	CPTU, Borpunkt 3, Måledata
-500.2	CPTU, Borpunkt 3, In-situ poretrykk, total og effektiv vertikalspenning i beregninger
-500.3	CPTU, Borpunkt 3, Spissmotstand $q_{c,t,n}$ , sidefriksjon $f_{s,t}$ , poretrykk $u_{0,2}$ , poreovertrykk $\Delta u$ og helning i
-500.4	CPTU, Borpunkt 3, Poretrykksforholdet $B_q$ , friksjonsforholdet $R_r$ og spissmotstandstall $N_m$
-501.1	CPTU, Borpunkt 4, Måledata
-501.2	CPTU, Borpunkt 4, In-situ poretrykk, total og effektiv vertikalspenning i beregninger
-501.3	CPTU, Borpunkt 4, Spissmotstand $q_{c,t,n}$ , sidefriksjon $f_{s,t}$ , poretrykk $u_{0,2}$ , poreovertrykk $\Delta u$ og helning i
-501.4	CPTU, Borpunkt 4, Poretrykksforholdet $B_q$ , friksjonsforholdet $R_r$ og spissmotstandstall $N_m$
-502.1	CPTU, Borpunkt 5, Måledata
-502.2	CPTU, Borpunkt 5, In-situ poretrykk, total og effektiv vertikalspenning i beregninger
-502.3	CPTU, Borpunkt 5, Spissmotstand $q_{c,t,n}$ , sidefriksjon $f_{s,t}$ , poretrykk $u_{0,2}$ , poreovertrykk $\Delta u$ og helning i
-502.4	CPTU, Borpunkt 5, Poretrykksforholdet $B_q$ , friksjonsforholdet $R_r$ og spissmotstandstall $N_m$
-503.1	CPTU, Borpunkt 8, Måledata
-503.2	CPTU, Borpunkt 8, In-situ poretrykk, total og effektiv vertikalspenning i beregninger
-503.3	CPTU, Borpunkt 8, Spissmotstand $q_{c,t,n}$ , sidefriksjon $f_{s,t}$ , poretrykk $u_{0,2}$ , poreovertrykk $\Delta u$ og helning i
-503.4	CPTU, Borpunkt 8, Poretrykksforholdet $B_q$ , friksjonsforholdet $R_r$ og spissmotstandstall $N_m$
-504.1	CPTU, Borpunkt 9, Måledata
-504.2	CPTU, Borpunkt 9, In-situ poretrykk, total og effektiv vertikalspenning i beregninger
-504.3	CPTU, Borpunkt 9, Spissmotstand $q_{c,t,n}$ , sidefriksjon $f_{s,t}$ , poretrykk $u_{0,2}$ , poreovertrykk $\Delta u$ og helning i

-504.4	<i>CPTU, Borpunkt 9, Poretrykksforholdet <math>B_a</math>, friksjonsforholdet <math>R_r</math> og spissmotstandstall <math>N_m</math></i>
-505.1	<i>CPTU, Borpunkt 11, Måledata</i>
-505.2	<i>CPTU, Borpunkt 11, In-situ poretrykk, total og effektiv vertikalspenning i beregninger</i>
-505.3	<i>CPTU, Borpunkt 11, Spissmotstand <math>q_{c,t,n}</math>, sidefriksjon <math>f_{s,t}</math>, poretrykk <math>u_{0,2}</math>, poreovertrykk <math>\Delta u</math> og helning i</i>
-505.4	<i>CPTU, Borpunkt 11, Poretrykksforholdet <math>B_a</math>, friksjonsforholdet <math>R_r</math> og spissmotstandstall <math>N_m</math></i>

**VEDLEGG**

1. Kalibreringsskjema CPTU-sonde

**BILAG**

1. Geoteknisk bilag – Feltundersøkelser
2. Geoteknisk bilag – Laboratorieundersøkelser
3. Geoteknisk bilag – Oversikt over metodestandarder og retningslinjer

## 1 Innledning

Foreliggende rapport presenterer resultater fra utførte geotekniske grunnundersøkelser for Kregnesbakken i Melhus kommune.

### 1.1 Formål og bakgrunn

Melhus kommune ønsker en utbedring av Kregnesbakken som er en del av kommunalvegen (Kv.2016) Kregnesvegen. Dagens veg opp Kregnesbakken tilfredsstiller ikke krav til kommunens- eller standard vegnorm. Det er også et ønske om økt tillatt aksellast og breddeutvidelse.

Multiconsult Norge AS er engasjert av Melhus kommune for å utføre geotekniske grunnundersøkelser og vurderinger i forbindelse med reguleringsplanen. Foreliggende datarapport presenterer resultater fra grunnundersøkelsene.

### 1.2 Utførelse

Boringens utførelse er generelt beskrevet i geoteknisk bilag 1, mens oversikt over metodestandarder for utførelse er gitt i geoteknisk bilag 3. Metodikk/prosedyre for utførelse av laboratorieundersøkelsene er generelt beskrevet i geoteknisk bilag 2.

Boringene er hovedsakelig utført av boreleder Jørgen Forbor mellom uke 33 og 37, 2019. Undersøkelsene ble utført beltegående borerigg av typen Geotech 605 hk, Alle kotehøyder referer til NN2000 og borepunktene er målt inn i koordinatsystem Euref 89 UTM 32. Innmålingen er gjort med Trimble GPS med CPOS. Den har en nøyaktighet på ca.  $\pm 0,02\text{m}$  i horisontalplanet, og ca.  $\pm 0,04\text{ m}$  i vertikalplanet.

Laboratorieundersøkelsene er utført ved Multiconsults geotekniske laboratorium i Trondheim i uke 38, 39 og 40.

### 1.3 Kvalitetssikring og standardkrav

Oppdraget er kvalitetssikret i henhold til Multiconsults styringssystem. Systemet omfatter prosedyrer og beskrivelser som er dekkende for kvalitetsstandard NS-EN ISO 9001:2015 [1]. Feltundersøkelsene er utført iht. NS 8020-1:2016 [2] og tilgjengelige metodestandarder fra Norsk Geoteknisk Forening [3].

Laboratorieundersøkelsene er utført iht. NS 8000-serien og relevante ISO-standarder. Datarapporten er utarbeidet i henhold til NGF-melding nr. 2 [3] og krav i NS-EN-1997 (Eurokode 7) – Del 2 [4].

Oversikt over utvalgte metodestandarder er vist i geoteknisk bilag 3.

### 1.4 Innhold og bruk av rapporten

Geoteknisk datarapport presenterer resultater fra utførte geotekniske grunnundersøkelser i geotekniske termer og krever geoteknisk kompetanse for videre bruk i rådgivings- og prosjekteringssammenheng. Rapporten inneholder i så måte ingen vurderinger av byggbarhet, metoder eller tiltak, og vi anbefaler at det engasjeres geoteknisk kompetanse i det videre arbeidet med prosjektet.

Geoteknisk datarapport omhandler ikke data eller vurderinger knyttet til tilstedeværelse av forerent grunn i det undersøkte området. Dersom det foreligger mistanke om forerent grunn, anbefaler vi at det bestilles miljøtekniske grunnundersøkelser. Dersom miljøtekniske grunnundersøkelser er utført av Multiconsult, rapporteres disse undersøkelsene med tilhørende analyser og resultater i separat miljøteknisk datarapport.

## 2 Områdebeskrivelse

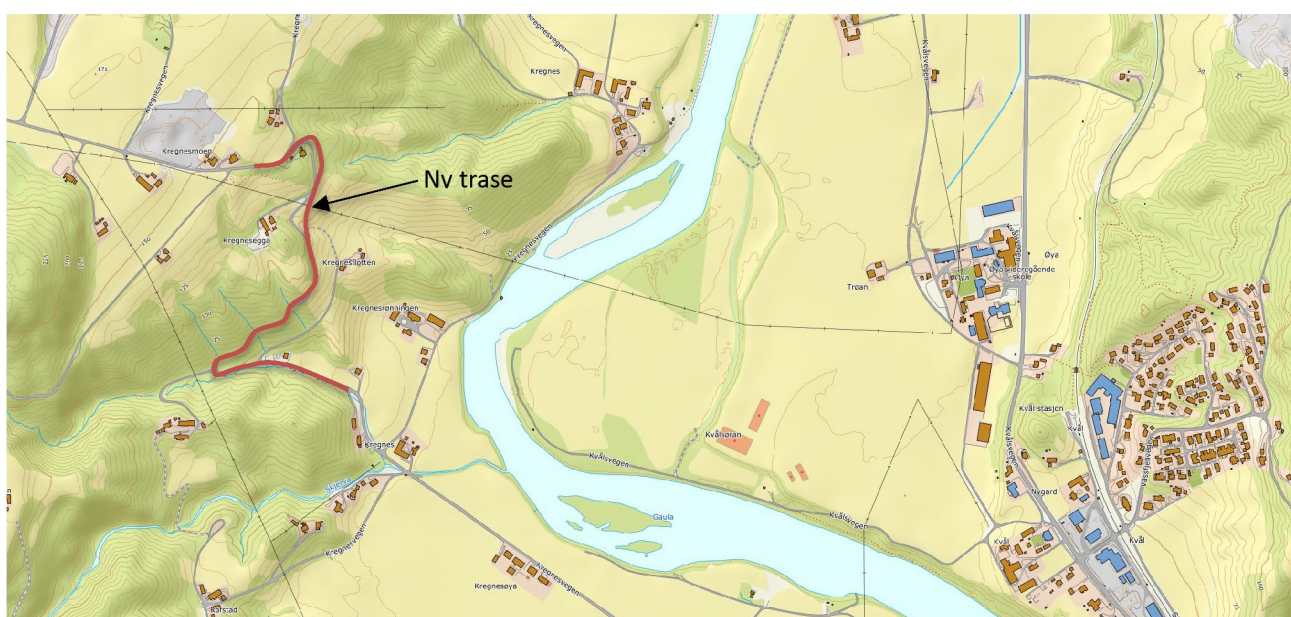
## 2.1 Befaring

Multiconsult Norge AS var i august 2019 på befaring i forbindelse med grunnundersøkelsen. Vegen som skal utbedres er smal, bratt og svingete. Tidligere er det utført forbedringer etter autovernet har sklidd/seget ut. Massetransport av løsmasser har kommet ut i vegbanen, og bl.a. tettet stikkrenner. Skjæringer på innsiden er delvis plastret med pukk. Vi er blitt opplyst at det om vinteren er svært glatt og det er vanskelig å komme seg både opp og ned.

Det er ikke registrert berg i dagen noe sted langs eller i nærheten av det aktuelle området.

## 2.2 Området og topografi

Kregnesplatået ble avsatt som et isbredelta ifm. siste istid, helt opp til daværende havnivå. Gaula har siden den gangen skjært seg gjennom dalen, slik at restene av platået kun vises på Kregnes og på motsatt side av dalen (Skjæringsstadmoen). Terrenget i planområdet faller generelt sørøstover med helning ca. mellom 1:2,3 og 1:2,5 mot Gaula. Dagens veg er etablert med skjæring inn i terrenget og oppfylling langs utsiden. Planlagt trasé følger eksisterende veg, se Figur 2-1. Området rundt vegen består for det meste av tett skog med partier med noe brattere skråninger, og ravinerte bekkedaler. I midtre/nordre deler av vegen er det bebyggelse både på oversiden og undersiden av vegen. Det er også noe kulturlandskap langs traséen. Vegen starter ved ca. kote +31 og strekker seg til ca. kote +141. Kotehøyden er antatt fra digitalt kart og kan være noe unøyaktige. Den generelle stigningen er gjennomsnittlig ca. 1:8, for selve Kregnesbakken.



Figur 2-1: Oversikt over planområdet, med aktuell trase skissert i rødt (norgeskart.no)

### 3 Geotekniske grunnundersøkelser

#### 3.1 Tidligere grunnundersøkelser

Det er tidligere gjennomført flere grunnundersøkelser i og i nærheten av det aktuelle området, se Tabell 3-1.

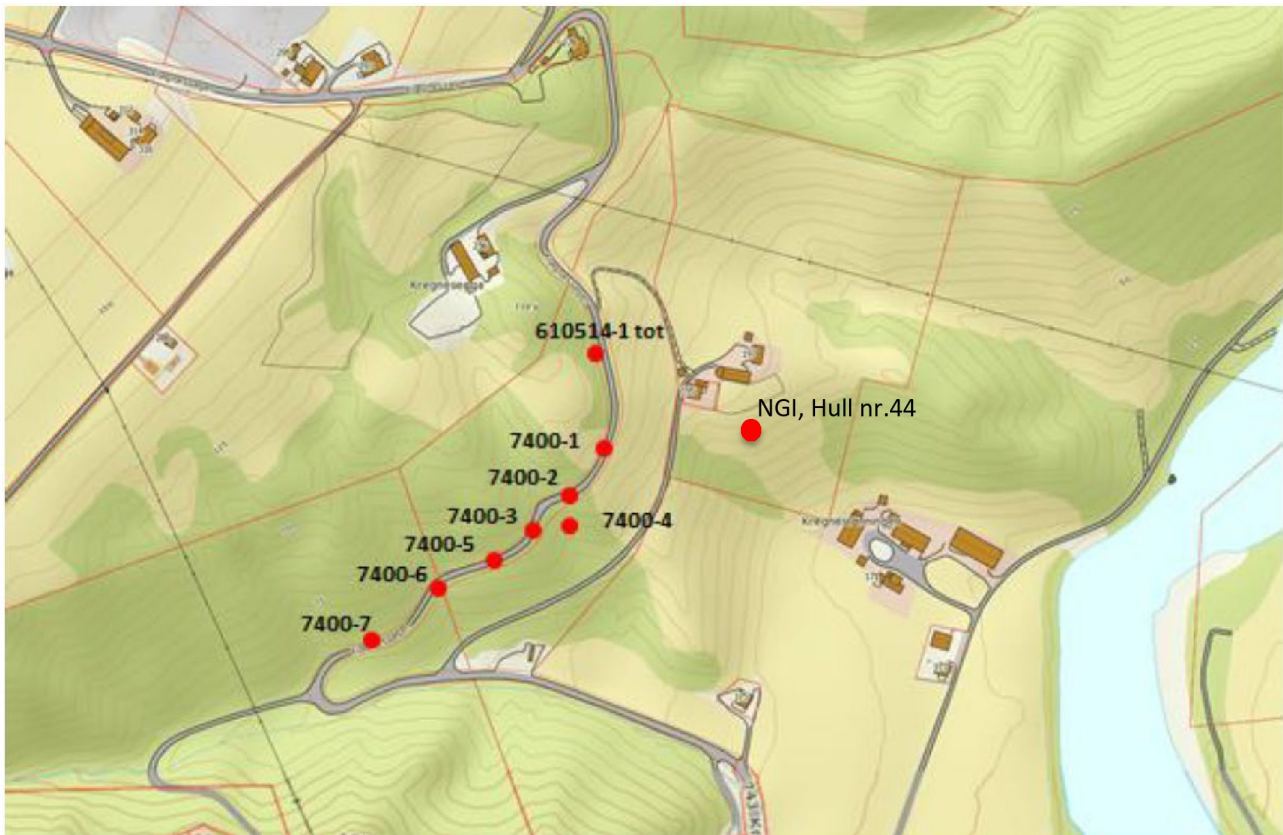
*Tabell 3-1: Relevante tidligere grunnundersøkelser*

Ref.	Rapport-nummer	Utøft av	År	Oppdragsgiver	Oppdragsnavn/rapportnavn	Vist på borplan
[5]	O.7400 Rapport nr. 1	Kummeneje	1989	Melhus Kommune	Geotekniske undersøkelser, Stabilitetsforhold, Forslag til utbedring	Figur 3-1
[6]	81075-2	NGI	1990	Statens naturskadefond	Kartlegging av områder med potensiell fare for kvikkleireskred	Figur 3-1
[7]	G-not- 001_6131428	Rambøll	2013	Melhus Kommune	Utgilding Kregnesbakkan, Melhus kommune – Geoteknisk vurdering	Figur 3-1
[8]	-	Scandiaconsult	2001	-	Grunnundersøkelser, Geoteknisk vurdering, Sikring av veg	Figur 3-1

Kummenje [5] utførte i 1989 grunnundersøkelser i nedre deler av Kregnesbakken da det vinteren før ble registrert sig/nedsynking i ytre del av vegen. Her ble det utført dreitrykk i nedre del av bakken, ingen av disse var dypere enn 15 meter og det ble ikke tatt opp prøver. Plassering av borpunktene er vist i Figur 3-1 (7400-x).

I 1990 fullførte NGI [6] en kartlegging av områder utsatt for kvikkleireskred, her ble sone 447 Kregens utredet som berører den aktuelle strekningen. Utredningen er basert på et borpunkt i Kregnesbakken, uten at det er tatt prøver. Borpunktets omtrentlige plassering er vist i Figur 3-1 (NGI Hull nr.44).

I 2013 utførte Rambøll [7] en geoteknisk vurdering i forbindelse med to mindre utgildinger på vegskulderen i Kregnesbakken. Vurderingen baserte seg på en sondering gjort av SCC Scandiaconsult i 2001 [8]. Sonderingen og prøvene viste tørrskorpeleire og antatt fyllmasse ned til ca.3 meters dyp, derunder fast leire til ca. 15 meters dybde, hvor det er en overgang til leire som kan være sensitiv/kvikk. Sistnevnte er ikke prøvetatt, plassering av borpunkt er også vist i Figur 3-1 (610514-1.tot).



Figur 3-1: Oversikt over tidligere grunnundersøkelser. NB! Omtentlig plassering av borpunktene [9].

### 3.2 Utførte grunnundersøkelser

#### 3.2.1 Feltundersøkelser

Borplan med plassering av grunnundersøkelser er vist på tegning 10206445-RIG-TEG-001.1 tom - 001.2.

Koordinat- og høydesystem benyttet ved grunnundersøkelsene er vist i Tabell 3-2.

En sammenstilling av de utførte feltundersøkelsene er presentert i Tabell 3-3

Utførte grunnundersøkelser omfatter:

- 12 stk. dreietrykksondøringer
- 5 stk. totalsondøringer
- 6 stk. CPTU
- 6 stk. prøveserier med poseprøver og Ø54 mm sylinderprøver
- 6 stk. pizometer i 4 borpunkt

Tabell 3-2: Koordinat-/høydesystem

Høydesystem	Koordinatsystem	Sone
NN 2000	Euref 89	UTM32

Tabell 3-3: Utførte feltundersøkelser

Borpunkt	Koordinater			Metode	Boret dybde			Dybde PR og PZ
	X	Y	Z		Løs-masse	Ant. Berg	Totalt	
	[m]	[m]	[m]		[m]	[m]	[m]	
1	7012084.9	562398.9	83.63	DTR	49.80	-	49.80	
2	7012200.5	562422.5	54.87	DTR	14.43	-	14.43	
3	7012322.4	562658.2	60.49	DTR CPTU PR PZ	49.28 36.70	- -	49.28 36.70	16 20
4	7012476.5	562693.7	72.34	DTR CPTU PR	40.17 33.08	- -	40.17 33.08	22
5	7012348.5	562559.4	79.46	DTR CPTU PR PZ	32.85 22.86	- -	32.85 22.86	20 20
6	7012552.6	562560.1	106.48	DTR	26.75	-	26.75	
7	7012722.2	562617.5	124.36	DTR	25.92	-	25.92	
8	7012633.4	562641.9	108.32	DTR TOT CPTU PR PZ	16.40 39.72 13.92	- - -	16.40 39.72 13.92	13 10
9	7012719.7	562541.8	141.73	DTR CPTU PR	27.83 19.92	- -	27.83 19.92	13
10	7012648.0	562541.9	134.72	DTR TOT	8.18 39.75	- -	8.18 39.75	
11	7012414.5	562482.8	111.58	DTR CPTU PR PZ	35.10 29.36	- -	35.10 29.36	15 15
12	7012516.2	562649.5	79.8	DTR	35.60	-	35.60	
13	7012627.0	562870.1	89.3	TOT	44.08	-	44.08	
14	7012252.6	562735.1	29.3	TOT	48.42	-	48.42	
15	7012527.1	562970.7	43.1	TOT	49.83	-	49.83	

**TOT=Totalsondering; DTR=Dreietrykksondering; CPTU=Trykksondering; PZ=Poretrykksmåling; PR=Prøveserie;**  
**Ann.=Annen metode (spesifiser)**

### 3.2.2 Laboratorieundersøkelser

Prøvene er undersøkt i geoteknisk laboratorium med tanke på klassifisering og identifisering av jordartene, samt bestemmelse av prøvenes mekaniske egenskaper.

Ved undersøkelsene er prøvene klassifisert og beskrevet med måling av vanninnhold, tyngdetetthet, porøsitet, samt udrenert og omrørt skjærfasthet i massene.

Følgende laboratorieundersøkelser er utført:

- Rutineundersøkelser av 17 poseprøver
- Rutineundersøkelser av 23 sylinderprøver (54 mm)
- Kornfordelingsanalyse av 2 prøver
- Bestemmelse av konsistensgrenser i 4 prøver
- Ødometerforsøk av 3 prøver
- Treaksialforsøk av 4 prøver

Resultatene fra rutineundersøkelser, samt konsistensgrenser, er presentert som geotekniske data i tegning nr. 10206445-RIG-TEG-200 tom 205

Resultatene fra kornfordelingsanalyser er presentert i tegning nr. 10206445-RIG-TEG-300.

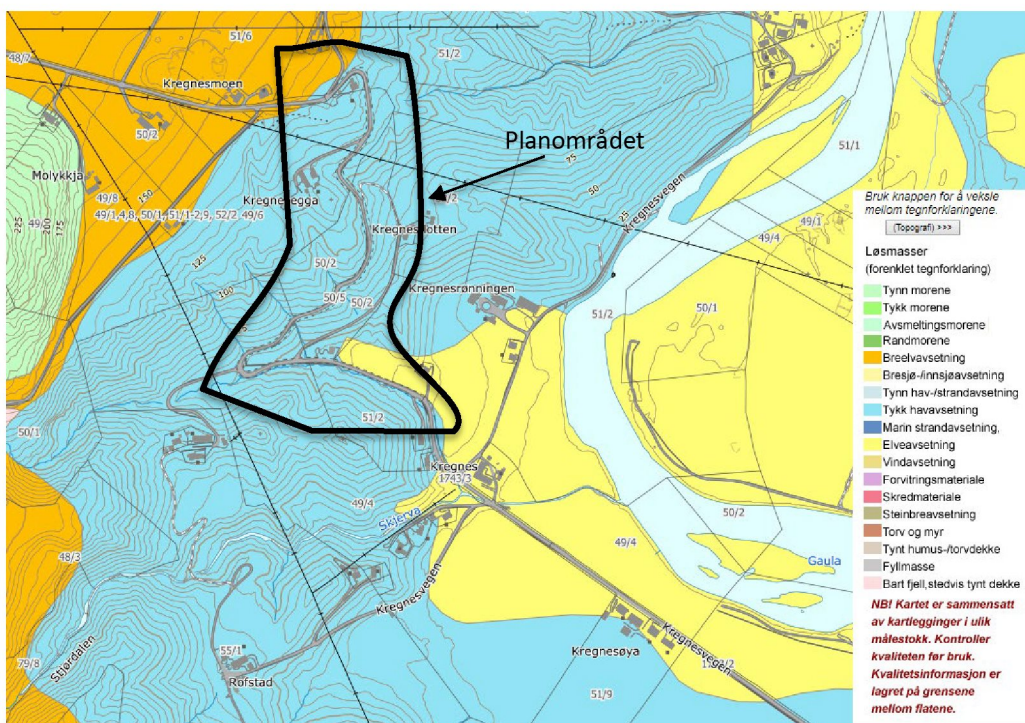
Resultatene fra kontinuerlige ødometerforsøk og aktive treaksialforsøk er presentert i tegning nr. 10206445-RIG-TEG-400.1 til 402.2 og 450.1 til 453.6 henholdsvis.

## 4 Grunnforholdsbeskrivelse

### 4.1 Kvartærgeologisk kart

NGUs kvartærgeologiske løsmassekart viser at området ligger i et område som hovedsakelig består av tykk marin avsetning samt noe breelv- og elveavsetninger, se Figur 4-1. Kvikkleire og sprøbruddmateriale kan finnes i områder med marine avsetninger. Marine avsetninger er løsmasser som opprinnelig er avsatt i saltvann, og som på grunn av landheving etter istiden finnes nær eller over havnivå. Hele planområdet befinner seg under marin grense.

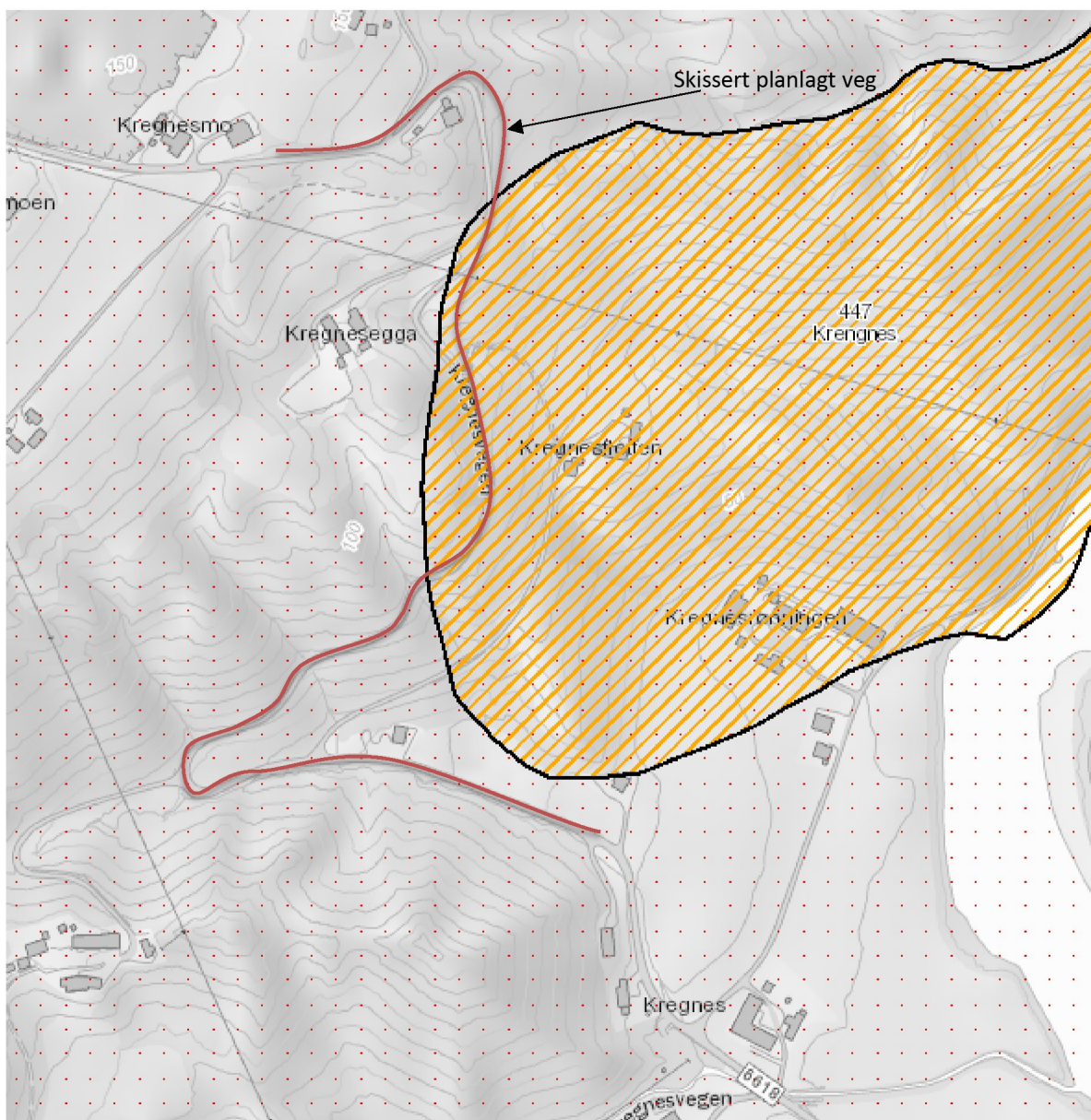
Det kvartærgeologiske kartgrunnlaget gir en visuell oversikt over landskapsformende prosesser over tid, samt løsmassenes overordnede fordeling. Utgangspunktet for disse oversiktskartene er i all hovedsak visuell overflatekartlegging, og kun i begrenset omfang fysiske undersøkelser. Kartene gir ingen informasjon om løsmassefordeling i dybden og kun begrenset informasjon om løsmassemektighet. For mer informasjon om kvartærgeologiske kart og anvendelse/kvalitet vises til [www.ngu.no](http://www.ngu.no).



Figur 4-1: Kvartærgeologisk kart over området, planområdet markert i kartet [10]

### 4.2 Eksisterende faresoner for kvikkleireskred

I henhold til faresonekart på NVE-atlas er det kartlagte faresoner for kvikkleireskred i/nærliggende veitraséen. Figur 4-2 viser veitraséen og kvikkleiresone 447 Kregnes, denne sonen har faregrad middels og faller under risikoklasse 3.



Figur 4-2: Registrert kvikkleiresone innenfor planområdet, fremtidig trasé er markert med rødt [11]

### 4.3 Grunnforhold tolket ut fra grunnundersøkelser

#### 4.3.1 Generelt

Utførte felt- og laboratorieundersøkelser viser at det øverste laget generelt består av tørrskorpeleire, med innhold av sand og grus. Under topplaget er et leirelag, med varierende mektighet, fra ca. 4 til over 50 meter. Konstant/avtakende sonderingsmotstand med dybden flere steder tyder på forekomst av kvikkleire eller sprøbruddmateriale. Dette er bekreftet med prøvetaking.

Beskrivelse av usikkerhet og evaluering av resultatene fra grunnundersøkelsen er angitt i kapittel 5.

#### 4.3.2 Dybde til berg

Det er utført sonderinger fra ca. 8 til nærmere 50 meter uten at berg er påvist. Bergnivå antas å ligge svært dyp.

Bergoverflatens forløp mellom borpunktene vil kunne være variabel, og det kan finnes lokale forhøyninger eller forsenkninger i bergoverflaten som ikke er fanget opp av utførte undersøkelser.

#### 4.3.3 Løsmasser

Grunnundersøkelsene viser at løsmassene generelt består av leire, i flere borpunkt til stor dybde. Det er funnet kvikkleire og leire med sprøbruddsegenskaper i borpunkt 3, 4, 5 og 9. Borpunkt 3 og 4 ligger i kartlagt faresone for kvikkleire, mens borpunkt 5 ligger rett utenfor. Prøvetaking har påvist at kvikkleirelaget/sprøbruddleirelaget har en mektighet:

- Fra ca. 4 meter under terreng til ca. 15 meter under terreng i borpunkt 3.
- Fra ca. 15 meter under terreng til ca. 23 meter under terreng i borpunkt 4
- Fra ca. 12 meter under terreng til ca. 16 meter under terreng i borpunkt 5
- Fra ca. 4 meter under terreng til ca. 7 meter under terreng i borpunkt 9

Sonderinger tyder på at laget stedvis er inntil 20 meter tykt.

I borpunkt 9 er det i liten dybde påvist et bløtt leirelag med sprøbruddegenskaper. Borpunktet ligger også utenfor den kartlagte kvikkleiresonen. Sonderingene i de nærliggende borpunktene viser ikke tilsvarende egenskaper, og det kan derfor tyde på dette er en mindre lomme med sprøbruddleire. Sprøbruddleiren har et høyt vanninnhold (over 40%) og laget har en antatt mektighet på ca. 5 meter.

Konsolideringsgraden er høy for løsmassene «nederst» i bakken, hvor de viser relativt høy skjærfasthet og høy overkonsolideringsgrad. Dette er påvist både fra CPTU-sonderinger og prøveserier. Konsolideringsgraden minker mot toppen.

Fra september 2019 er det lagt om fra å følge NS8015 til å følge ISO 17829-6:2017 for omregning av målt konusinntrykk til tolket udrenert skjærfasthet i laboratorieberegninger. Grenseverdien for hva som tolkes som sprøbruddmaterialet endres fra 2 kPa til 1,33 kPa og grenseverdien for tolkning av kvikkleire endres fra 0,5 kPa til 0,33 kPa.

#### 4.3.4 Poretrykk og grunnvann

Det er utført poretrykksmålinger med hydrauliske poretrykksmålere i følgende borpunkt:

- Bp. 3, to piezometere på 10 og 20 meter under terreng
- Bp. 5, to piezometere på 10 og 20 meter under terreng
- Bp. 8, et piezometer i 10 meter under terreng
- Bp. 11, et piezometer i 15 meter under terreng

Ved poretrykksmålinger er det påvist at grunnvannet generelt ligger ganske dypt under terreng. Ut ifra målinger som viser grunnvannstan like over piezometerspiss, antas det poreundertrykk i det mektige leirlaget. Det kan skyldes at friksjonsmassene underleirelaget er drenerende.

Grunnvannstanden varierer normalt med årstider og nedbør. Erfaringsmessig kan grunnvannsnivået stå vesentlig høyere i perioder med nedbør og/eller snøsmelting.

## 5 Geoteknisk evaluering av resultatene

### 5.1 Avvik fra standard utførelsesmetoder

På grunn av vanskelig tilkomst ble det ikke benyttet vann ved totalsondering i borpunkt 8, 10 og 12. Vann skal iht. prosedyrer benyttes før slag ved høy bormotstand.

Ut over dette er det ikke registrert avvik fra standard utførelsesmetoder.

### 5.2 Viktige forutsetninger

Det gjøres oppmerksom på at grunnundersøkelsene kun avdekker lokale forhold i de respektive utførte borpunktene. Dette benyttes videre til å gi en generell beskrivelse av grunnforholdene i området. Grunnforholdene mellom borpunktene kan variere mer enn det som eventuelt kan interpoleres fra utførte grunnundersøkelser.

### 5.3 Undersøkelses- og prøvekvalitet

Generelt vurderes kvaliteten på opptatte prøver og utførte grunnundersøkelser som god/akseptabel. Det er utfordrende å hente prøver på store dybder og forstyrrelser kan skje. Lag med silt og sand vil også kunne gjøre det utfordrende å utføre uforstyrrede forsøk.

Ved bruddtøyning for enaksiale trykkforsøk over 5% er det vanlig å anse kvaliteten på prøven som dårlig. De enaksiale trykkforsøkene viser noe varierende prøvekvalitet for de forskjellige borhullene, se tegning 10206445-03-RIG-TEG-200 til 205.

Treaksialforsøkene utført på prøver fra borhull 4, 5 og 9 viser også noe varierende prøvekvalitet. Basert på overkonsolideringsgrad og poretallsendring iht. NGF-Melding 11, tabell 6 [3] vurderes prøvekvaliteten til forsøkene som «God til bra» for borhull 4, 5 d=16.0 og 9 og som «Meget god» for borhull 5 d=4.50. Basert på utpresset porevann iht. SVV håndbok V220 [12] vurderes forsøkene som «Akseptabelt forsøk» for borhull 4, 5 d=16.0 og 9 og som «Godt forsøk» for borhull 5 d=4.50.

Ødometerforsøkene gir en tydelig indikasjon på prekonsolideringspenningen og kvaliteten vurderes som god.

### 5.4 Måling av poretrykk

Grunnvannstand- og poretrykkssituasjonen i grunnen vil kunne variere med nedbør og årstidsvariasjoner.

Avlesninger av poretrykk antyder et dypt grunnvannsnivå. Det er liten variasjon mellom avlesningene gjort med ca. en måneds mellomrom, men dette er likevel en relativt kort måleperiode. Det kan derfor ikke utelukkes at variasjonen over året eller i nedbørsperioder er større enn det som er påvist ved måling i denne omgang. Vi anbefaler at måling av poretrykk fortsetter slik at poretrykksvariasjoner over tid kan dokumenteres.

### 5.5 Påvisning av bergnivå

Det er ikke påvist berg i de utførte sonderingene.

## 6 Behov for supplerende grunnundersøkelser

Iht. NS-EN-1997-2 [4] skal grunnundersøkelser normalt utføres i minst to omganger;

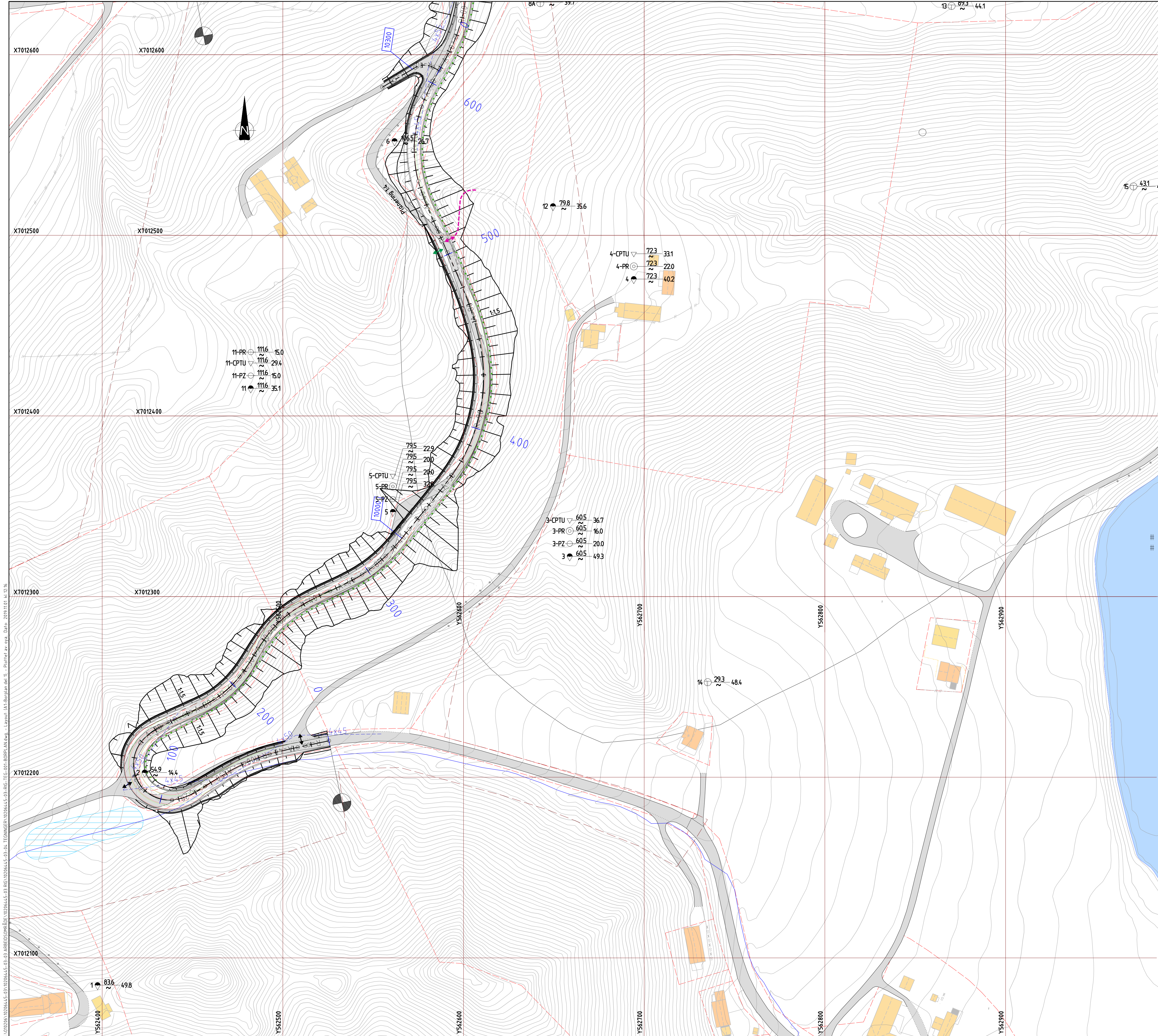
- Forundersøkelser (typisk skisse-/forprosjekt)
- Prosjekteringsundersøkelser (typisk detaljprosjekt)

Det er geoteknisk prosjekterende som er ansvarlig for å bedømme nødvendig omfang for geotekniske grunnundersøkelser for aktuelt prosjekt og relevante problemstillinger. Tilsvarende er det også geoteknisk prosjekterende som må vurdere om det er behov for supplerende grunnundersøkelser, utover de undersøkelsene som er presentert i foreliggende rapport.

## 7 Referanser

- [1] Standard Norge, «Systemer for kvalitetsstyring. Krav (ISO 9001:2015)», Standard Norge, Norsk standard (Eurokode) NS-EN ISO 9001, 2015.
- [2] Standard Norge, «Kvalifikasjonskrav til utførende av grunnundersøkelser – Del 1: Geotekniske feltundersøkelser (NS 8020-1:2016)», Standard Norge, Norsk standard NS 8020-1:2016, Juni 2016.
- [3] Norsk Geoteknisk Forening (NGF), NGF-Melding nr. 1-11.
- [4] Standard Norge, «Eurokode 7: Geoteknisk prosjektering. Del 2: Regler basert på grunnundersøkelser og laboratorieprøver (NS-EN 1997-2:2007)», Standard Norge, Norsk standard (Eurokode) NS-EN 1997-2:2007/AC:2010+NA:2008, Mars 2007.
- [5] Kummeneje, Geotekniske undersøkelser, Stabilitetsforhold, Forslag til utbedreing, 1989.
- [6] NGI, Kartlegging av områder med potensiell fare for kvikkleireskred, 1990.
- [7] Rambøll, Utgliding Kregnesbakkan, Melhus kommune – Geoteknisk vurdering, 2013.
- [8] Scandiaconsult, Grunnundersøkelser, Geoteknisk vurdering. Sikring av veg. Datert 26.11.2001, 2001.
- [9] Multiconsult Norge AS, "Geoteknisk vurdering med tanke på oppgradering" 417360-RIG-NOT-001, 2015.
- [10] NGU, «Løsmasser - Nasjonal løsmassedatabase - kvartærgeologiske kart».
- [11] Norges Vassdrags-og energidirektorat(NVE), atlas.nve.no.
- [12] Statens vegvesen, Vegdirektoratet, «Geoteknikk i vegbygging (Håndbok V220)», Vegdirektoratet, Oslo, Veiledning., Juni 2010.
- [13] Sweco Norge AS, Områdestabilitetsvurdering, Kvål, 2017.
- [14] Norsk Geoteknisk Forening, Veileddning for prøvetaking, 2013.





**FORKLARING:**

**TEGNFORKLARING:**

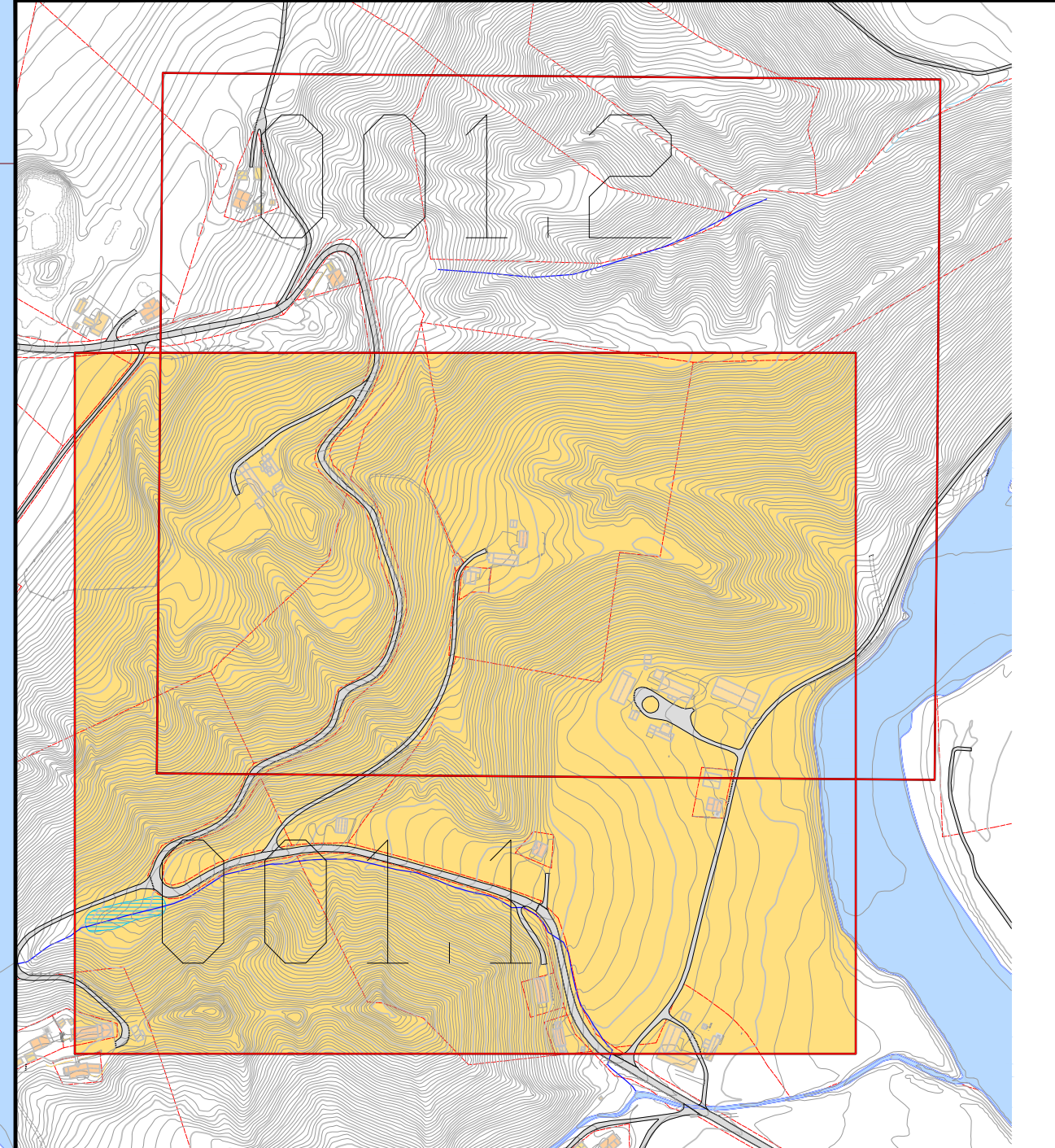
- DREIESONDERING
- ENKEL SONDERING
- ▼ RAMSONDERING
- ▽ TRYKKSONDERING
- ⊕ TOTALSONDERING
- PØRETTRYKKMÅLING
- PRØVEGROP
- DREIETRYKKSØNDERING
- ☒ SKRULATEFORSØK
- + VINGEBORING
- KJERNEBORING
- ◊ FJELLKONTROLLBORING
- ▲ BERG I DAGEN

KARTGRUNNLAG: Digitalt kart fra xx  
 KOORDINAT SYSTEM: UTM 33 Norge 32V  
 HØYDE REFERANSE: NN 2000  
 UTGANGSPUNKT FOR NIVELLERING: GPS GLONASS CP05  
 BORBOX NR: XXX  
 LAB.BOK NR: XXX

Digitalt kart fra xx  
 UTM 33 Norge 32V  
 NN 2000  
 GPS GLONASS CP05  
 XXX  
 XXX

EKSEMPEL: BP 1 430 14.8 + 24 — BORET DYBDE + BORET I BERG  
 ANTATT BERGKOTE

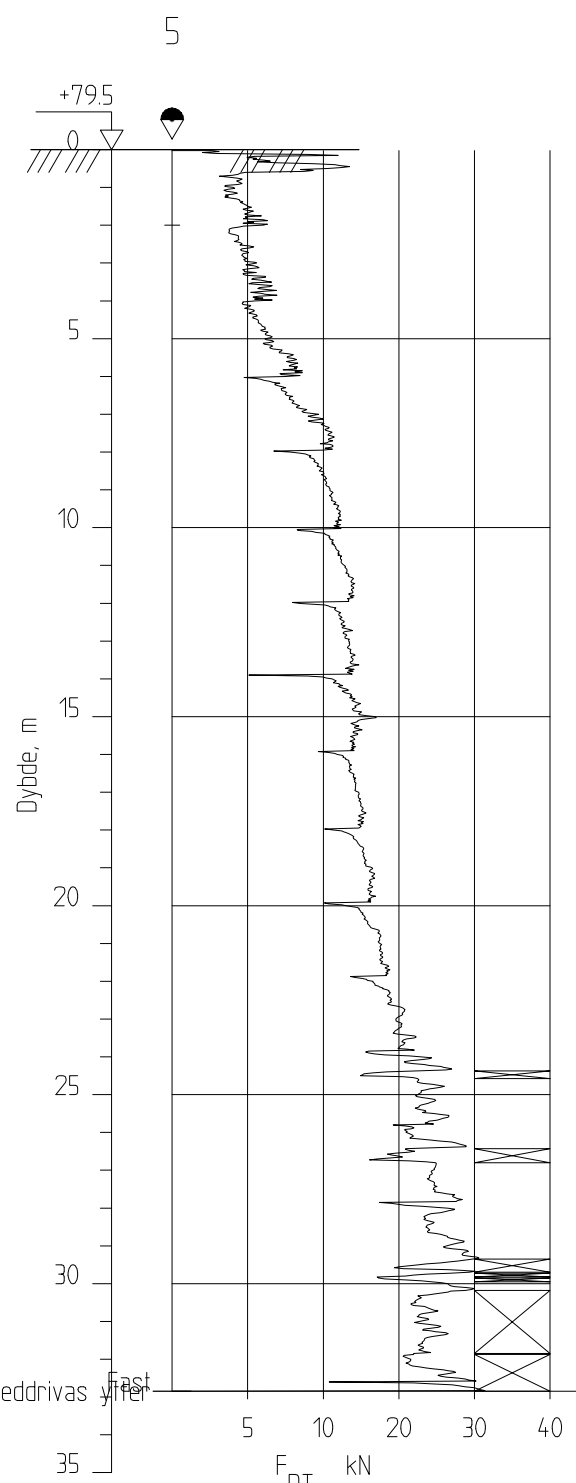
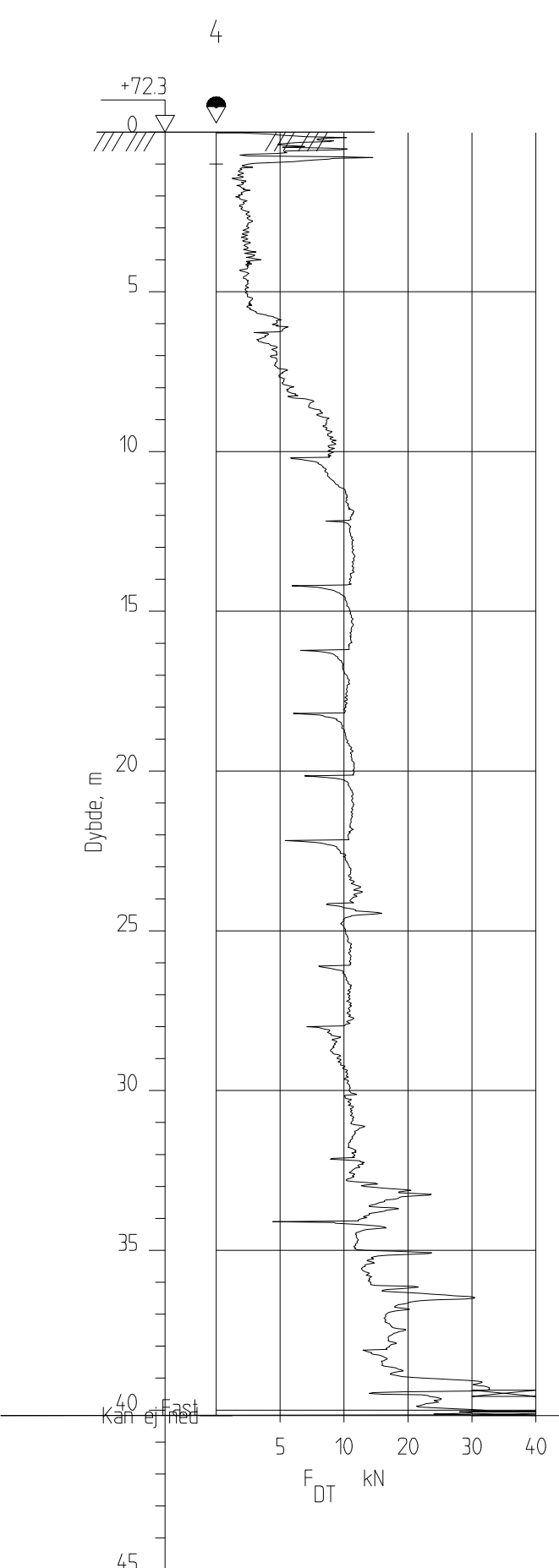
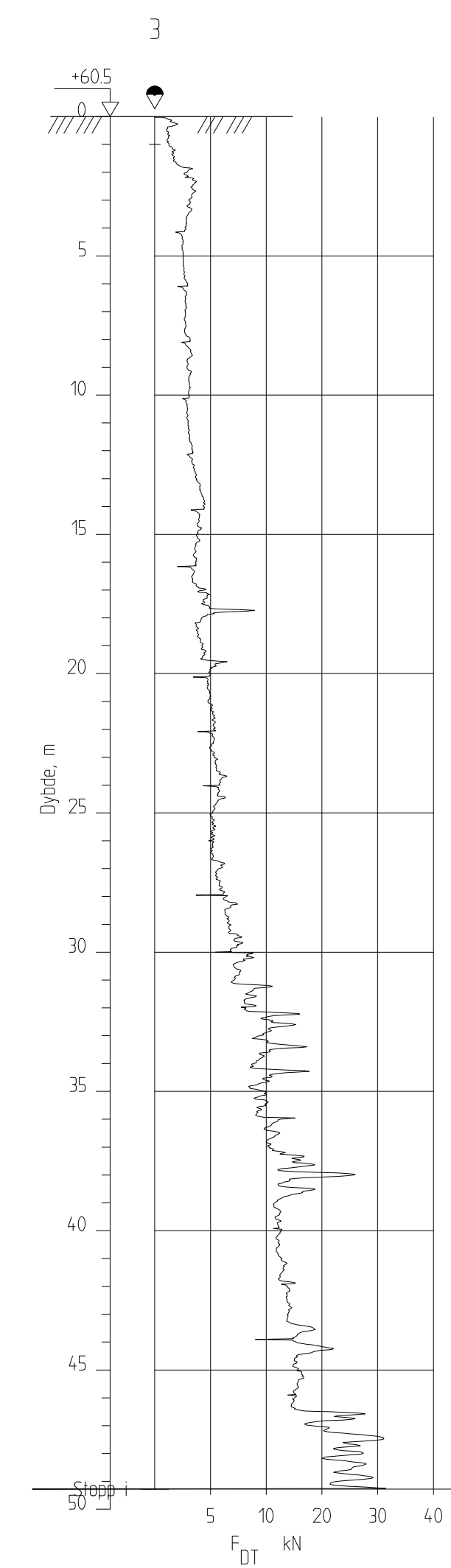
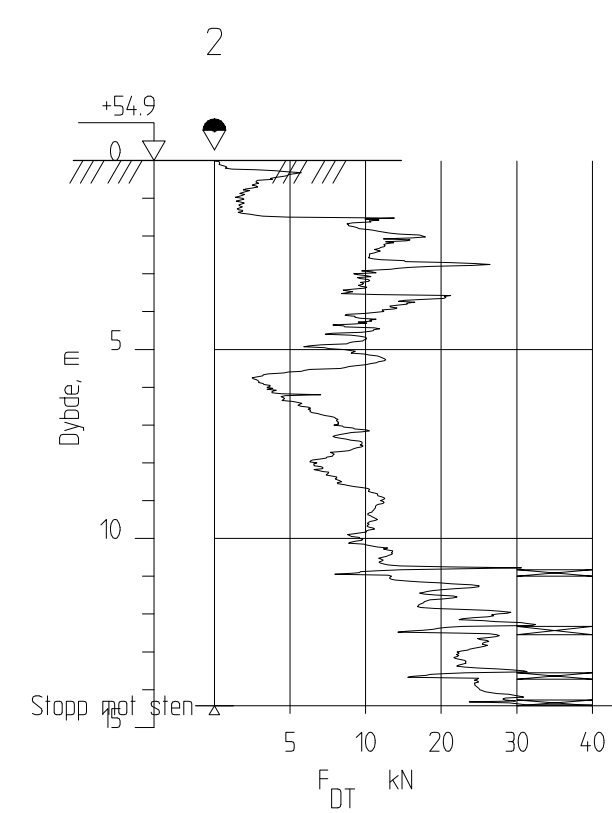
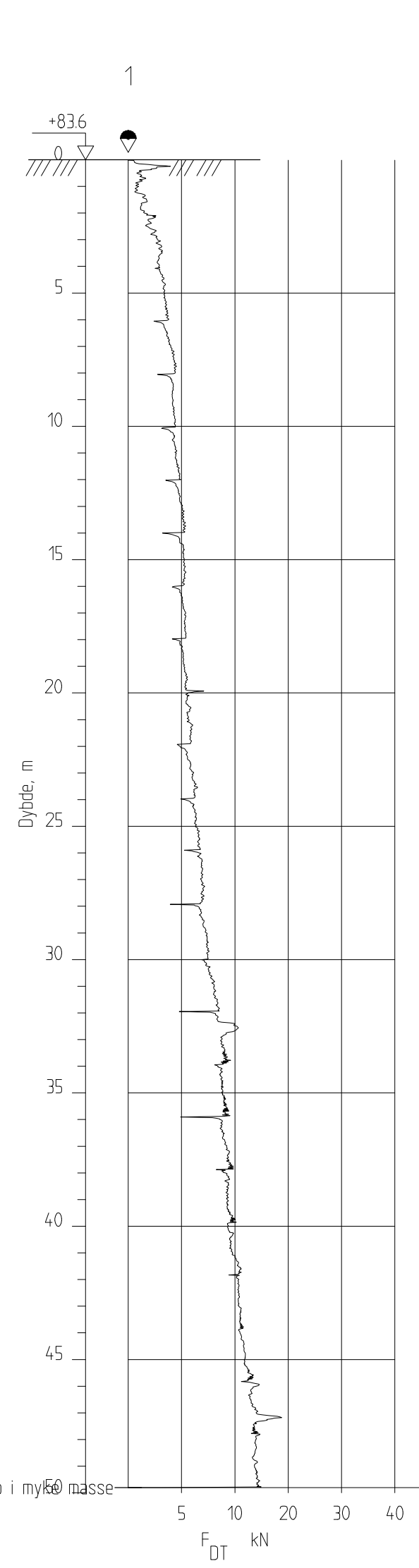
BORPLAN Tegningsnr. RIG-TEG-001.1 Rev. 0



Rev.	-	-	-	-
Beskrivelse	-	-	-	-
Fag	Geoteknikk	Geoteknikk	A1	A1
Dato	22.11.2019	22.11.2019	-	-
Format/Målestokk	1:1000	1:1000	-	-
Melhus kommune	Kregnesbakken			
Borplan	Del 1			

Multiconsult	Status Utsendt	Konstr./Tegnet OYA	Kontrollert TOJ	Godekjent KONK
www.multiconsult.no	Oppdragsnr. 10206445	Tegningsnr. RIG-TEG-001.1	Rev. 00	



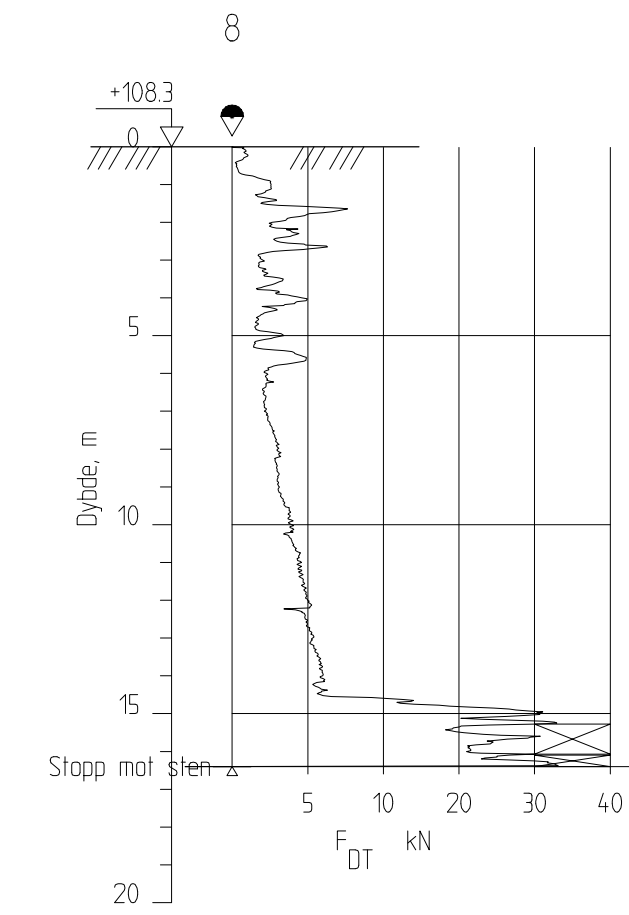
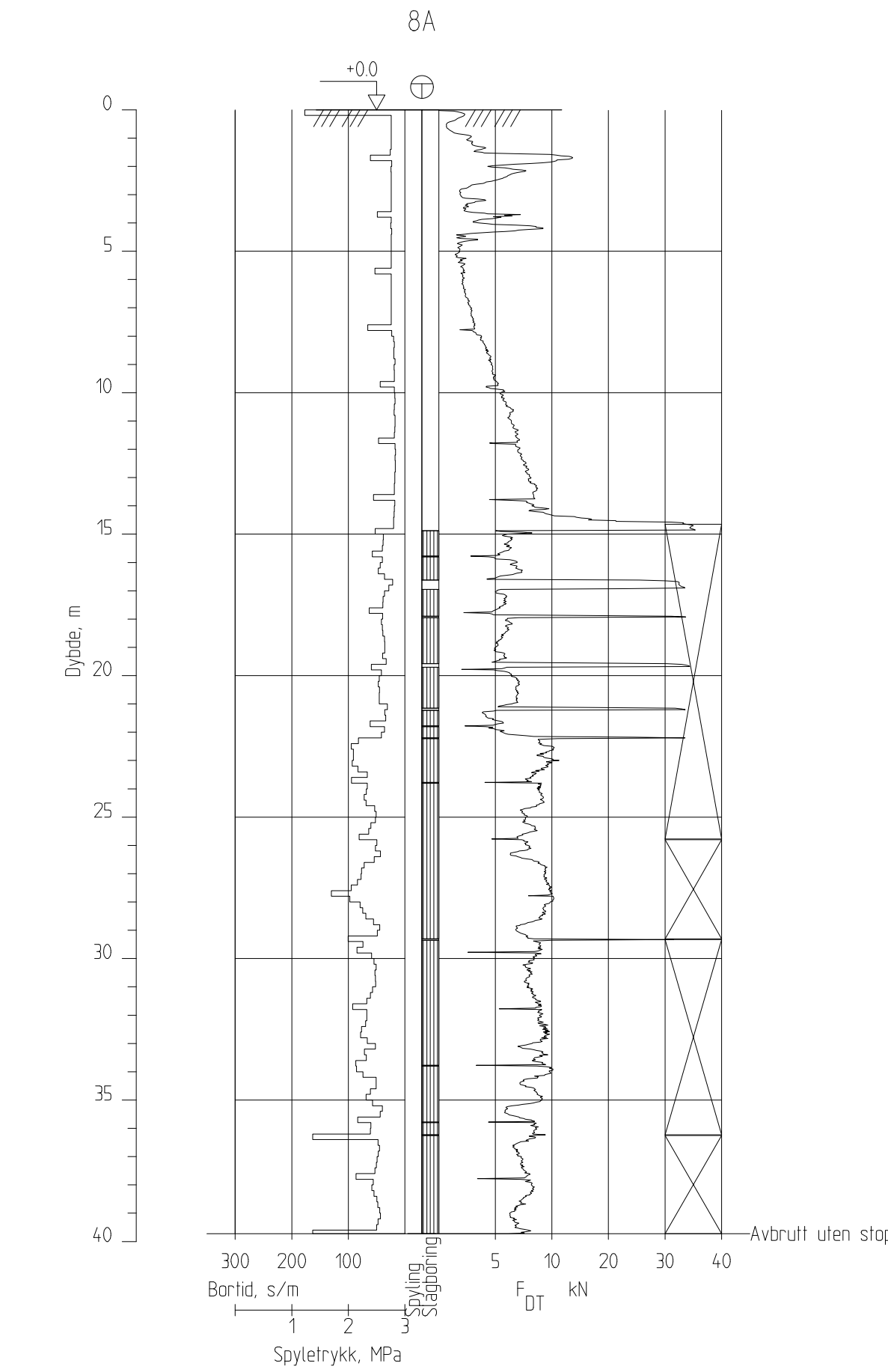
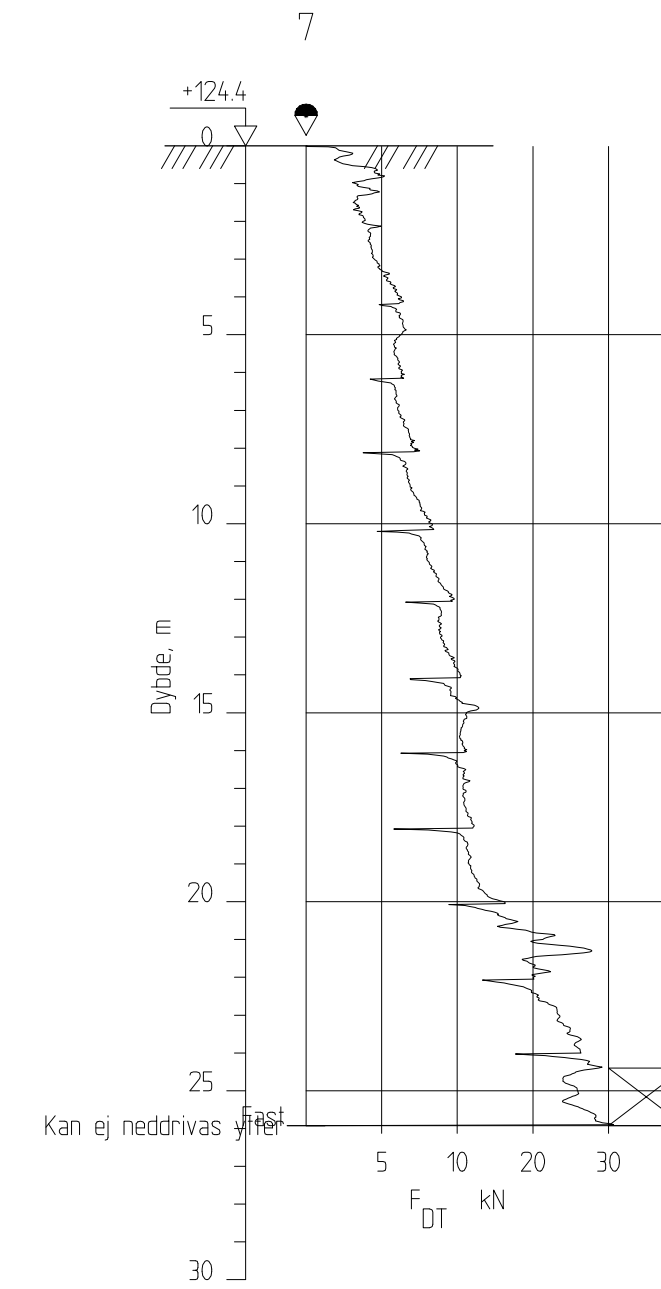
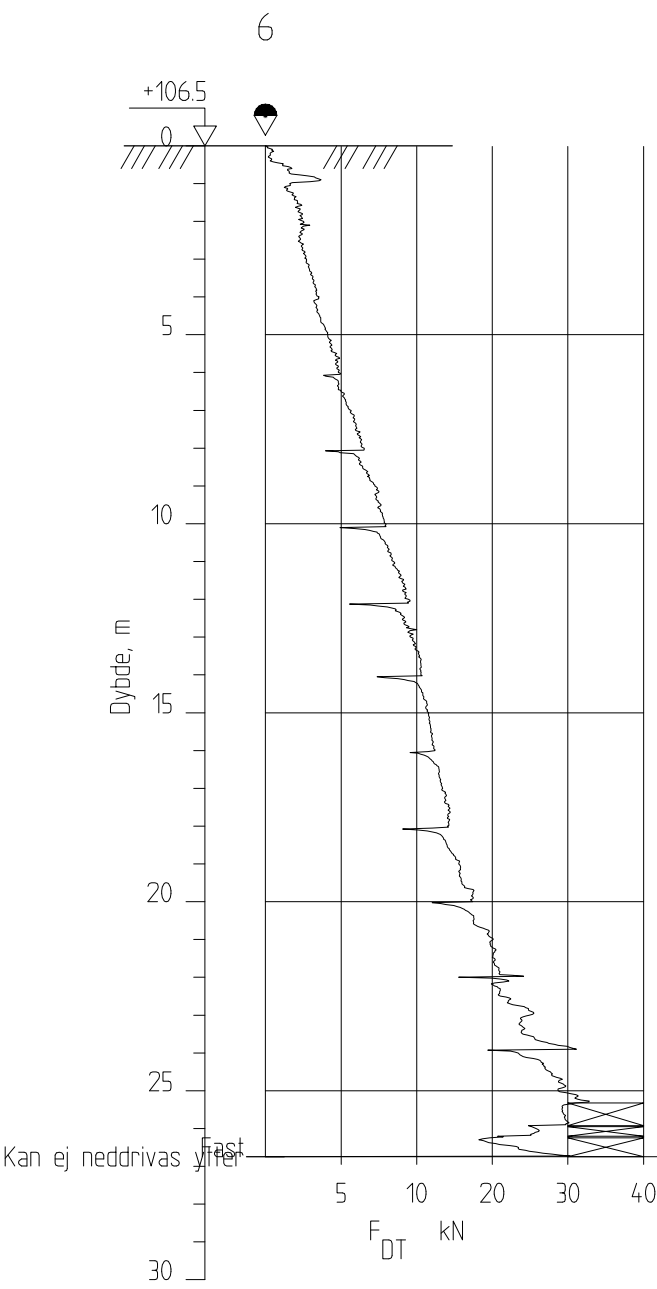


Melhus kommune  
Kregnesbakken  
Sonderingsresultat  
Borpunkt 1-5

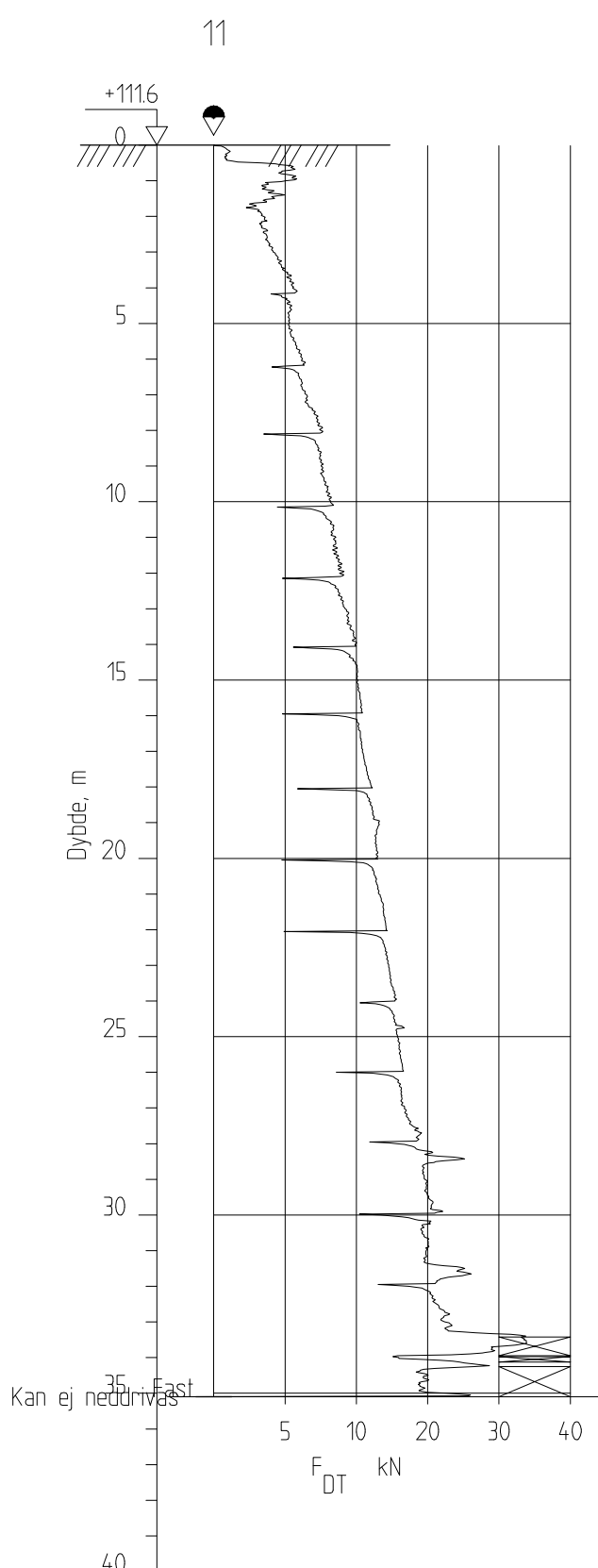
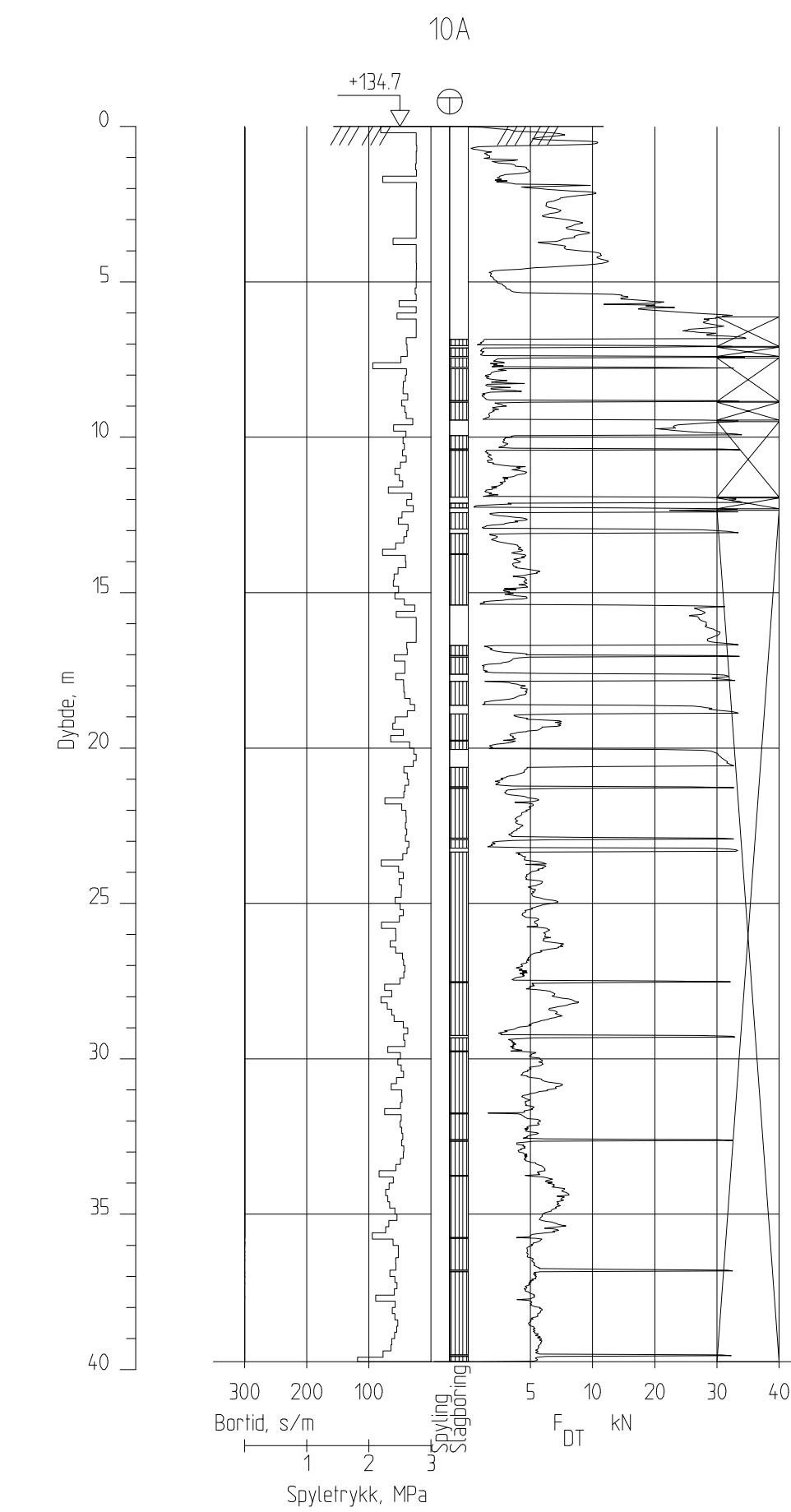
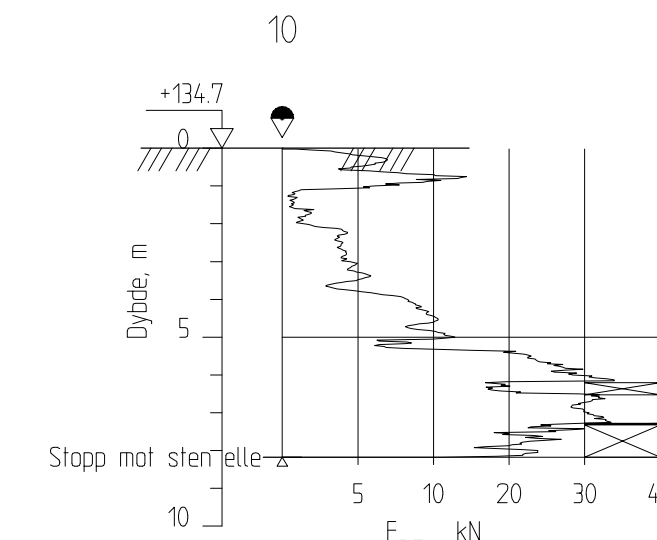
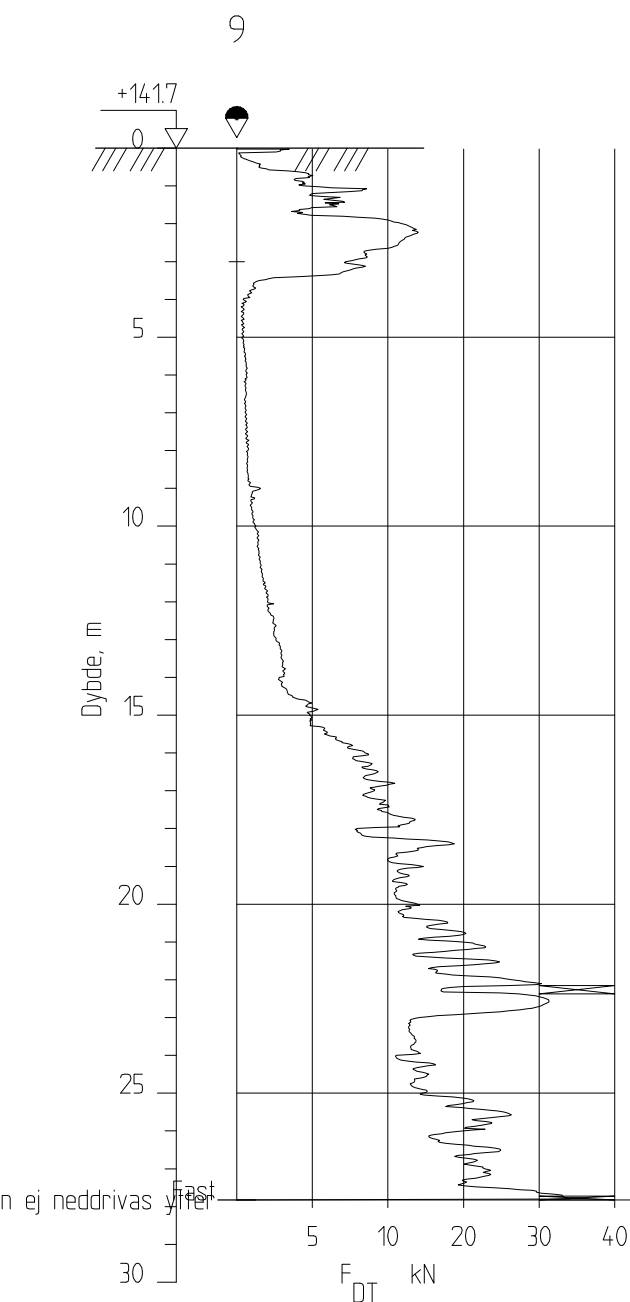
Format/Målestokk:  
A2  
Dato: 22.11.2019  
1:200

Multiconsult  
www.multiconsult.no

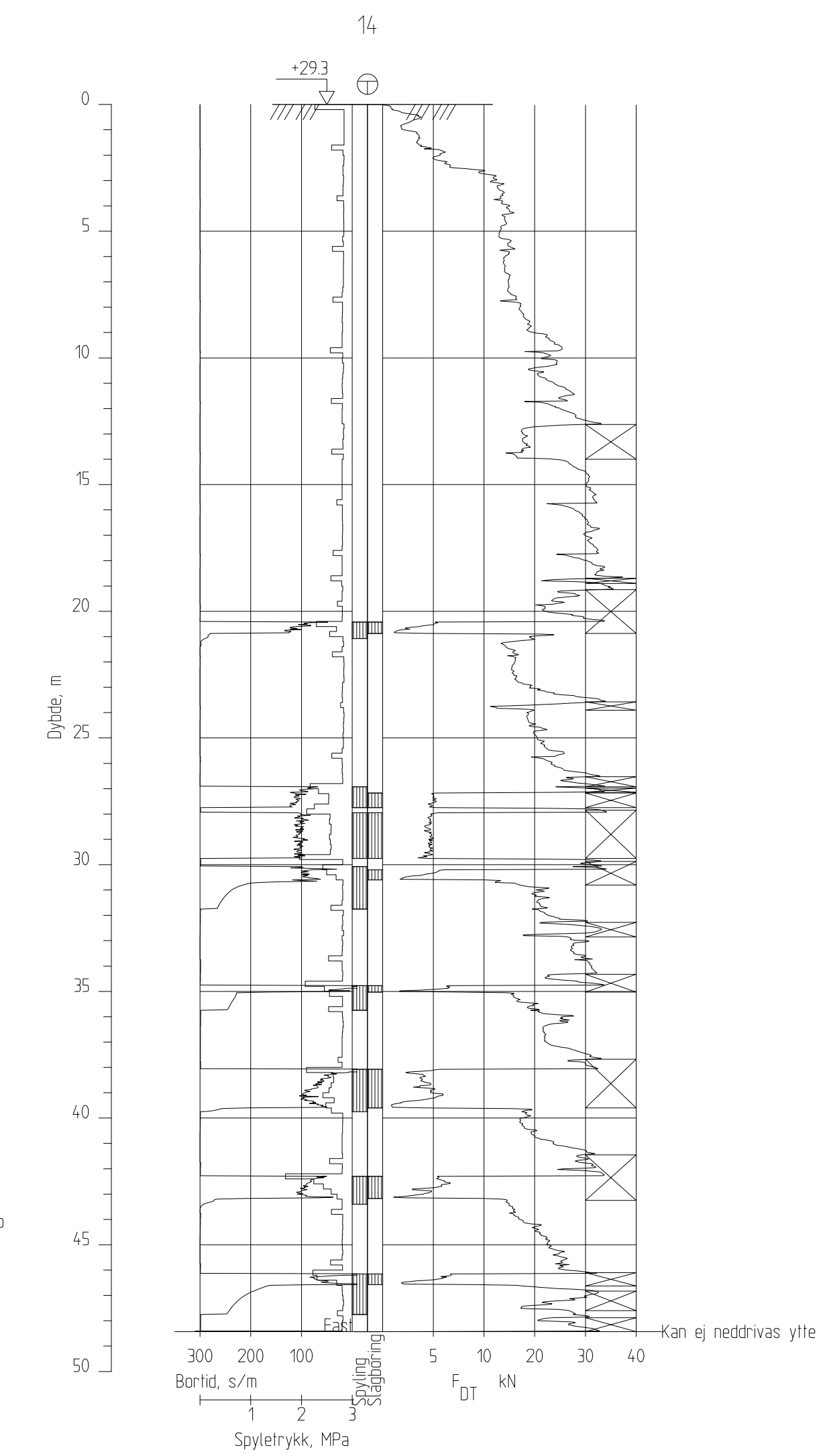
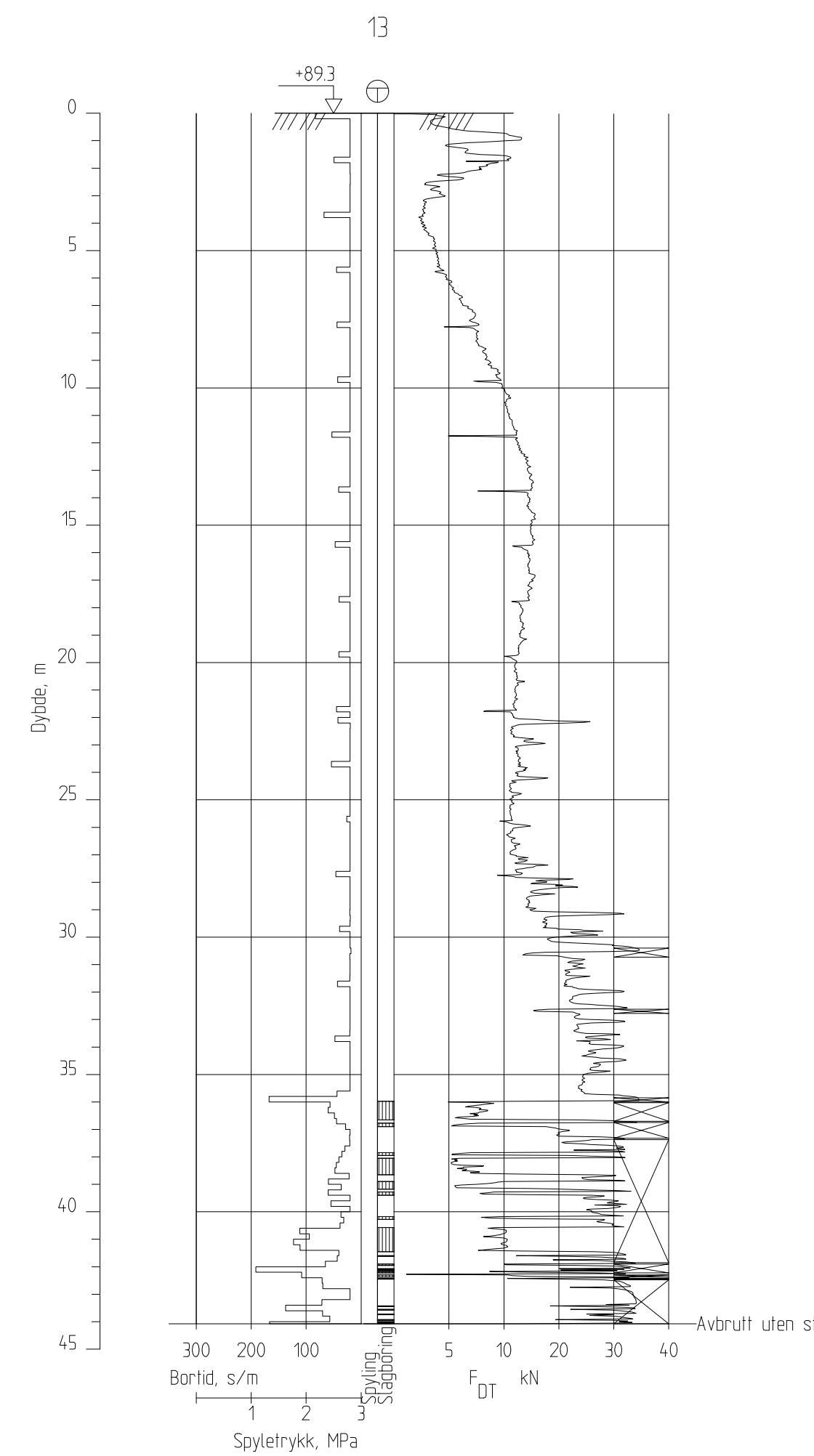
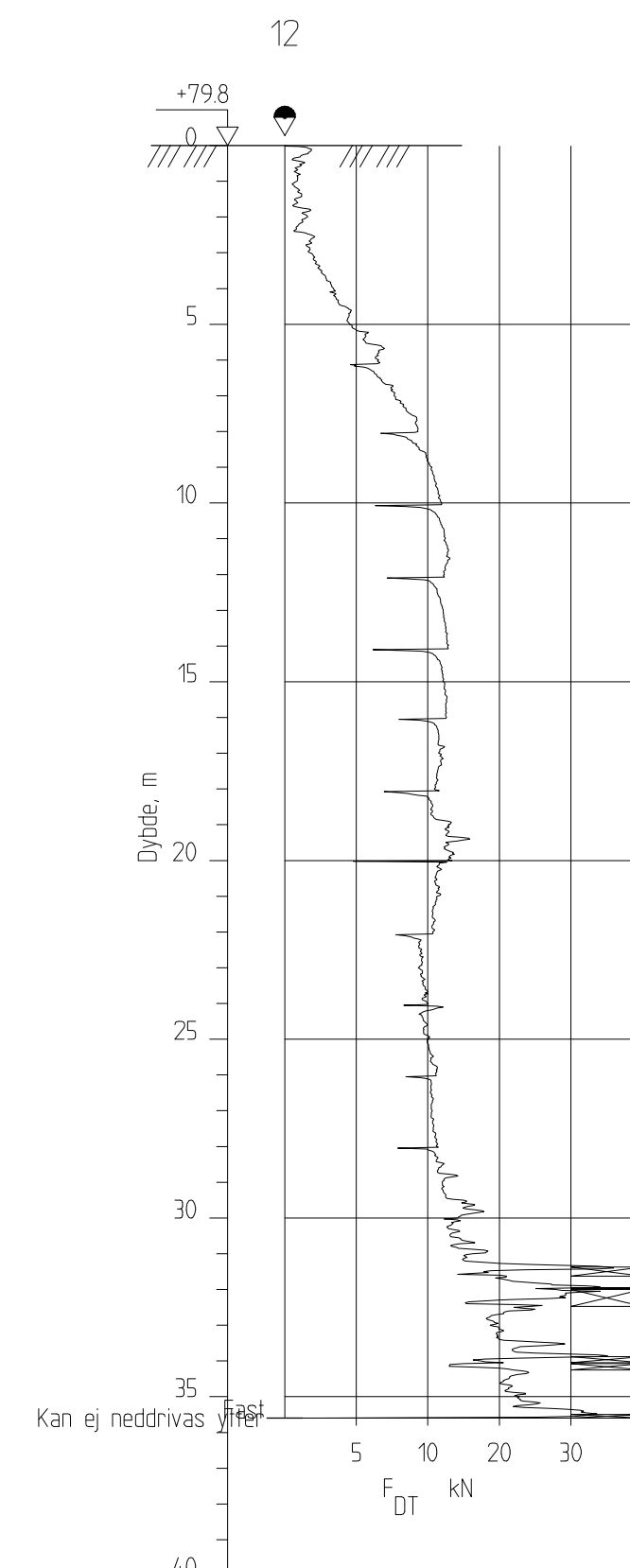
Oppdragsnr.	Tegningsnr.	Konstr./Tegnet OYA	Kontrollert TOJ	Godkjent KONK
10206445	RIG-TEG-010	00		



00	-	-	-	-
Rev.	Beskrivelse	Date	Tegn.	Kontr.
Melhus kommune				
Kregnesbakken				
Sonderingsresultat				
Borpunkt 6-8				
<b>Multiconsult</b>	Status Utsendt Oppdragsnr. www.multiconsult.no	Konstr./Tegnet OYA	Kontrollert TOJ	Godkjent KONK
	10206445	Tegningsnr.		Rev.
			RIG-TEG-011	00

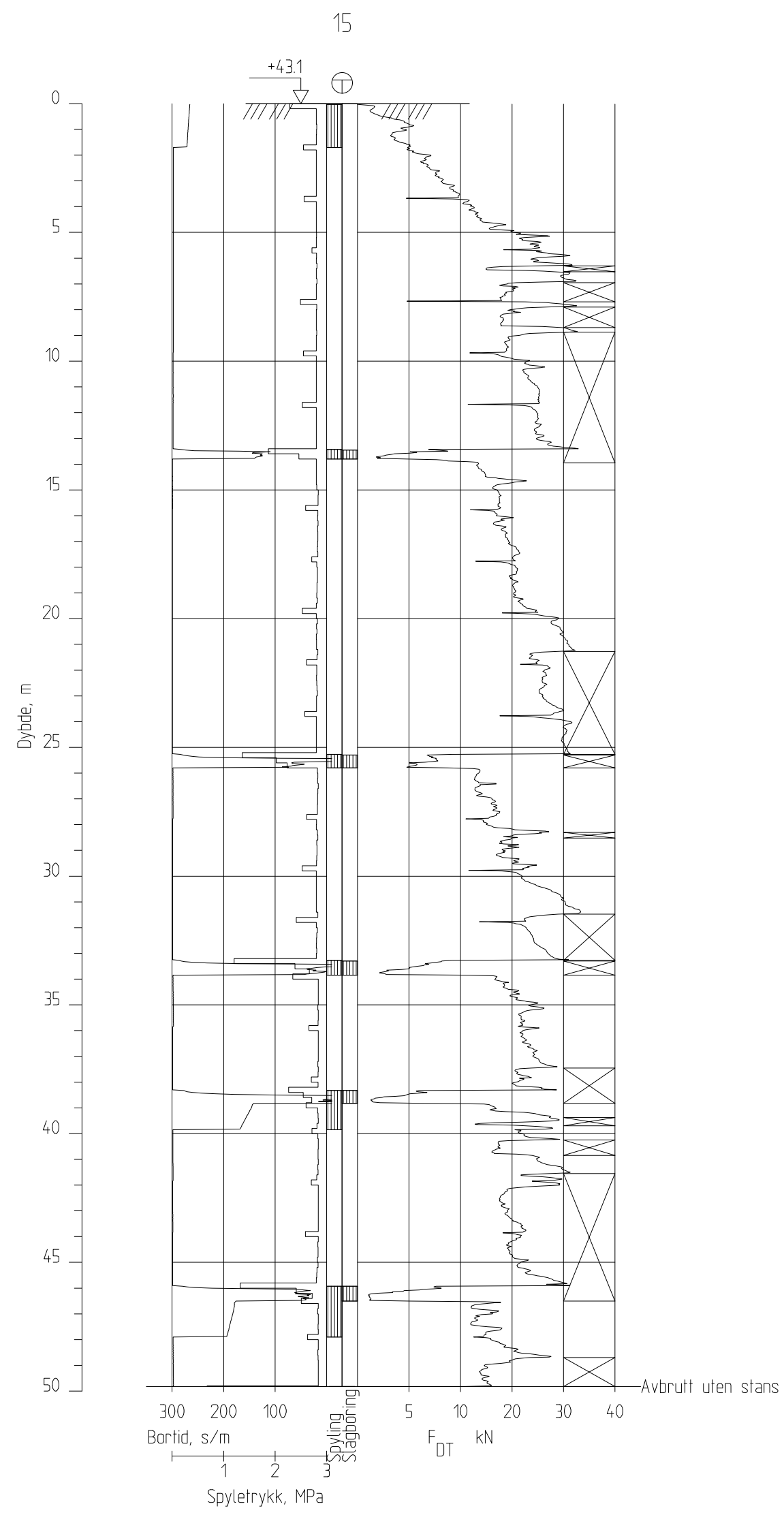


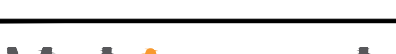
00	-	Date	Tegn.	Kontr.	Godkj.
Rev.	Beskrivelse		Fag	Format	
			Geoteknikk	A2	
		Date	22.11.2019		
			Format/Målestokk:		
			1:200		
	Melhus kommune				
	Kregnesbakken				
	Sonderingsresultat				
	Borpunkt 9-11				
		Status	Konstr./Tegnet	Kontrollert	Godkjent
		Utsendt	OYA	TOJ	KONK
		Oppdragsnr.	Tegningsnr.		
	Multiconsult	www.multiconsult.no	10206445	RIG-TEG-012	00



Z:\010206\10206445-03\10206445-03-03 ARBEIDSMØRÅDE\TEGNINGER\10206445-03-RIG-TEG-010 Søndringsresultat.dwg - Layout: [A2 12-14]; - Plotter av: oya, Dato: 2019.11.01 kl. 1223

00	-	-	-	-	-												
Rev.	Beskrivelse	Dato	Tegn.	Kontr.	Godkj.												
<p>Melhus kommune Kregnesbakken</p> <p>Sonderingsresultat Borpunkt 12-14</p>																	
<p>Fag Geoteknikk</p> <p>Format A2</p> <p>Dato 22.11.2019</p> <p>Format/Målestokk: 1:200</p> <p>-</p>																	
<p><b>Multiconsult</b> www.multiconsult.no</p> <table border="1"> <tr> <td>Status Utsendt</td> <td>Konstr./Tegnet OYA</td> <td>Kontrollert TOJ</td> <td>Godkjent KONK</td> </tr> <tr> <td>Oppdragsnr.</td> <td>Tegningsnr.</td> <td colspan="2">Rev.</td> </tr> <tr> <td>10206445</td> <td>RIG-TEG-013</td> <td colspan="2">00</td> </tr> </table>						Status Utsendt	Konstr./Tegnet OYA	Kontrollert TOJ	Godkjent KONK	Oppdragsnr.	Tegningsnr.	Rev.		10206445	RIG-TEG-013	00	
Status Utsendt	Konstr./Tegnet OYA	Kontrollert TOJ	Godkjent KONK														
Oppdragsnr.	Tegningsnr.	Rev.															
10206445	RIG-TEG-013	00															



00	-	-	-	-		
Rev.	Beskrivelse	Dato	Tegn.	Kontr.	Godkj.	
<p>Melhus kommune Kregnesbakken</p> <p>Sonderingsresultat Borpunkt 15</p>					Fag Geoteknikk Format A2  Dato 22.11.2019  Format/Målestokk: 1:200 -	
					Status Utsendt  Oppdragsnr. 10206445  Tegningsnr. RIG-TEG-014	Godkjent KONK  Rev. 00
 <a href="http://www.multiconsult.no">www.multiconsult.no</a>						

Dybde (m)	Beskrivelse	Prøve kt. + 60,5	Test	Vanninnhold (%) og konsistensgrenser					$\rho$ (g/cm <sup>3</sup> )	Porositet (%)	Organisk innhold (%)	Udrenert skjærfasthet (kPa)									St (-)
				10	20	30	40	50				10	20	30	40	50	60	70	80	90	
5	LEIRE, siltig								2,00	42		▼									
	LEIRE, siltig							O				▼									
	LEIRE, siltig							O				▼									
	KVIKKLEIRE, enk meget tette, tynne sittlag							O O				▼ 0,1	▽	111	697	267					
	KVIKKLEIRE, noe siltig							O O				▼ 0,2	▽	133	319	309					
	KVIKKLEIRE, noe siltig							O O				▼ 0,2	▽	150	409	624					
10	KVIKKLEIRE, noe siltig							O O	2,01	44		▼ 0,2	▽	150	409	624					
	KVIKKLEIRE, noe siltig							O O				▼ 0,1	▽	126	313						
15	KVIKKLEIRE, noe siltig							O	2,00	43		▼ 0,2	▽	126	313						
	KVIKKLEIRE, noe siltig							O													
20																					

**Symboler:**



Enaksialforsøk (strek angir aksuell tøyning (%) ved brudd)

○ Vanninnhold

▼ Omrørt konus

$\rho$  = Densitet

T = Treaksialforsøk

$\rho_s$ : 2,75 g/cm<sup>3</sup>

— Plastisitetsindeks, Ip

▽ Uomrørt konus

$\emptyset$  = Ødometerforsøk

Grunnvannstand: m

— Borbok:

Borbok: Lab-bok: Digital

**PRØVESERIE**

Borhull:

3

Melhus kommune

Dato:

2019-09-30

Kregnesbakken

**Multiconsult**  
www.multiconsult.no

Konstr./Tegnet:

mash

Kontrollert:

vt

Godkjent:

TOJ

Oppdragsnummer:

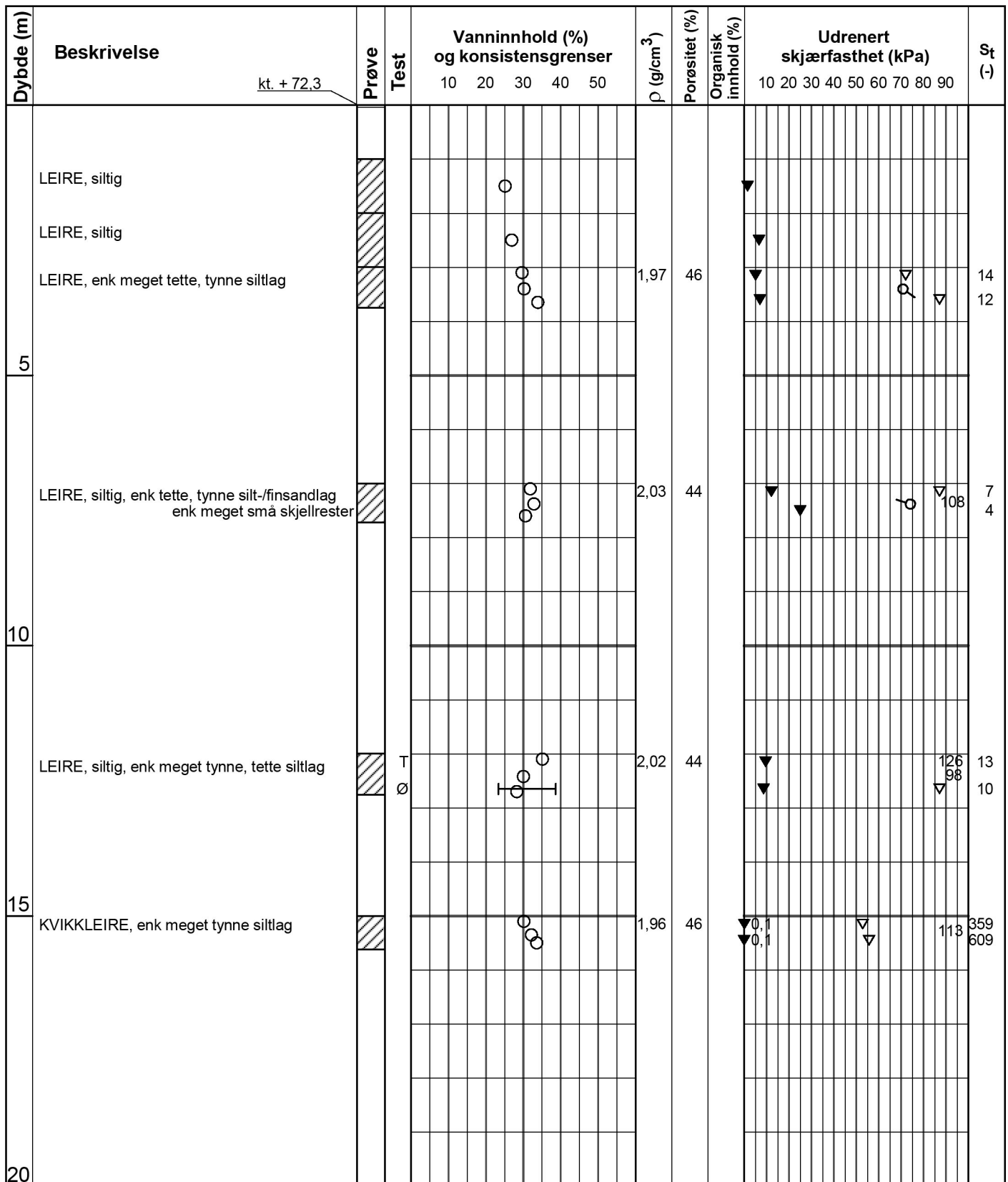
10206445-03

Tegningsnr.:

RIG-TEG-200

Rev. nr.:

00


**Symboler:**


Enaksialforsøk (strek angir aksuell tøyning (%) ved brudd)

○ Vanninnhold

▼ Omrørt konus

ρ = Densitet

T = Treaksialforsøk

ρ<sub>s</sub>: 2,76 g/cm<sup>3</sup>

— Plastisitetsindeks, Ip

▽ Uomrørt konus

Ø = Ødometerforsøk

Grunnvannstand: m

K = Korngradering

Borbok: Lab-bok: Digital

**PRØVESERIE**

Borhull:

4

Melhus kommune

Dato:

2019-09-30

Kregnesbakken

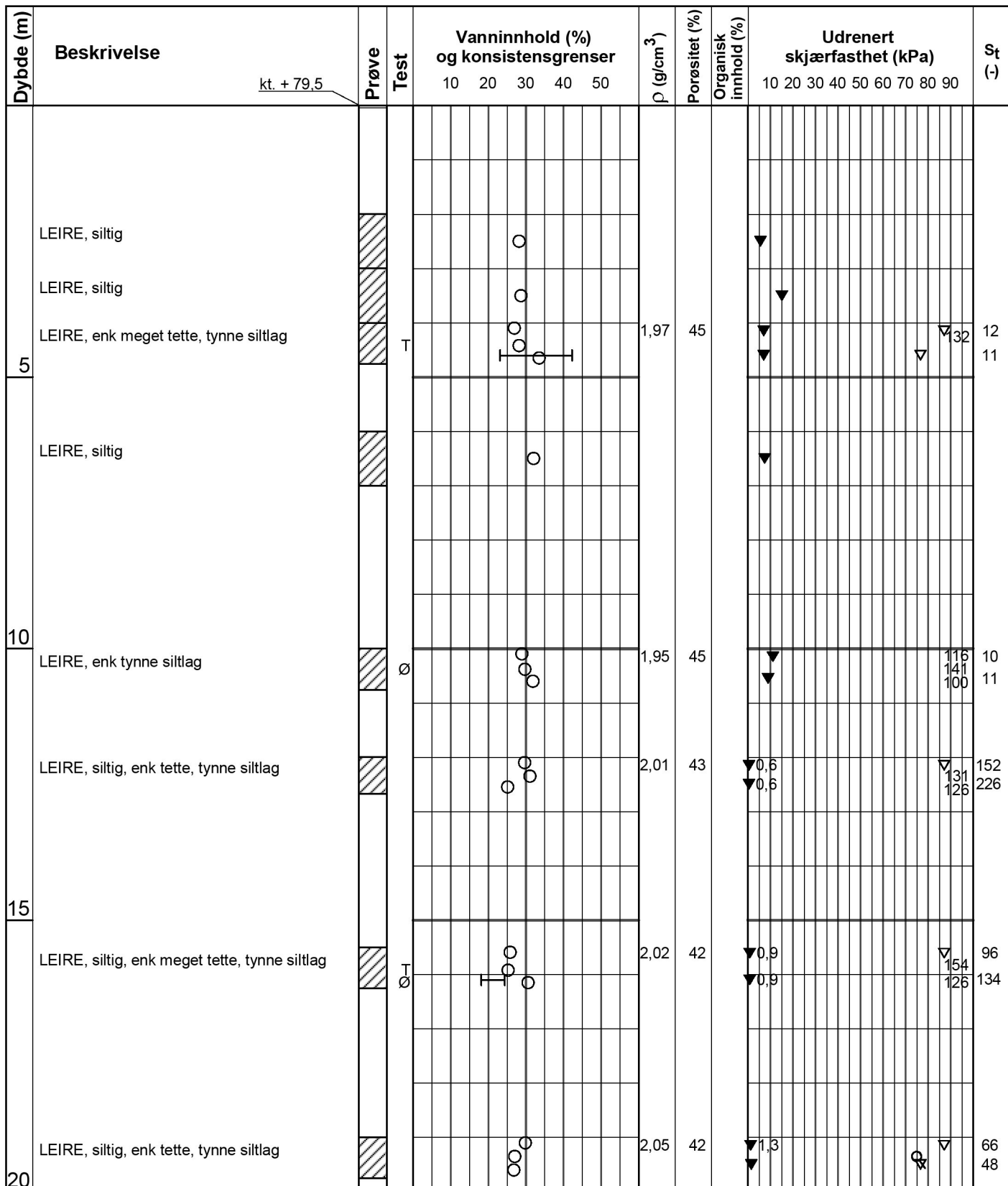
Dybde (m)	Beskrivelse	Prøve Kt. + 72,3	Test	Vanninnhold (%) og konsistensgrenser					$\rho$ (g/cm <sup>3</sup> )	Porositet (%)	Organisk innhold (%)	Udrenert skjærfasthet (kPa)									St (-)	
				10	20	30	40	50				10	20	30	40	50	60	70	80	90		
25	KVIKKLEIRE, siltig enk meget tette, tynne siltlag								2,01	43		▼0,2									108 126	492 533
30																						
35																						
40																						

<b>Symboler:</b>		Enaksialforsøk (strek angir aksuell tøyning (%) ved brudd)		T = Treaksialforsøk	$\rho_s$ :	2,76 g/cm <sup>3</sup>
	Vanninnhold		Omrørt konus	$\rho$ = Densitet	Grunnvannstand:	m
	Plastisitetsindeks, Ip		Uomrørt konus	$S_t$ = Sensitivitet	Borbok:	Lab-bok:

PRØVESERIE	Borhull:	4
------------	----------	---

Melhus kommune	Dato:	2019-09-30
Kregnesbakken		

<b>Multiconsult</b> www.multiconsult.no	Konstr./Tegnet:  mash	Kontrollert:  vt	Godkjent:  TOJ
	Oppdragsnummer:  10206445-03	Tegningsnr.:  RIG-TEG-201	Rev. nr.:  00


**Symboler:**


Enaksialforsøk (strek angir aksuell tøyning (%) ved brudd)

○ Vanninnhold

▼ Omrørt konus

ρ = Densitet

T = Treaksialforsøk

ρ<sub>s</sub>: 2,75 g/cm<sup>3</sup>

─ Plastisitetsindeks, Ip

▽ Uomrørt konus

Ø = Ødometerforsøk

Grunnvannstand: m

K = Korngradering

Lab-bok: Digital

Borbok:

Lab-bok: Digital

Borhull: 5

Dato: 2019-09-30

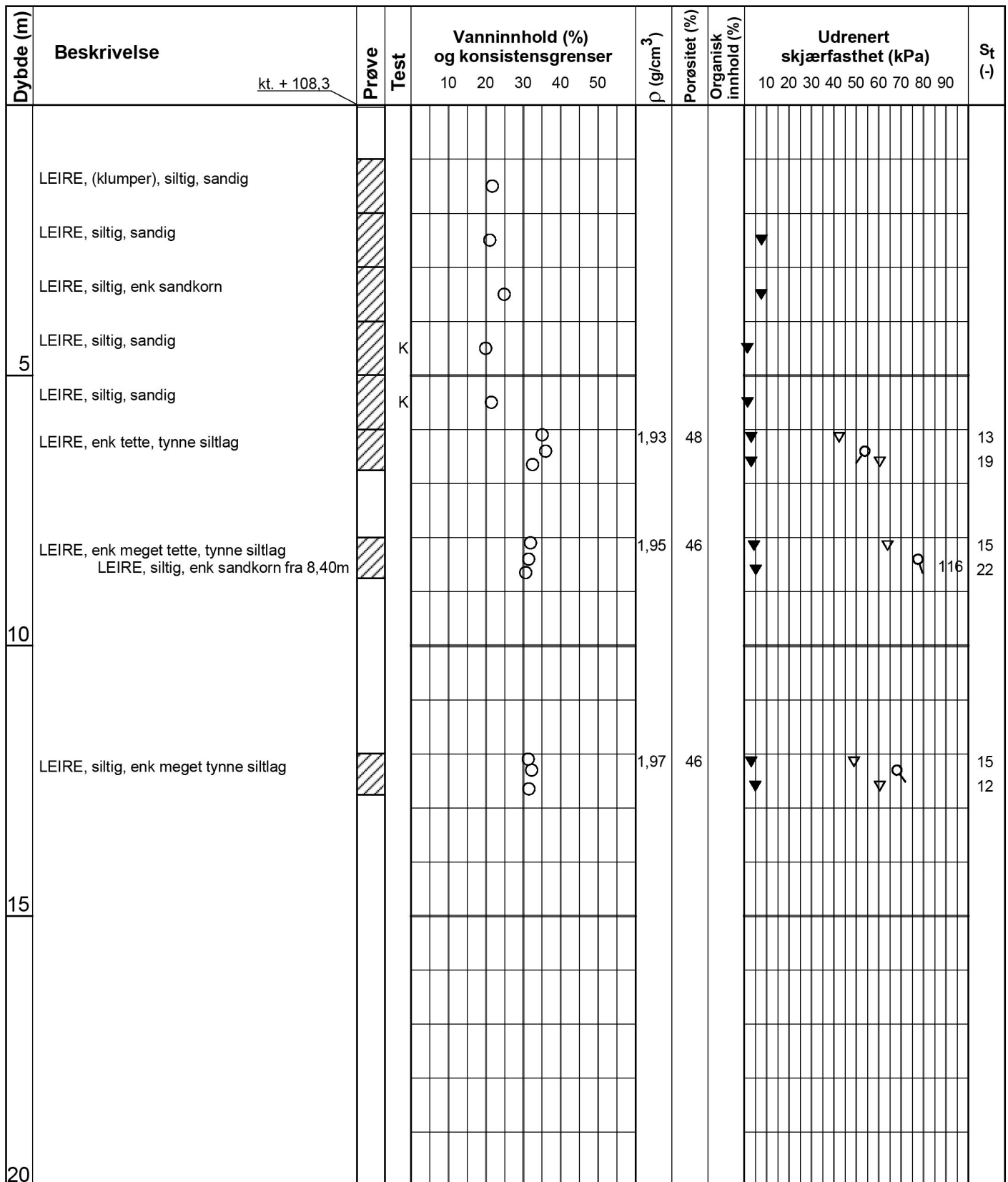
PRØVESERIE

Melhus kommune

Kregnesbakken

Konstr./Tegnet: mash Kontrollert: vt Godkjent: TOJ

Oppdragsnummer: 10206445-03 Tegningsnr.: RIG-TEG-202 Rev. nr.: 00


**Symboler:**


Enaksialforsøk (strek angir aksuell tøyning (%) ved brudd)

○ Vanninnhold

▼ Omrørt konus

ρ = Densitet

T = Treaksialforsøk

ρ<sub>s</sub>: 2,75 g/cm<sup>3</sup>  
Grunnvannstand: m

─ Plastisitetsindeks, Ip

▽ Uomrørt konus

Ø = Ødometerforsøk

Borbok:

Lab-bok:

Digital

S<sub>t</sub> = Sensitivitet

Godkjent:

TOJ

PRØVESERIE

Borhull:

8

Melhus kommune

Dato:  
2019-09-30

Kregnesbakken

**Multiconsult**  
www.multiconsult.no

Konstr./Tegnet:

mash

Kontrollert:

vt

Godkjent:

Oppdragsnummer:

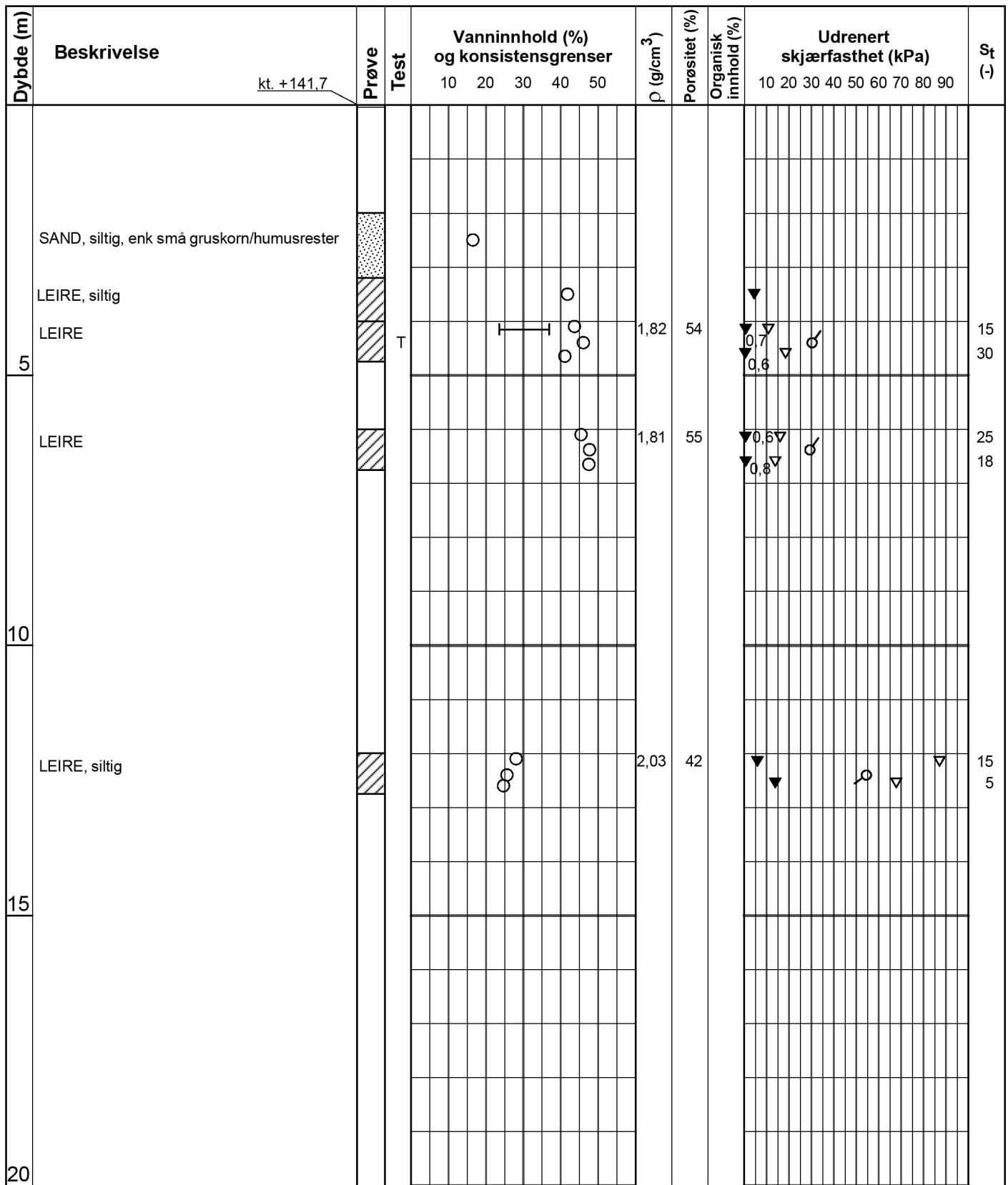
10206445-03

Tegningsnr.:

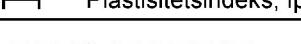
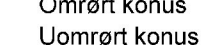
RIG-TEG-203

Rev. nr.:

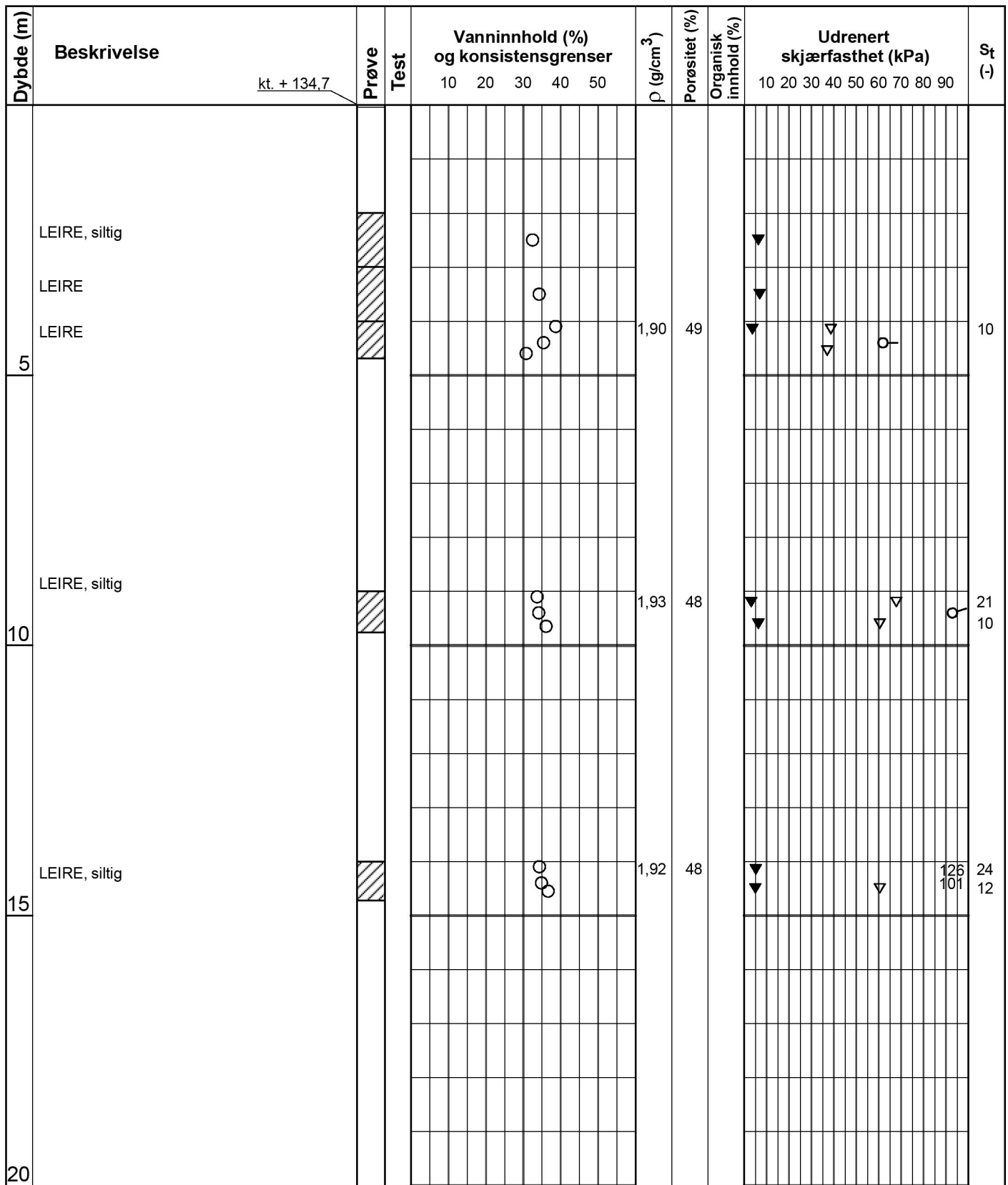
00



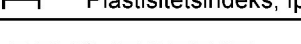
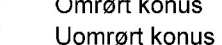
**Symboler:**  Enaksialforsøk (strek angir aksiel tøyning (%) ved brudd)

 Vanninnhold	 Omrørt konus	$\rho$ = Densitet	$T_s$ = Treaksialforsøk	$\rho_s$ : 2,75 g/cm <sup>3</sup>
 Plastisitetsindeks, Ip	 Uomrørt konus	$S_t$ = Sensitivitet	$\varnothing$ = Ødometerforsøk	Grunnvannstand: m
			K = Korngradering	Borbok: Lab-bok: Digital

PRØVESERIE		Borhull: 9		
Melhus kommune Kregnesbakken		Dato: 2019-09-30		
 www.multiconsult.no		Konstr./Tegnet: mash Oppdragsnummer: 10206445-03	Kontrollert: vt Tegningsnr.: RIG-TEG-204	Godkjent: TOJ Rev. nr.: 00

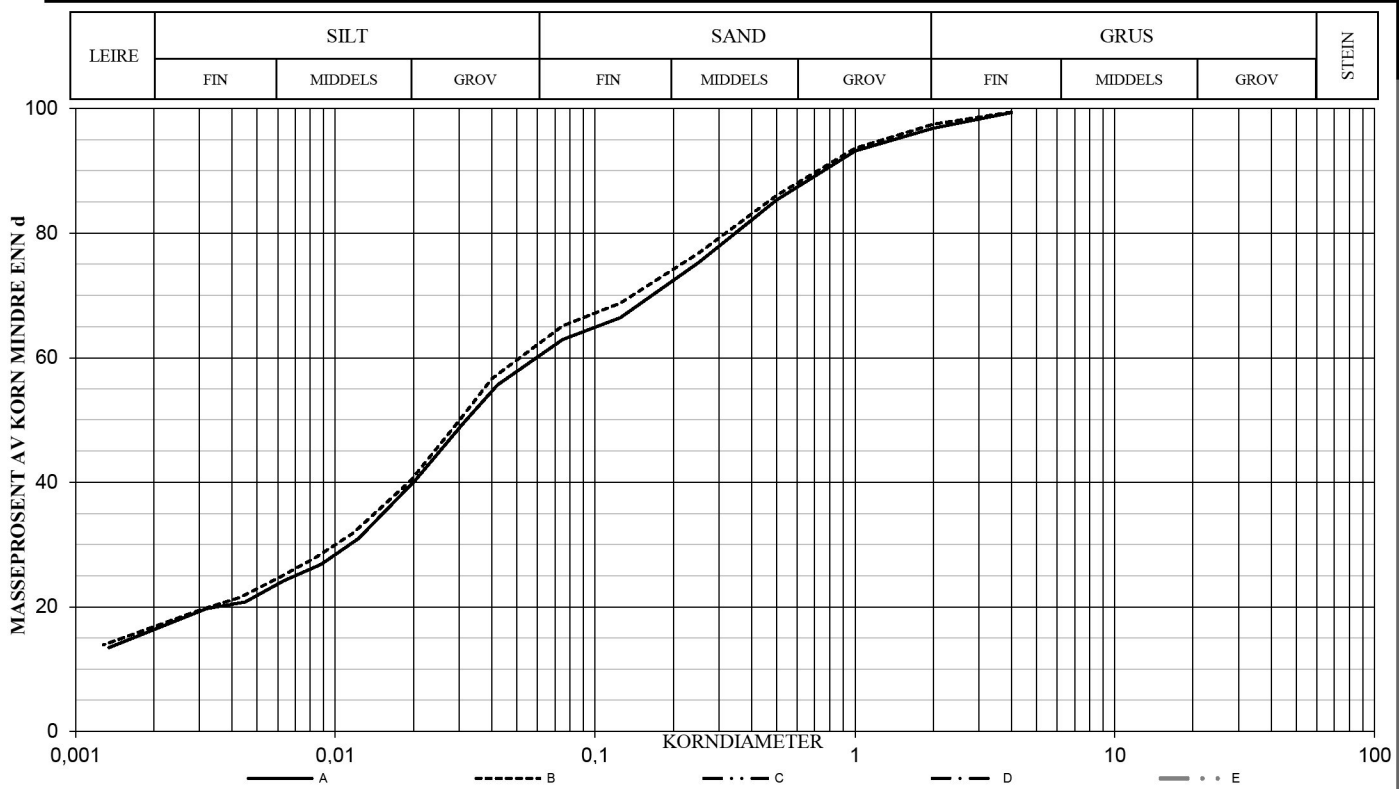


**Symboler:**  Enaksialforsøk (strek angir aksuell tøyning (%) ved brudd)

 Vanninnhold	 Omrørt konus	$\rho$ = Densitet	$\rho_s$ : 2,75 g/cm <sup>3</sup>
 Plastisitetsindeks, Ip	 Uomrørt konus	$\varnothing$ = Ødometerforsøk	Grunnvannstand: m
		$K$ = Korngradering	Borbok: Lab-bok: Digital
		$S_t$ = Sensitivitet	

PRØVESERIE		Borhull: 11
Melhus kommune		Dato: 2019-09-30
Kregnesbakken		
<b>Multiconsult</b> www.multiconsult.no		
Konstr./Tegnet: <b>mash</b> Oppdragsnummer: <b>10206445-03</b>	Kontrollert: <b>vt</b> Tegningsnr.: <b>RIG-TEG-205</b>	Godkjent: <b>TOJ</b> Rev. nr.: <b>00</b>

SYMBOL	SERIE NR.	Dybde (m)	JORDARTS BETEGNELSE	Anmerkninger	METODE		
					TS	VS	HYD
A	8	4-5	LEIRE, siltig, sandig		X		X
B	8	5-6	LEIRE, siltig, sandig		X		X
C							
D							
E							



SYMBOL:

Ogl. = Glødetap (%)

Ona. = Humusinnhold (%)

Perm. = Permeabilitet (m/s)

$$C_z = \frac{D_{30}^2}{(D_{60})(D_{10})}$$

$$C_u = \frac{D_{60}}{D_{10}}$$

METODE:

TS = Tørr sikt

VS = Våt sikt

HYD = Hydrometer

SYM BOL	Tele gruppe	W %	Su kN/m <sup>2</sup>	Su r kN/m <sup>2</sup>	Plastisitet		Glødetap Ogl %	< 0,02 mm %	Tot. densitet kN/m <sup>3</sup>	D <sub>10</sub> mm	D <sub>30</sub> mm	D <sub>50</sub> mm	D <sub>60</sub> mm
					Wf	Wp							
A		19,9									0,0115	0,0320	0,0755
B		21,5									0,0101	0,0302	0,0636
C													
D													
E													

## KORNGRADERING

Melhus kommune

Kregnesbakken

Grunnundersøkelser

Konstr./Tegnet  
mash

Kontrollert  
vt

Godkjent

Dato

TOJ

24.09.19

**Multiconsult**  
www.multiconsult.no

OPPDRAF NR.

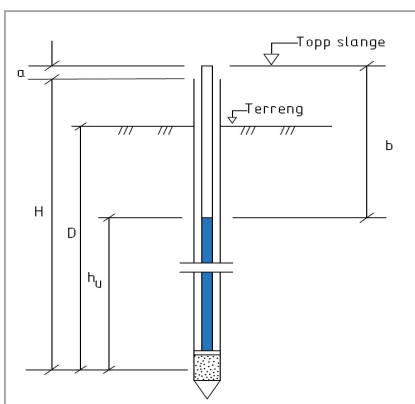
10206445-03

TEGN.NR.

RIG-TEG-300

REV.

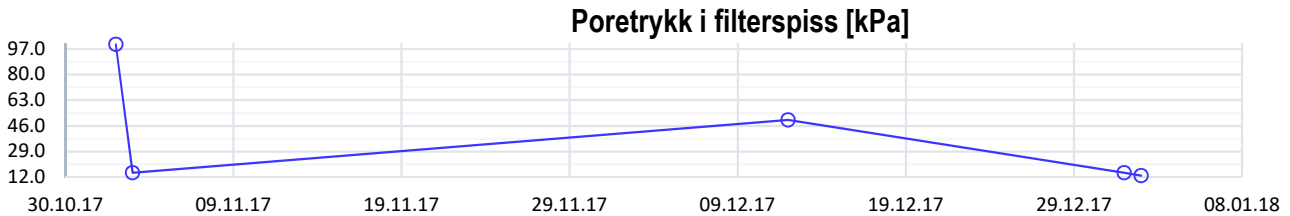
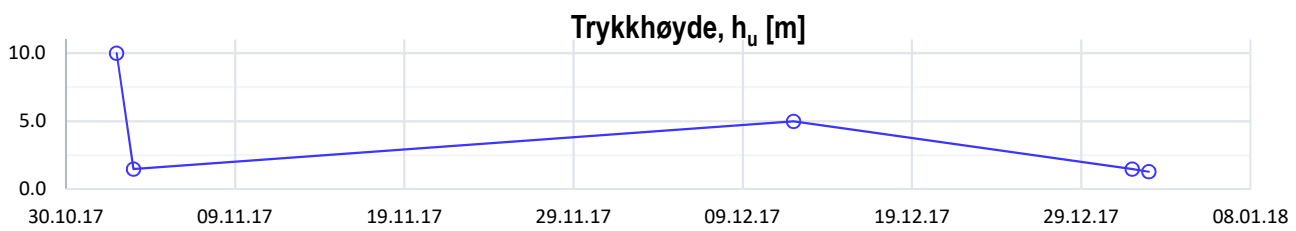
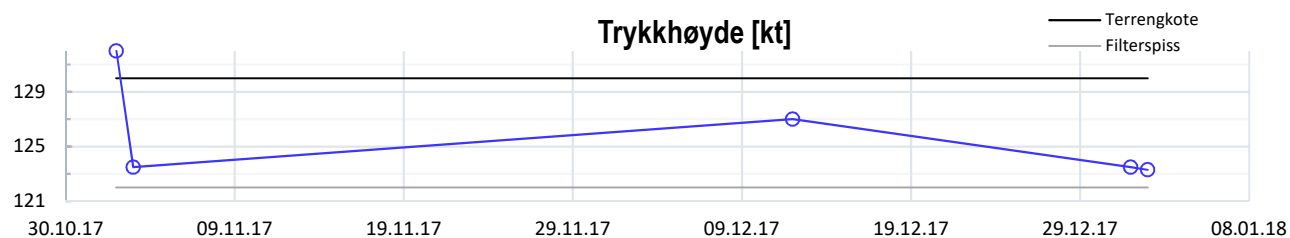
00



## Lokasjon og geometri

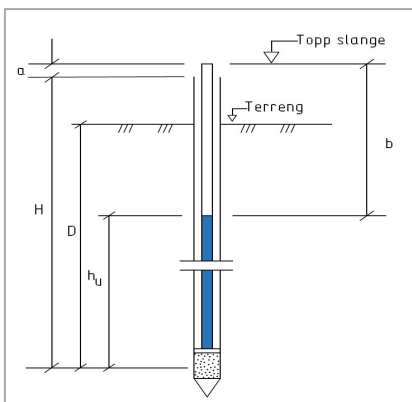
	<i>Enhets</i>	<i>Verdi</i>	<i>Anmerkning</i>
Koordinat NORD (X)	[m]	604959	UTM 32
Koordinat ØST (Y)	[m]	604959	UTM 32
Terrengkote	[m]	130	
Topp slange over terren	[m]	2.0	
Topp slange - topp rør (a)	[m]	0.0	
Topp slange kote	[m]	132	
Lengde rør + spiss (H)	[m]	10.0	
Dybde filterspiss under terreng (D)	[m]	8.0	
Filterspiss kote	[m]	122	

## Avlesning/Logging



Type	Borpunkt	Id	Installert dato	Borboek nr
Hydraulisk m/filter og plastslange, ett dyp	2	Pz2	23.11.2017	Digital
Melhus kommune	Status:	Frig	Opprinnelig formann	Dato:
Kregnesbakken	Utsendt	RIG	A4	22.11.2019
	Konfirm / Tegnet	Kontrollert	Bokkjent	Målestokk
	OYA	TOJ	KONK	-
Poretrykksregistrering	Oppdragsnr	Tegningsnr		Key
	10206445	RIG-TEG-251		

Poretrykksmåler 1 (PZ 1) - dyp:	10.0	m
Poretrykksmåler 2 (PZ 2) - dyp:	20.0	m

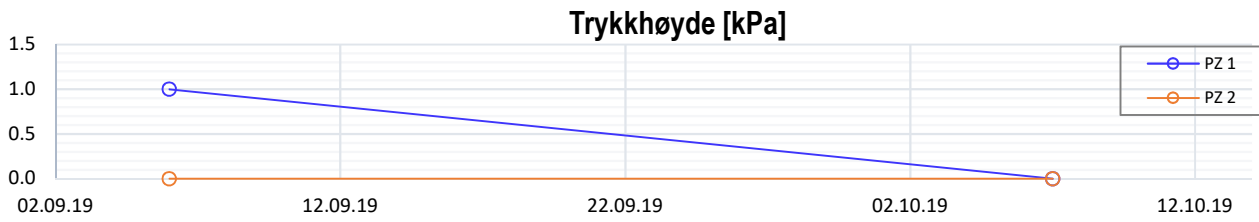
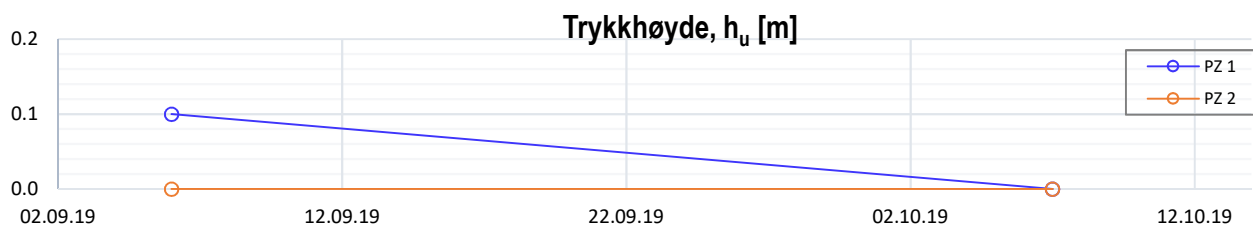
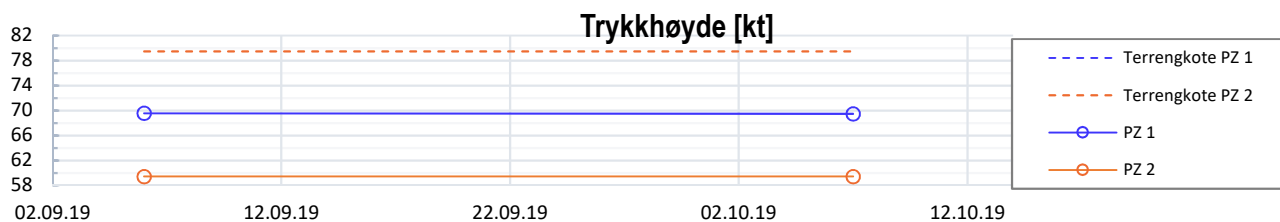


### Lokasjon og geometri

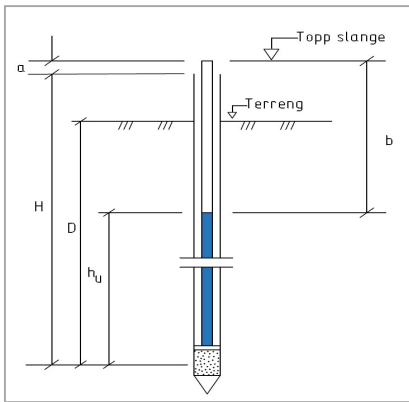
Enhet	PZ 1	PZ 2	Anmerkning
Koordinat NORD (X)	[m]	7012347	7012347 UTM 32
Koordinat ØST (Y)	[m]	562561	562561
Terrengkote	[m]	79	79
Topp slange over terreng	[m]	1.0	1.0
Topp slange - topp rør (a)	[m]	0.0	0.0
Topp slange kote	[m]	80	80
Lengde rør + spiss (H)	[m]	11.0	21.0
Dybde filterspiss under terreng (D)	[m]	10.0	20.0
Filterspiss kote	[m]	69	59

### Avlesning/Logging

Dato registrert	Dybde fra topp slange (b) [m]	Trykkhøyde hu [m]	Trykkhøyde kote [m]	Trykkhøyde trykk [kPa]	Anmerkning
<i>Poretrykksmåler 1: 10 m</i>					
06.09.2019	10.9	0.1	69.6	1.0	
07.10.2019	11.0	0.0	69.5	0.0	Tørt
<i>Poretrykksmåler 2: 20 m</i>					
06.09.2019	21.0	0.0	59.4	0.0	Tørt
07.10.2019	21.0	0.0	59.4	0.0	Tørt



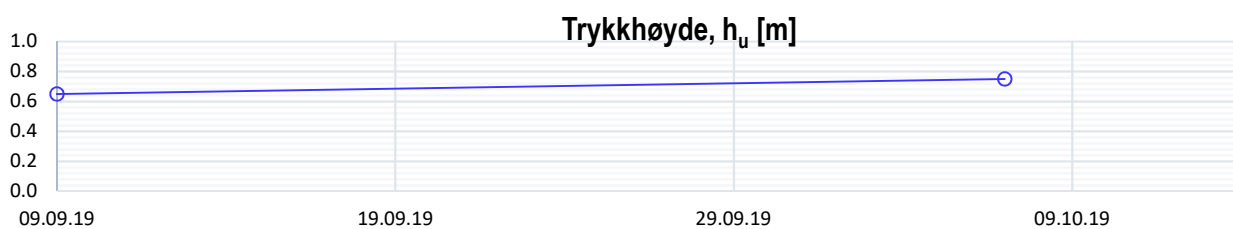
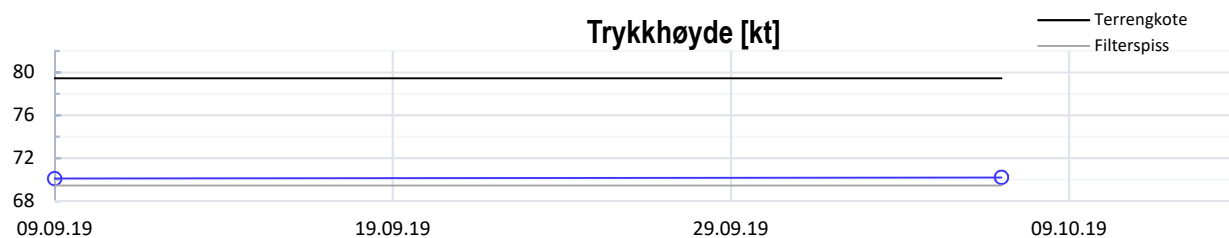
Type	Børpunkt	Id	Installasjons dato	Børbok nr
Hydraulisk m/filter og plastslange, to dyp	5	PZ 5.1,PZ 5.2	18.10.2019	Digital
Melhus kommune Kregnesbakken	Status Utsendt Konstr / Tegnet ØYA	Fag RIG Kontrollert TOJ	Originalt formar A4 Godkjent KONK	Varav 01.11.2019 Malestokk -
Poretrykksregistrering	Oppdragsnr 10206445	Tegningsnr RIG-TEG-351	Rev 0	



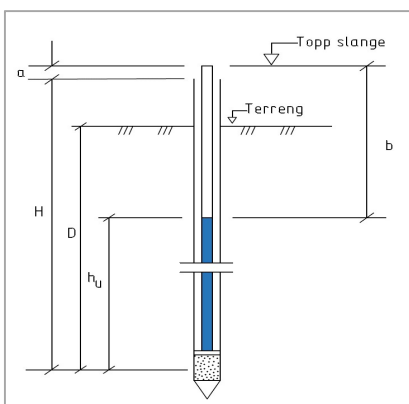
## Lokasjon og geometri

	<i>Enhet</i>	<i>Verdi</i>	<i>Anmerkning</i>
Koordinat NORD (X)	[m]	7012719	UTM 32
Koordinat ØST (Y)	[m]	562561	UTM 32
Terregnkote	[m]	79	
Topp slange over terrenget	[m]	1.0	
Topp slange - topp rør (a)	[m]	0.0	
Topp slange kote	[m]	80	
Lengde rør + spiss (H)	[m]	11.0	
Dybde filterspiss under terrenget (D)	[m]	10.0	
Filterspiss kote	[m]	69	

## Avlesning/Logging



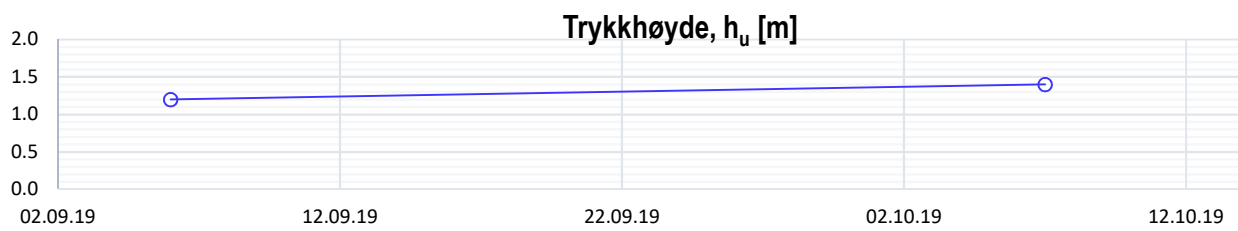
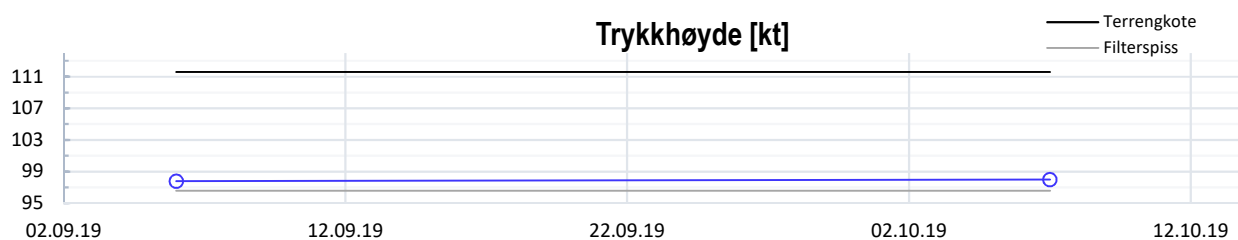
Type	Bortpunkt	Id	Installert dato	Borbon nr
Hydraulisk m/filter og plastslange, ett dyp	8	Pz8	14.11.2019	Digital
Melhus kommune	Status:	Teig	Opprinnelig formann	Dato:
Kregnesbakken	Utsendt	RIG	A4	22.11.2009
	Konstr / Tegnet	Kontrollert	Bokkjent	Målestokk
	OYA	TOJ	KONK	-
Poretrykksregistrering	Oppdragsnr	Tegningsnr		Rev.
	10206445	RIG-TEG-352		0



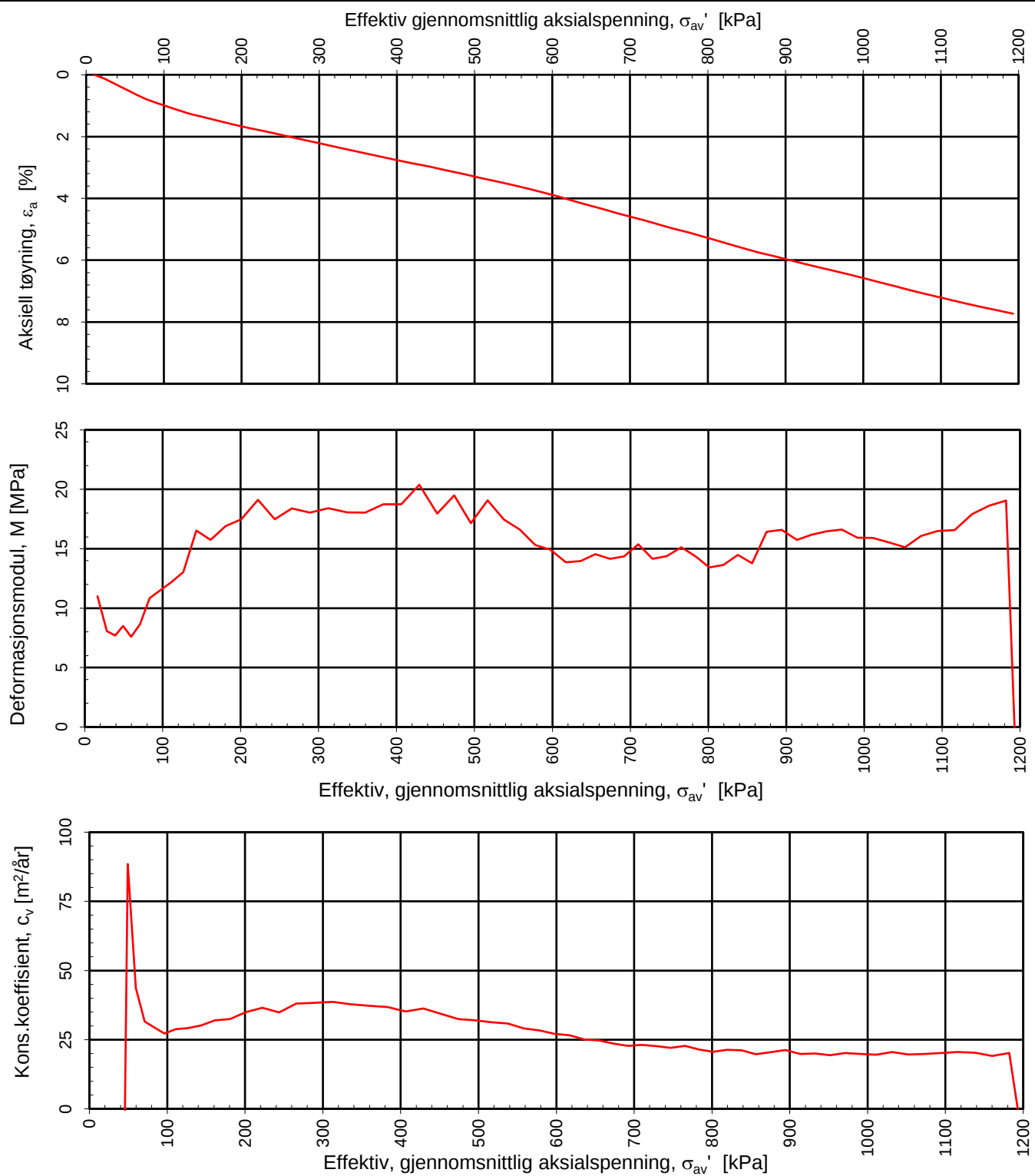
## Lokasjon og geometri

	<i>Enhets</i>	<i>Verdi</i>	<i>Anmerkning</i>
Koordinat NORD (X)	[m]	7012415	UTM 32
Koordinat ØST (Y)	[m]	5624825	UTM 32
Terrengkote	[m]	112	
Topp slange over terren	[m]	1.0	
Topp slange - topp rør (a)	[m]	0.0	
Topp slange kote	[m]	113	
Lengde rør + spiss (H)	[m]	16.0	
Dybde filterspiss under terreng (D)	[m]	15.0	
Filterspiss kote	[m]	97	

## Avlesning/Logging



Type	Boringspunkt	Id	Installert dato	Borbok nr
Hydraulisk m/filter og plastslange, ett dyp	11	Pz11	14.08.2019	Digital
Melhus kommune <b>Kregnesbakken</b>	Status: Utsendt Konstr./Tegnet OYA	Fag: RIG Kontrollert TOJ	Original formular A4 Godkjent KONK	Bare 22.11.2019 Malestokk -
Poretrykksregistrering	Oppdragsgivere:	Tegningsnr:		Rev:
			RIG-TEG-353	0



Densitet  $\rho$  ( $\text{g}/\text{cm}^3$ ):

**2,02**

Vanninnhold  $w$  (%):

**30,10**

Effektivt overlagringstrykk,  $\sigma'_{vo}$  (kPa):

**122,13**

## Melhus kommune Kregnesbakken

Tegningens filnavn:

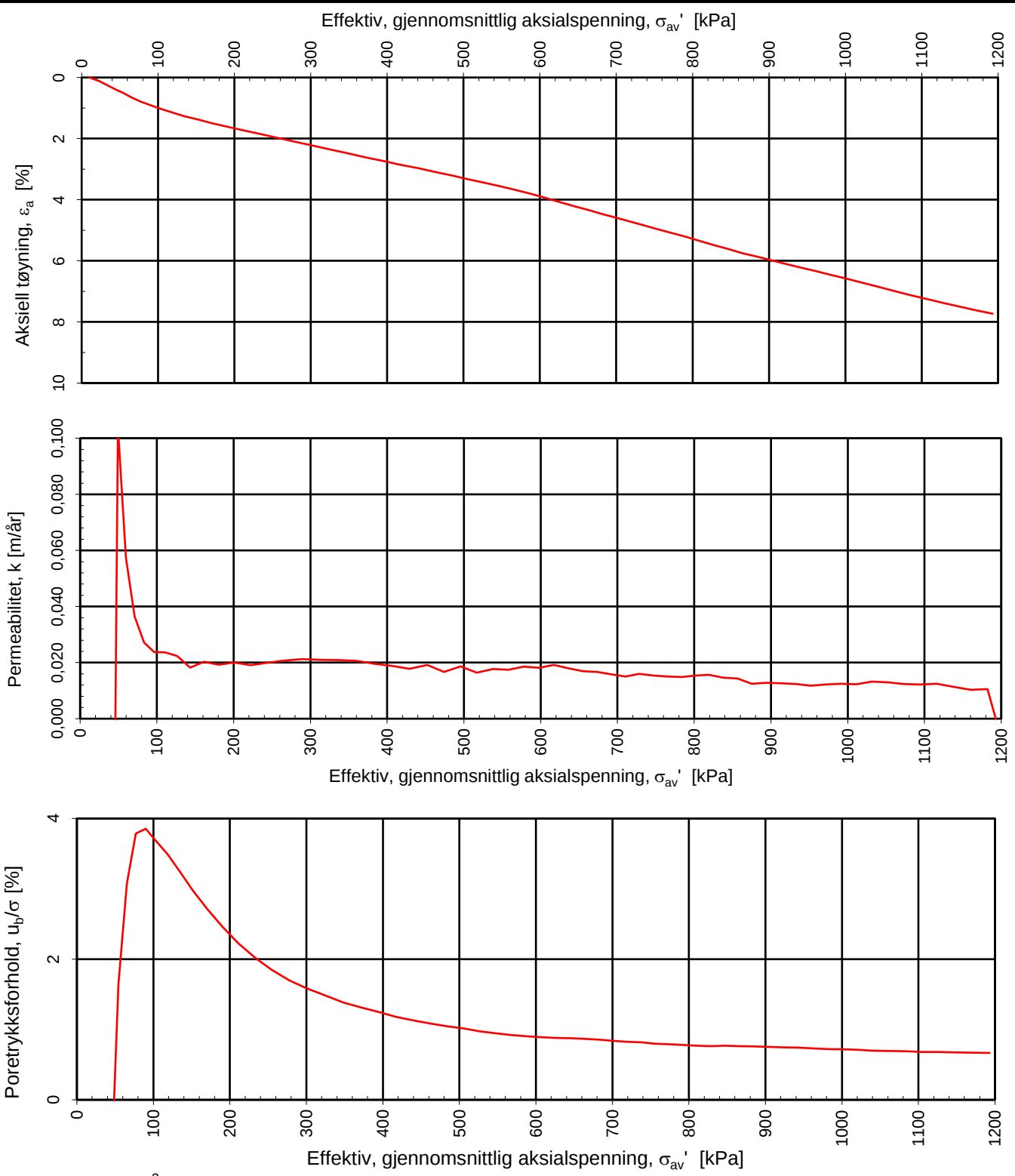
10206445-03-RIG-TEG-400\_h4\_d12,45m

**Multi  
consult**

**MULTICONSULT  
NORGE AS**  
Sluppenvegen 15,  
7486 TRONDHEIM  
Tlf.: 73 10 62 00  
Faks: 73 10 62 30

Forsøksdato:	11.09.2019	Dybde, z (m):	12,45	Borpunkt nr.:	4
Forsøknr.:	1	Tegnet av:	mash	Kontrollert:	vt
Oppdrag nr.:	10206445-03	Tegning nr.:	RIG-TEG-400.1	Prosedyre:	CRS
				Programrevision:	16.07.2018

Kontinuerlig ødometerforsøk, CRS-rutine. Plott A:  $\sigma'_{av}$  -  $\varepsilon_a$ ,  $M$  og  $c_v$ .



Densitet  $\rho$  (g/cm<sup>3</sup>):

2,02

Vanninnhold w (%):

30,10

Effektivt overlagringstrykk,  $\sigma'_{vo}$  (kPa):

122,13

## Melhus kommune

### Kregnesvegen

Kontinuerlig ødometerforsøk, CRS-rutine. Plott B:  $\sigma'_{av}$  -  $\varepsilon_a$ ,  $k$  og  $u_b/\sigma$ .

Tegningens filnavn:

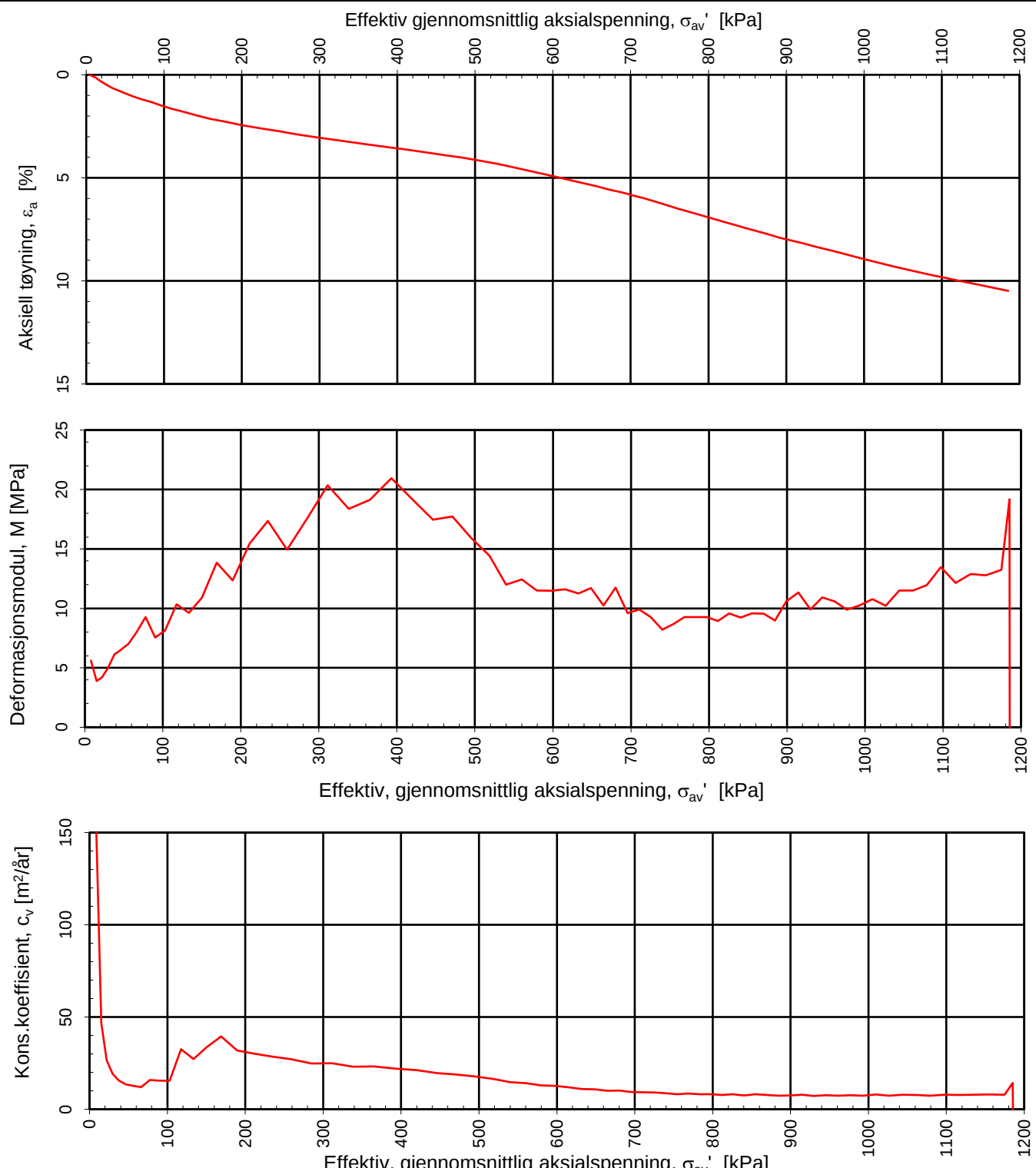
10206445-03-RIG-TEG-400\_h4\_d12,45m

**Multi  
consult**

**MULTICONSULT  
NORGE AS**

Sluppenvegen 15,  
7486 TRONDHEIM  
Tlf.: 73 10 62 00  
Faks: 73 10 62 30

Forsøksdato:	11.09.2019	Dybde, z (m):	12,45	Borpunkt nr.:	4
Forsøknr.:	1	Tegnet av:	mash	Kontrollert:	vt
Oppdrag nr.:	10206445-03	Tegning nr.:	RIG-TEG-400.2	Prosedyre:	CRS
				Programrevisjon:	16.07.2018



Densitet  $\rho$  ( $\text{g}/\text{cm}^3$ ):

**1,95**

Vanninnhold  $w$  (%):

**30,85**

Effektivt overlagringstrykk,  $\sigma_{vo}'$  (kPa):

**95,76**

## Melhus kommune

### Kregnesbakken

Kontinuerlig ødometerforsøk, CRS-rutine. Plott A:  $\sigma_{av}' - \varepsilon_a$ ,  $M$  og  $c_v$ .

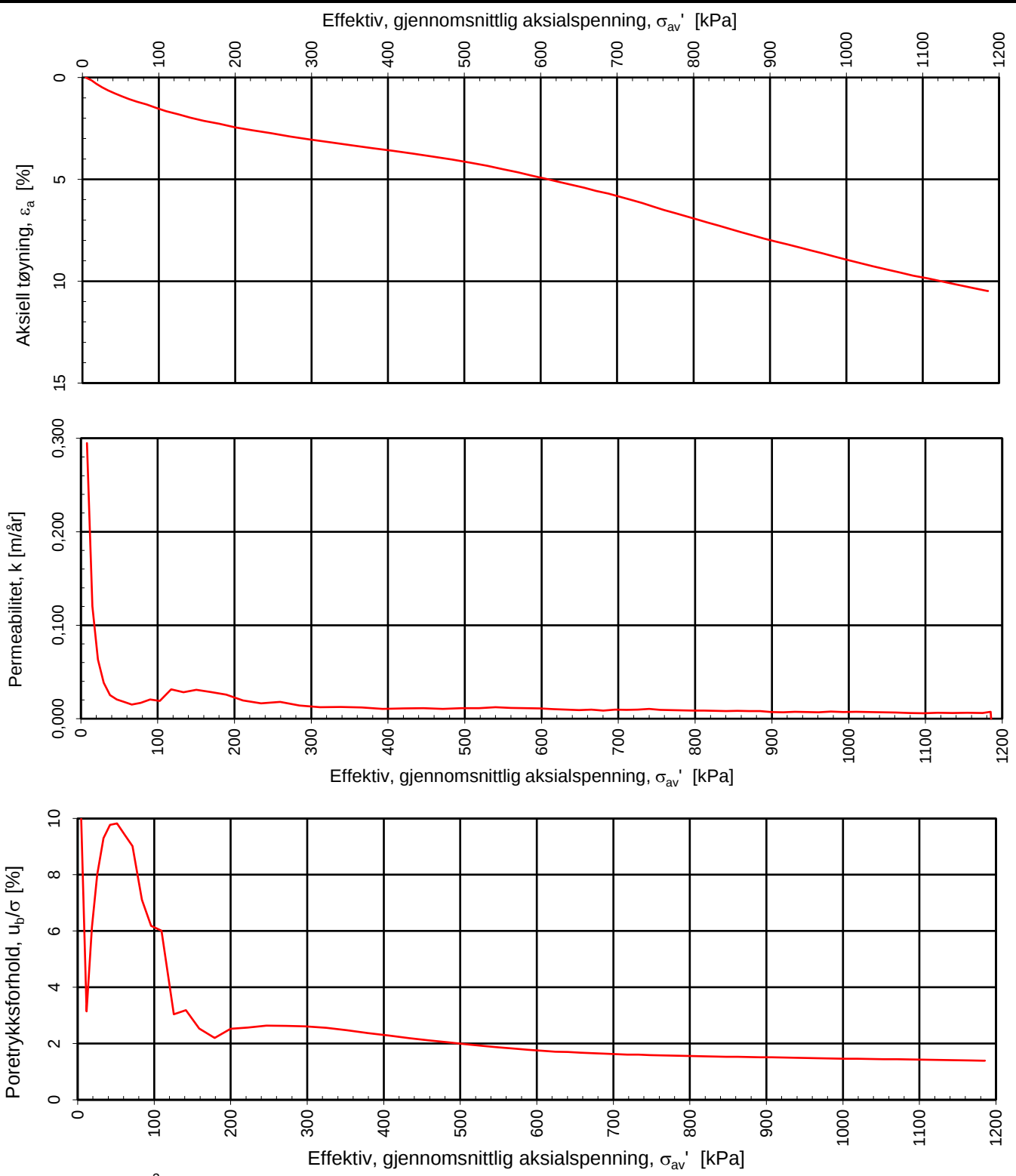
Tegningens filnavn:

10206445-03-RIG-TEG-401\_h5, d10,50m

**Multi  
consult**

**MULTICONSULT  
NORGE AS**  
Sluppenvegen 15,  
7486 TRONDHEIM  
Tlf.: 73 10 62 00  
Faks: 73 10 62 30

Forsøksdato:	16.09.2019	Dybde, $z$ (m):	10,50	Borpunkt nr.:	5
Forsøknr.:	2	Tegnet av:	mash	Kontrollert:	vt
Oppdrag nr.:	10206445-03	Tegning nr.:	RIG-TEG-401.1	Prosedyre:	CRS
				Programrevision:	16.07.2018



Densitet  $\rho$  (g/cm<sup>3</sup>):

1,95

Vanninnhold w (%):

30,85

Effektivt overlagringstrykk,  $\sigma'_{vo}$  (kPa):

95,76

## Melhus kommune

### Kregnesvegen

Kontinuerlig ødometerforsøk, CRS-rutine. Plott B:  $\sigma'_{av}$  -  $\varepsilon_a$ ,  $k$  og  $u_b/\sigma$ .

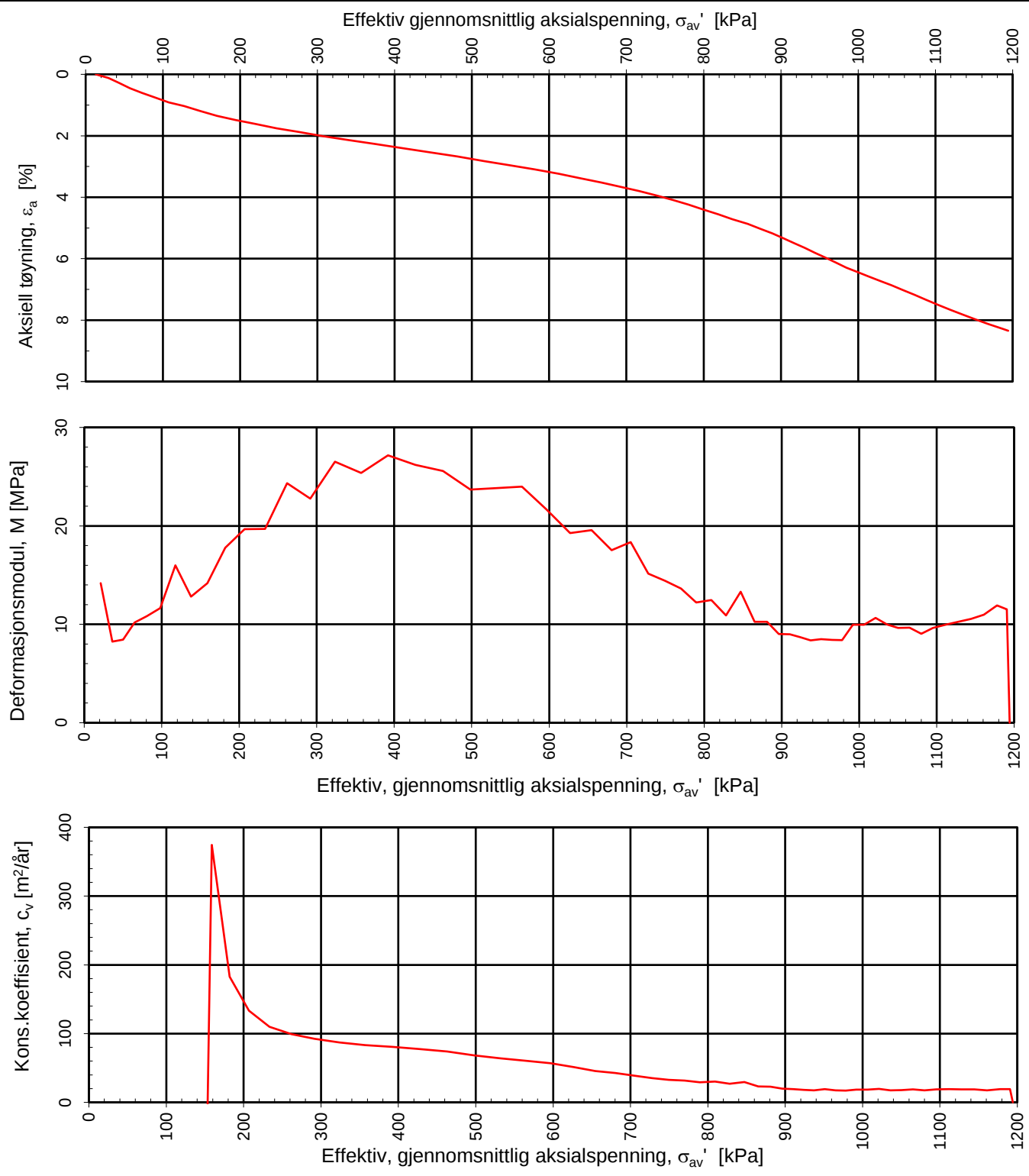
Tegningens filnavn:

10206445-03-RIG-TEG-401\_h5, d10,50m

**Multi  
consult**

**MULTICONSULT  
NORGE AS**  
Sluppenvegen 15,  
7486 TRONDHEIM  
Tlf.: 73 10 62 00  
Faks: 73 10 62 30

Forsøksdato:	16.09.2019	Dybde, z (m):	10,50	Borpunkt nr.:	5
Forsøknr.:	2	Tegnet av:	mash	Kontrollert:	vt
Oppdrag nr.:	10206445-03	Tegning nr.:	RIG-TEG-401.2	Prosedyre:	CRS
				Programrevisjon:	16.07.2018



Densitet  $\rho$  (g/cm<sup>3</sup>):

**2,02**

Vanninnhold w (%):

**25,30**

Effektivt overlagringstrykk,  $\sigma'_{vo}$  (kPa):

**156,47**

## Melhus kommune

### Kregnesbakken

Tegningens filnavn:

10206445-03-RIG-TEG-402\_h5, d15,95m

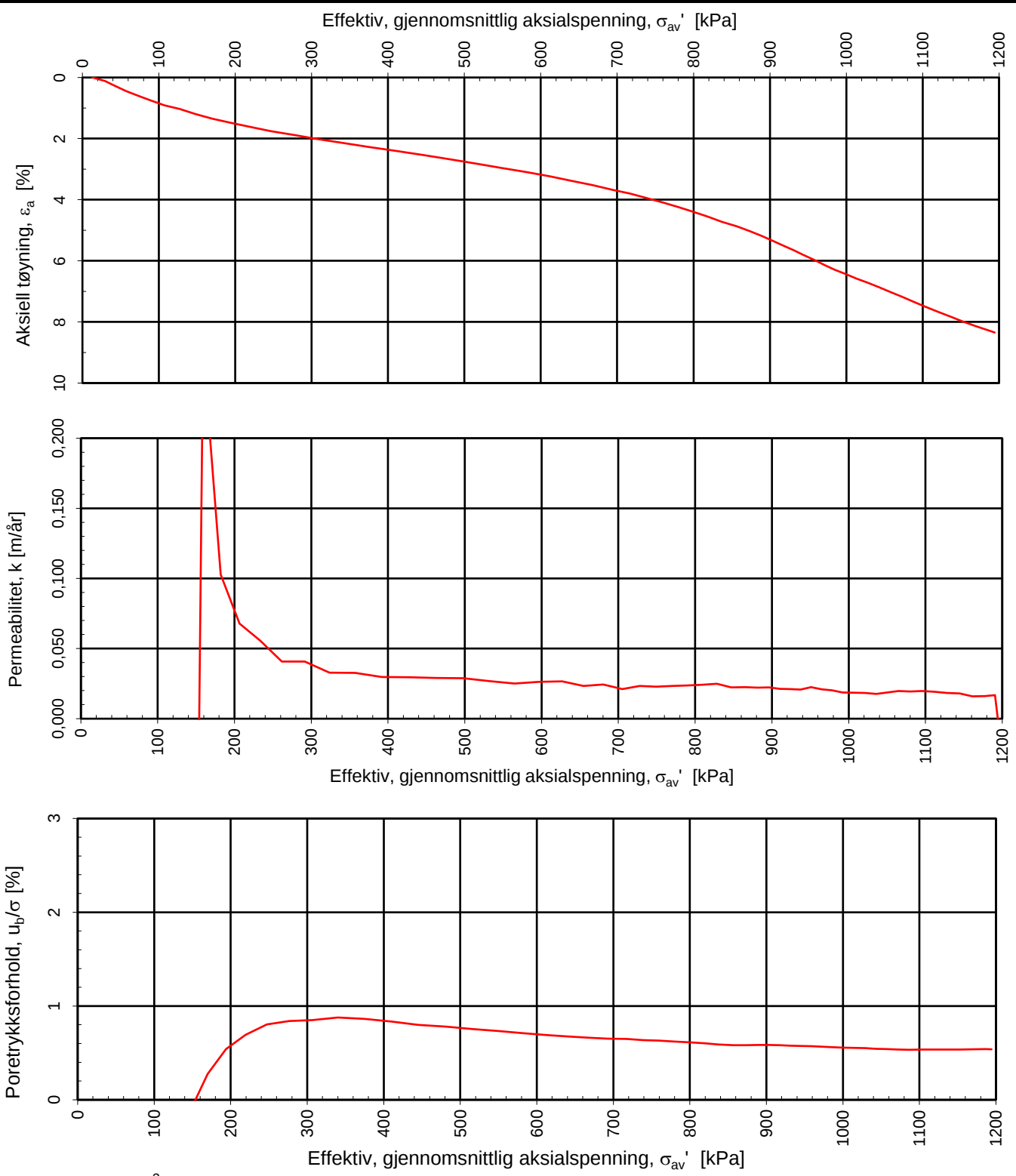
Kontinuerlig ødometerforsøk, CRS-rutine. Plott A:  $\sigma'_{av}$  -  $\varepsilon_a$ , M og  $c_v$ .

**Multi  
consult**

**MULTICONSULT  
NORGE AS**

Sluppenvegen 15,  
7486 TRONDHEIM  
Tlf.: 73 10 62 00  
Faks: 73 10 62 30

Forsøksdato:	12.09.2019	Dybde, z (m):	15,95	Borpunkt nr.:	5
Forsøknr.:	3	Tegnet av:	mash	Kontrollert:	vt
Oppdrag nr.:	10206445-03	Tegning nr.:	RIG-TEG-402.1	Prosedyre:	CRS
				Godkjent:	TOJ
				Programrevision:	16.07.2018



Densitet  $\rho$  ( $\text{g}/\text{cm}^3$ ):

2,02

Vanninnhold w (%):

25,30

Effektivt overlagringstrykk,  $\sigma'_{vo}$  (kPa):

156,47

## Melhus kommune

### Kregnesvegen

Kontinuerlig ødometerforsøk, CRS-rutine. Plott B:  $\sigma'_{av}$  -  $\varepsilon_a$ , k og  $u_b/\sigma$ .

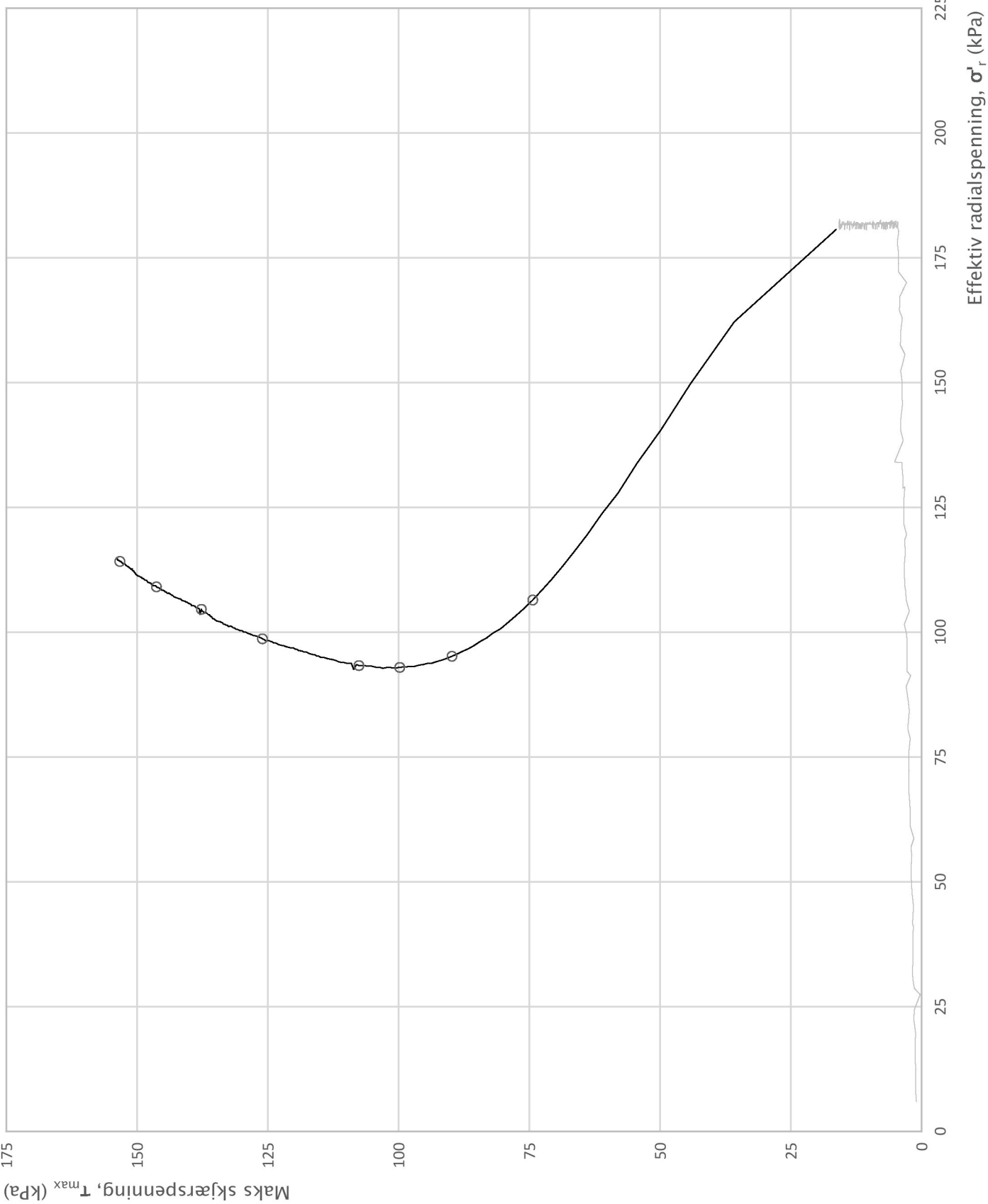
Tegningens filnavn:

10206445-03-RIG-TEG-402\_h5, d15,95m

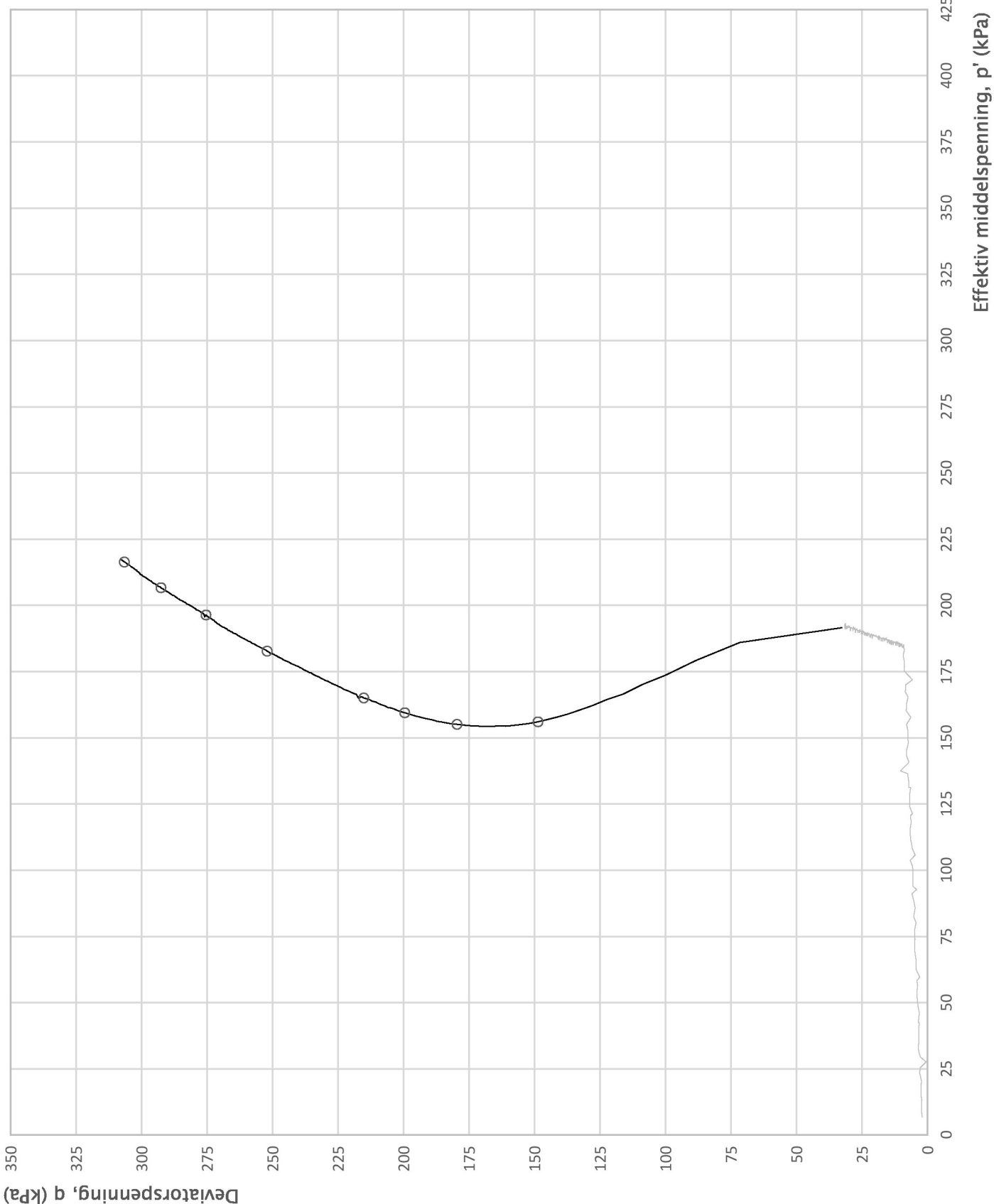


**MULTICONSULT  
NORGE AS**  
Sluppenvegen 15,  
7486 TRONDHEIM  
Tlf.: 73 10 62 00  
Faks: 73 10 62 30

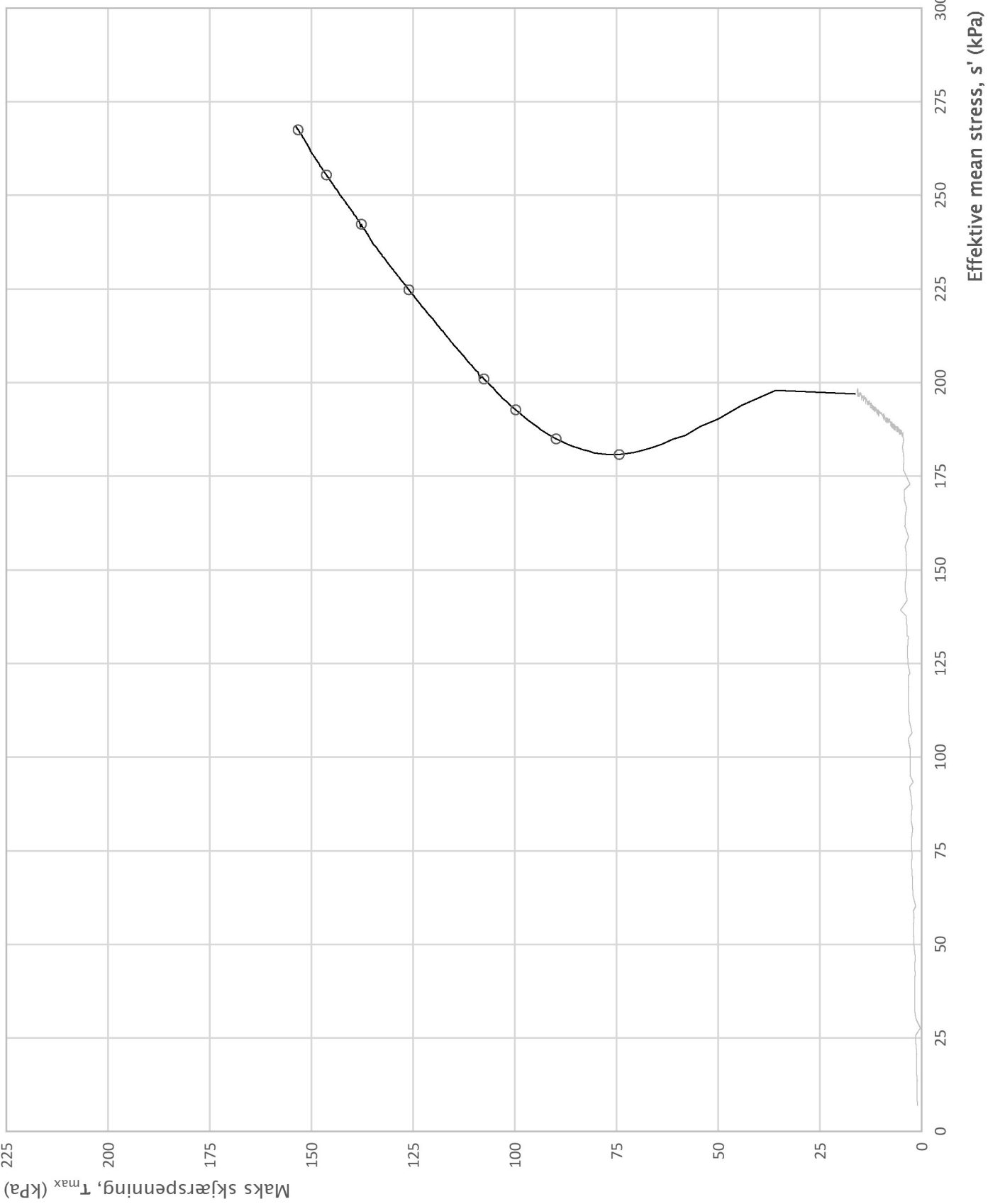
Forsøksdato:	12.09.2019	Dybde, z (m):	15,95	Borpunkt nr.:	5
Forsøknr.:	3	Tegnet av:	mash	Kontrollert:	vt
Oppdrag nr.:	10206445-03	Tegning nr.:	RIG-TEG-402.2	Prosedyre:	CRS
				Programrevisjon:	16.07.2018



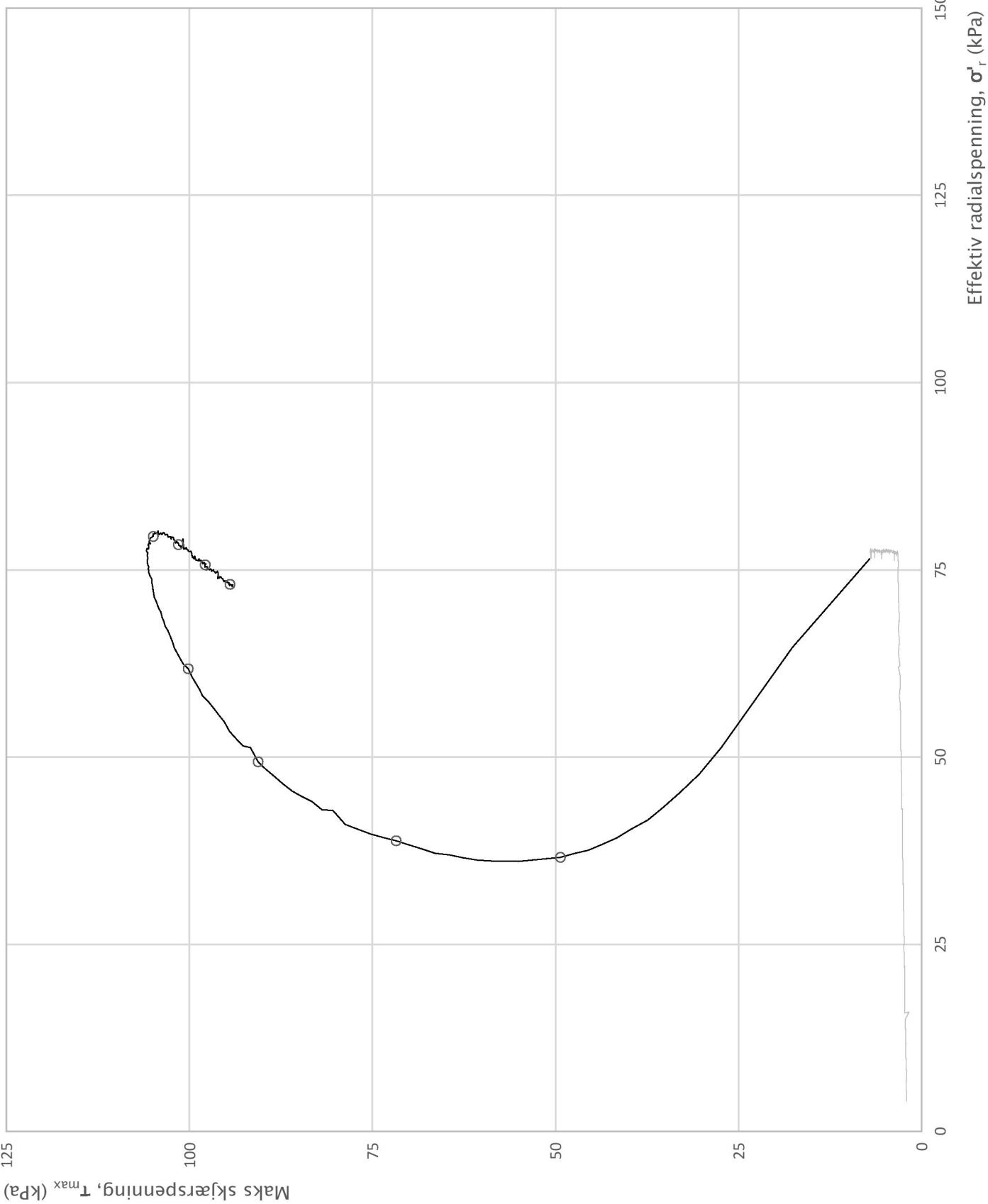
Prosjekt <b>Kregnesbakken</b>	Prosjektnummer: 10206445-03. Rapportnummer: RIG-RAP-001_rev00			Borhull 4
Innhold Spenningssti i skjærfase, $\sigma'_r-\tau$ plott (NTNU)				Dybde (m) 12,30
<b>Multiconsult</b>	Utført mash	Kontrollert vt	Godkjent TOJ	Forsøkstype <b>CAUc</b>
	Kontor Trondheim	Dato utført 11.09.2019	Revisjon 0	RIG-TEG <b>450.1</b>
Rev. dato 16.09.2019				



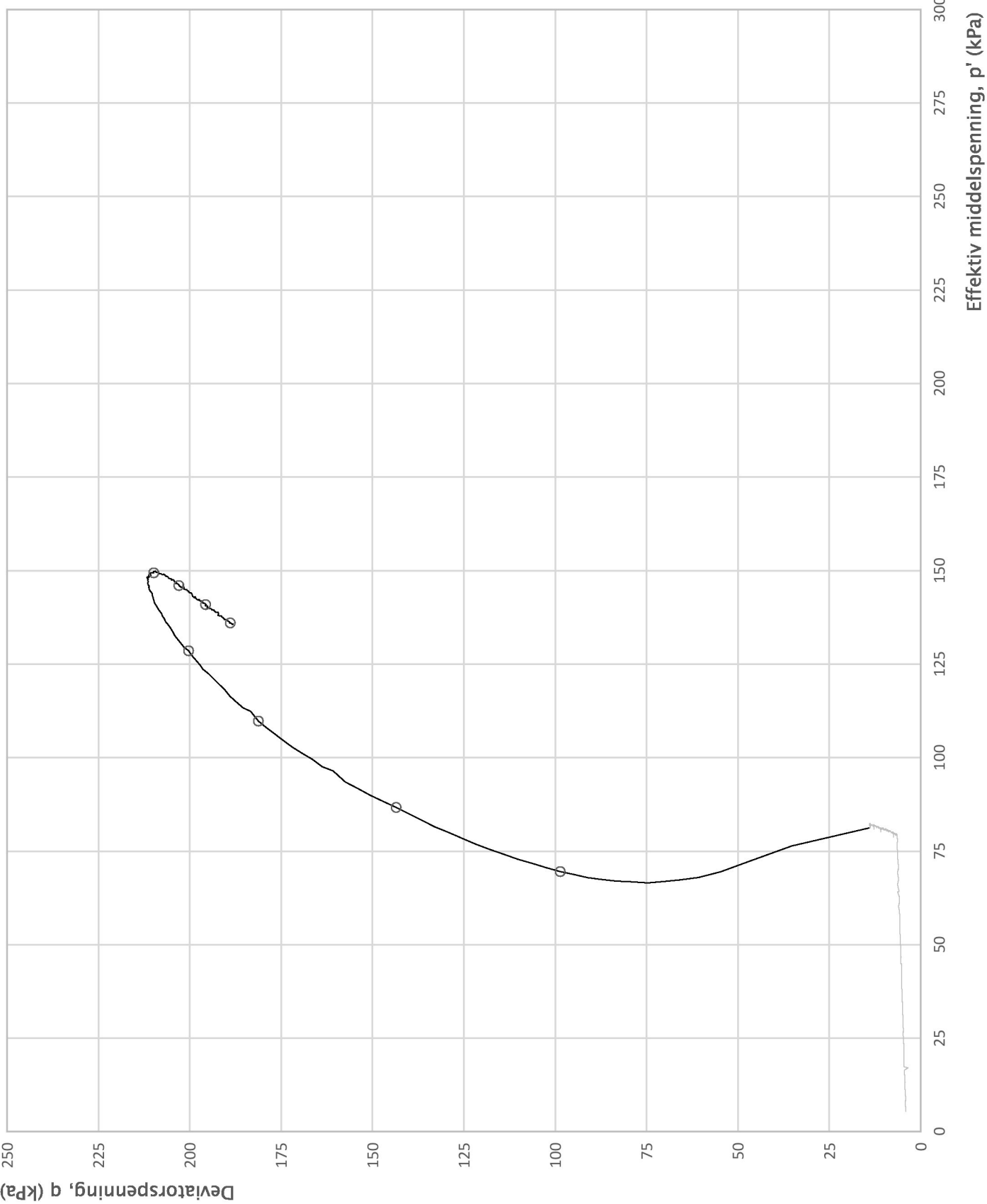
Prosjekt <b>Kregnesbakken</b>	Prosjektnummer: 10206445-03. Rapportnummer: RIG-RAP-001_rev00			Borhull 4
Innhold Spenningssti i skjærfase, $p'$ - $q$ plott				Dybde (m) 12,30
<b>Multiconsult</b>	Utført mash	Kontrollert vt	Godkjent TOJ	Forsøkstype <b>CAUc</b>
	Kontor Trondheim	Dato utført 11.09.2019	Revisjon 0	RIG-TEG <b>450.2</b>
				Rev. dato 16.09.2019



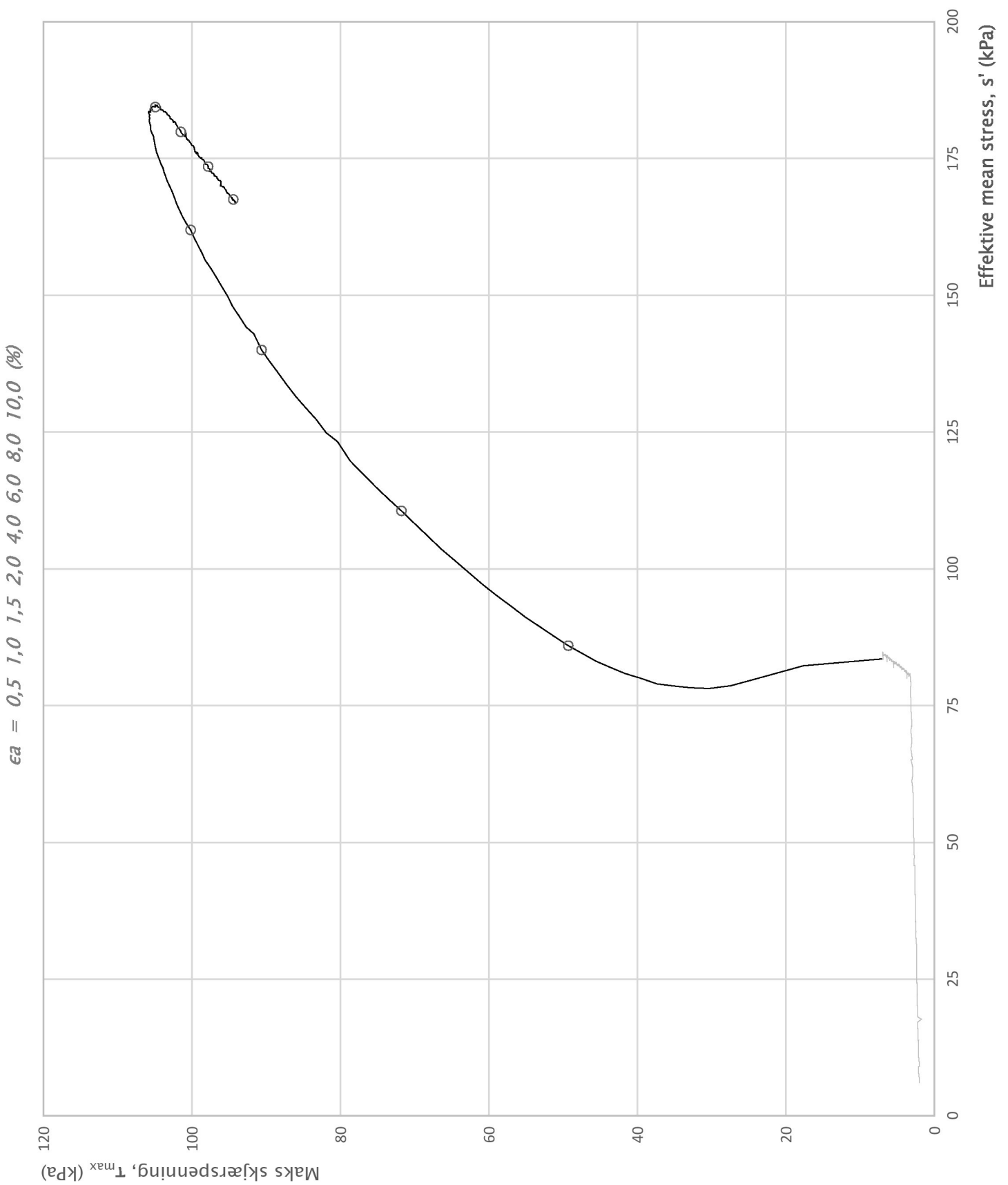
Prosjekt <b>Kregnesbakken</b>	Prosjektnummer: 10206445-03. Rapportnummer: RIG-RAP-001_rev00			Borhull 4
Innhold Spenningssti i skjærfase, $s'-\tau$ plott (MIT)				Dybde (m) 12,30
<b>Multiconsult</b>	Utført mash	Kontrollert vt	Godkjent TOJ	Forsøkstype <b>CAUc</b>
	Kontor Trondheim	Dato utført 11.09.2019	Revisjon 0	RIG-TEG <b>450.3</b>
				Rev. dato 16.09.2019



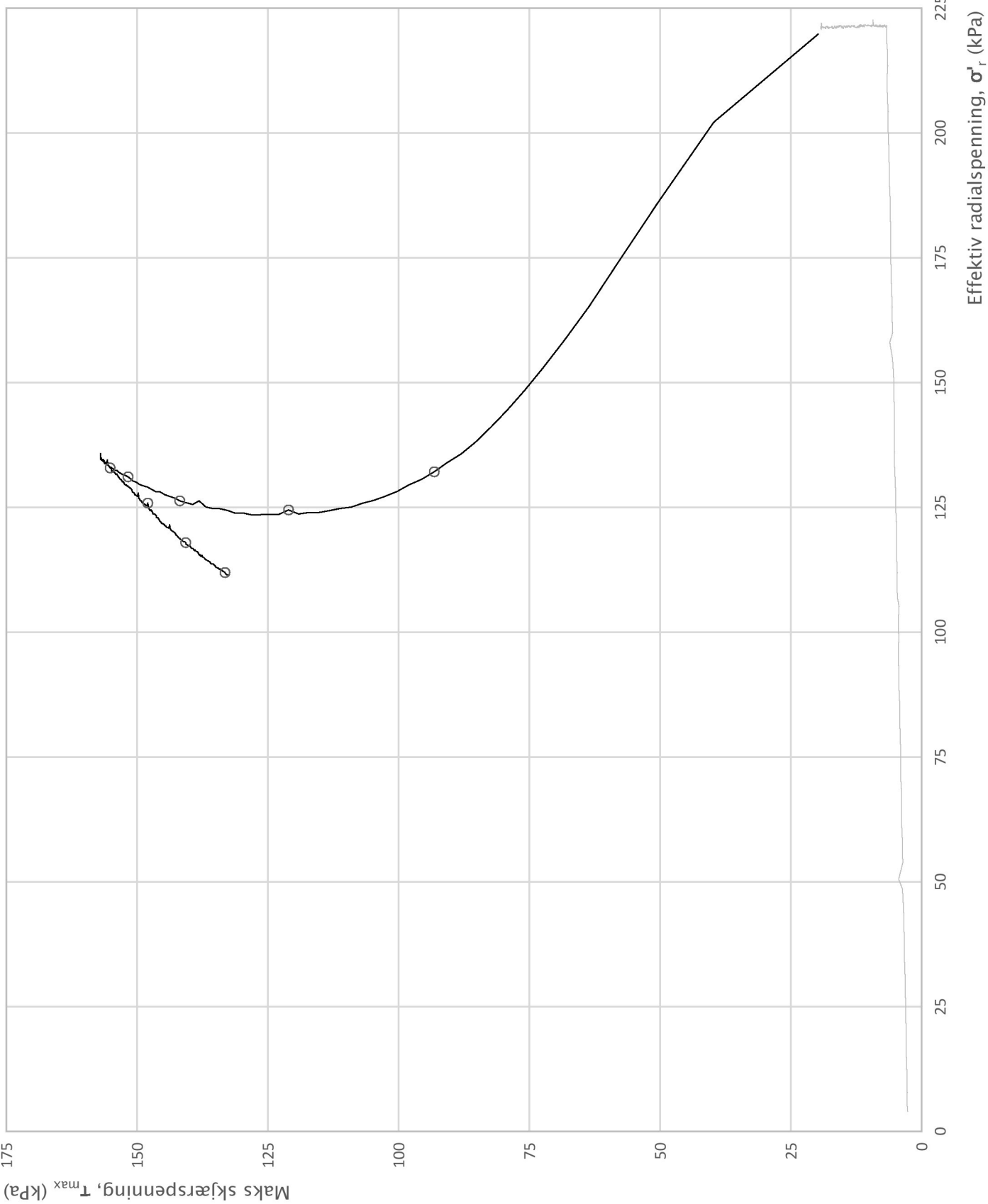
Prosjekt <b>Kregnesbakken</b>	Prosjektnummer: 10206445-03. Rapportnummer: RIG-RAP-001_rev00			Borhull <b>5</b>
Innhold				Dybde (m) <b>4,50</b>
Spenningssti i skjærfase, $\sigma'_r-\tau$ plott (NTNU)				
<b>Multiconsult</b>	Utført mash	Kontrollert vt	Godkjent TOJ	Forsøkstype <b>CAUc</b>
	Kontor Trondheim	Dato utført 11.09.2019	Revisjon 0	RIG-TEG <b>451.1</b>
Rev. dato 16.09.2019				



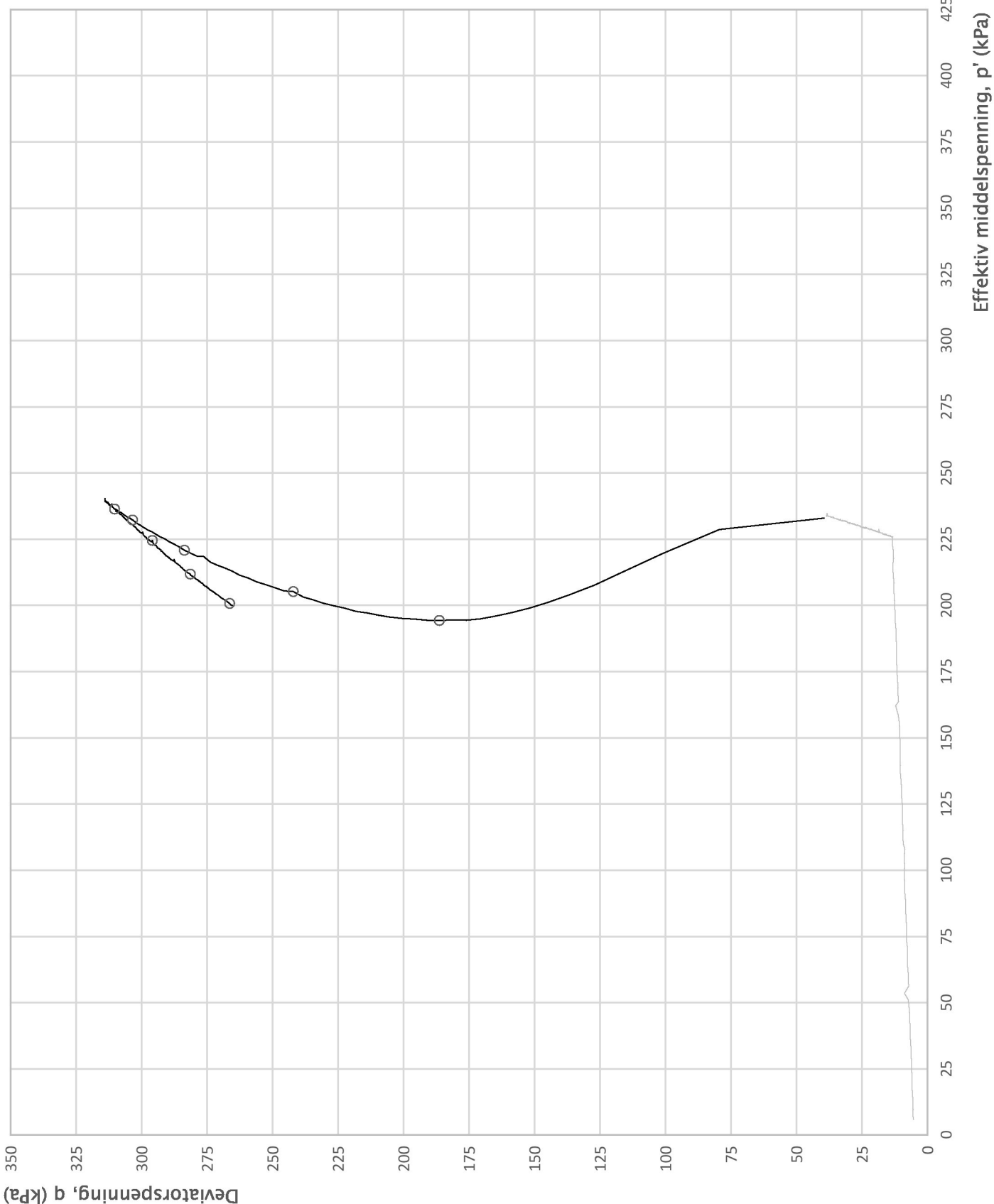
Prosjekt <b>Kregnesbakken</b>	Prosjektnummer: 10206445-03. Rapportnummer: RIG-RAP-001_rev00			Borhull <b>5</b>
Innhold Spenningssti i skjærfase, p'-q plott				Dybde (m) <b>4,50</b>
<b>Multiconsult</b>	Utført mash	Kontrollert vt	Godkjent TOJ	Forsøkstype <b>CAUc</b>
	Kontor Trondheim	Dato utført 11.09.2019	Revisjon 0	RIG-TEG <b>451.2</b>
				Rev. dato 16.09.2019



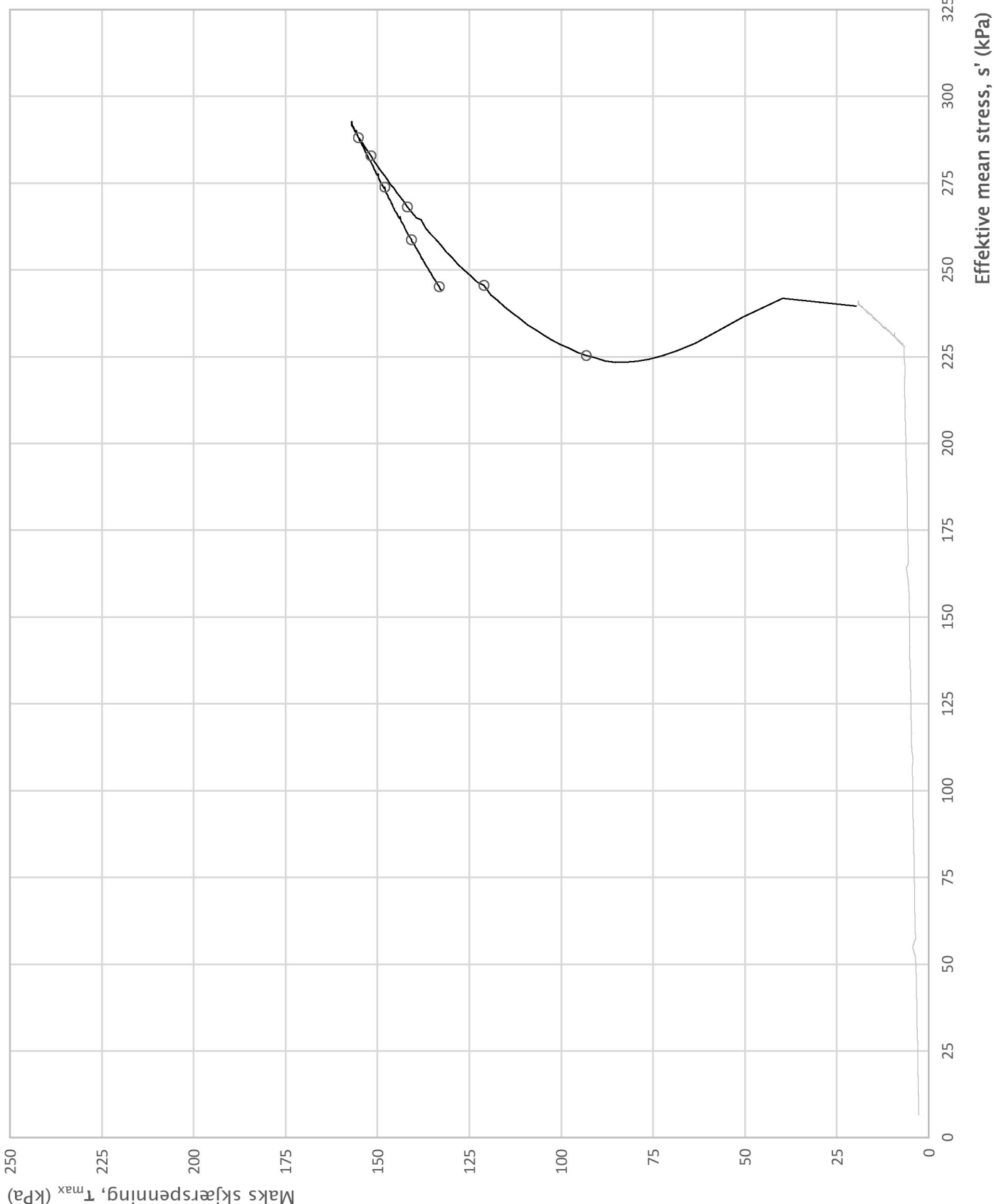
Prosjekt <b>Kregnesbakken</b>	Prosjektnummer: 10206445-03. Rapportnummer: RIG-RAP-001_rev00			Borhull <b>5</b>
Innhold Spenningssti i skjærfase, $s'-\tau$ plott (MIT)				Dybde (m) <b>4,50</b>
<b>Multiconsult</b>	Utført mash Kontor Trondheim	Kontrollert vt Dato utført 11.09.2019	Godkjent TOJ Revisjon 0 Rev. dato 16.09.2019	Forsøkstype <b>CAUc</b> RIG-TEG <b>451.3</b>



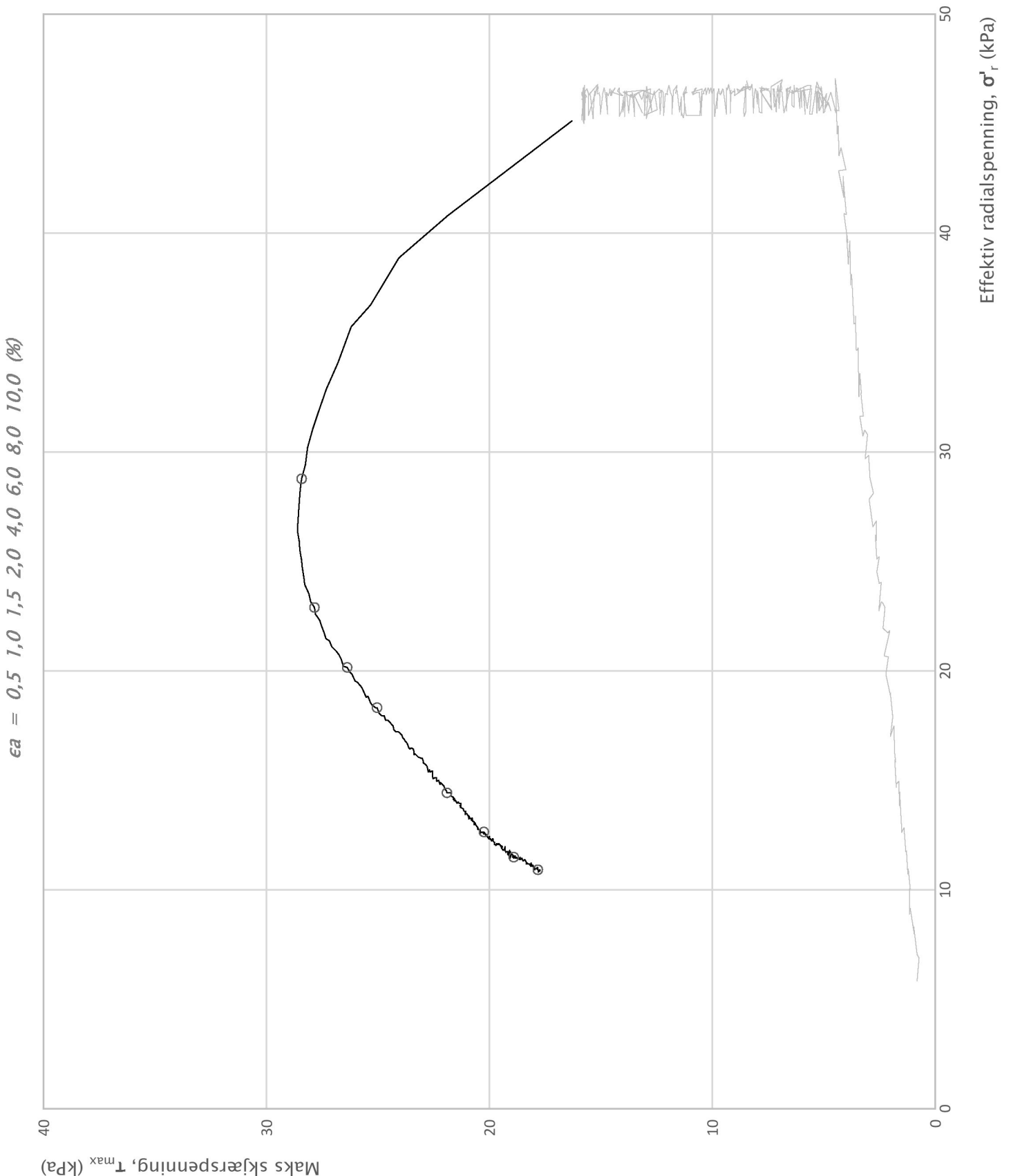
Prosjekt <b>Kregnesbakken</b>	Prosjektnummer: 10206445-03. Rapportnummer: RIG-RAP-001_rev00			Borhull <b>5</b>
Innhold Spenningssti i skjærfase, $\sigma'_r-\tau$ plott (NTNU)				Dybde (m) <b>16,00</b>
<b>Multiconsult</b>	Utført mash	Kontrollert vt	Godkjent TOJ	Forsøkstype <b>CAUc</b>
	Kontor Trondheim	Dato utført 13.09.2019	Revisjon 0	RIG-TEG <b>452.1</b>
				Rev. dato 16.09.2019



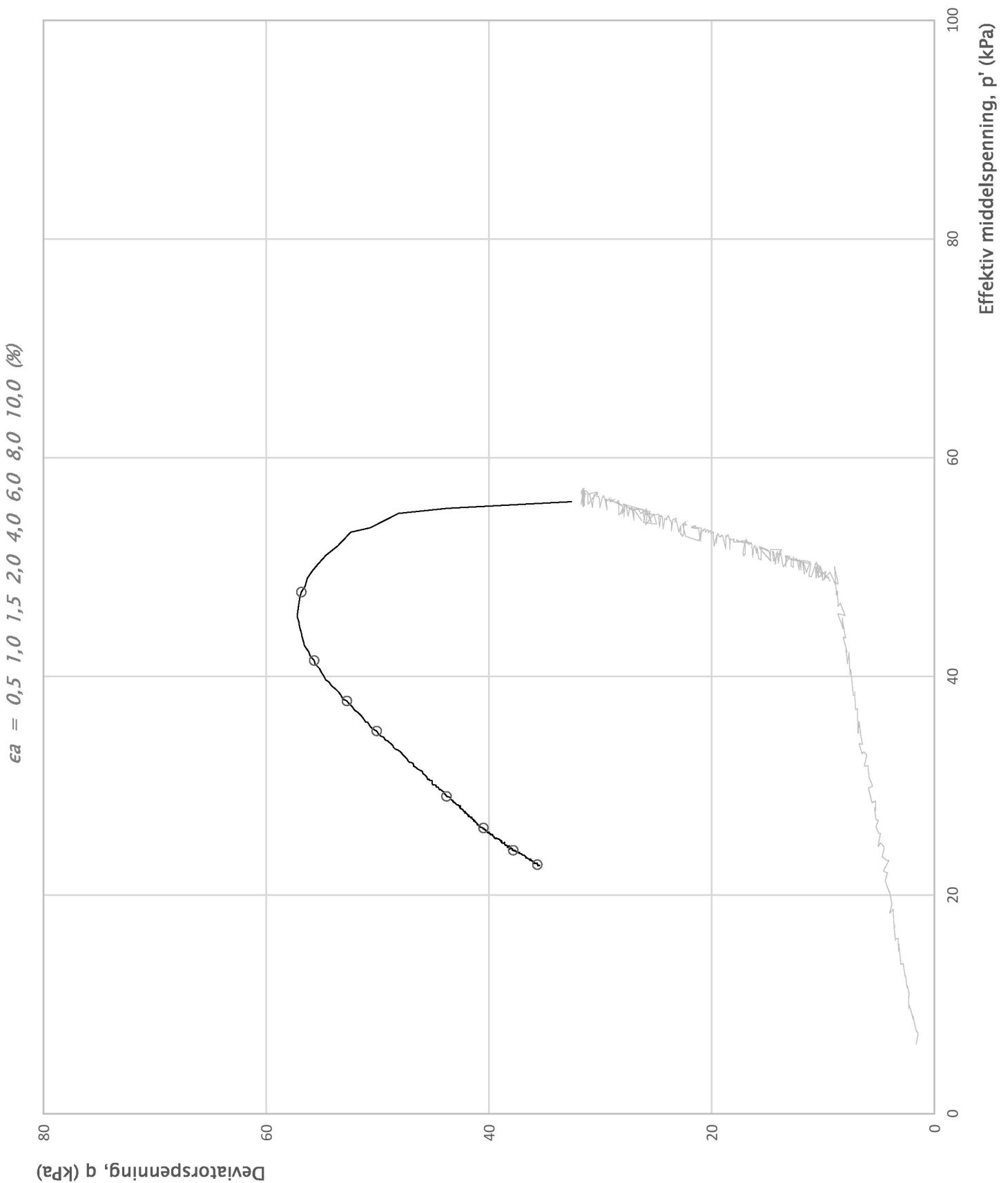
Prosjekt <b>Kregnesbakken</b>	Prosjektnummer: 10206445-03. Rapportnummer: RIG-RAP-001_rev00			Borhull <b>5</b>
Innhold Spenningssti i skjærfase, $p'$ - $q$ plott				Dybde (m) <b>16,00</b>
<b>Multiconsult</b>	Utført mash	Kontrollert vt	Godkjent TOJ	Forsøkstype <b>CAUc</b>
	Kontor Trondheim	Dato utført 13.09.2019	Revisjon 0	RIG-TEG <b>452.2</b>
				Rev. dato 16.09.2019



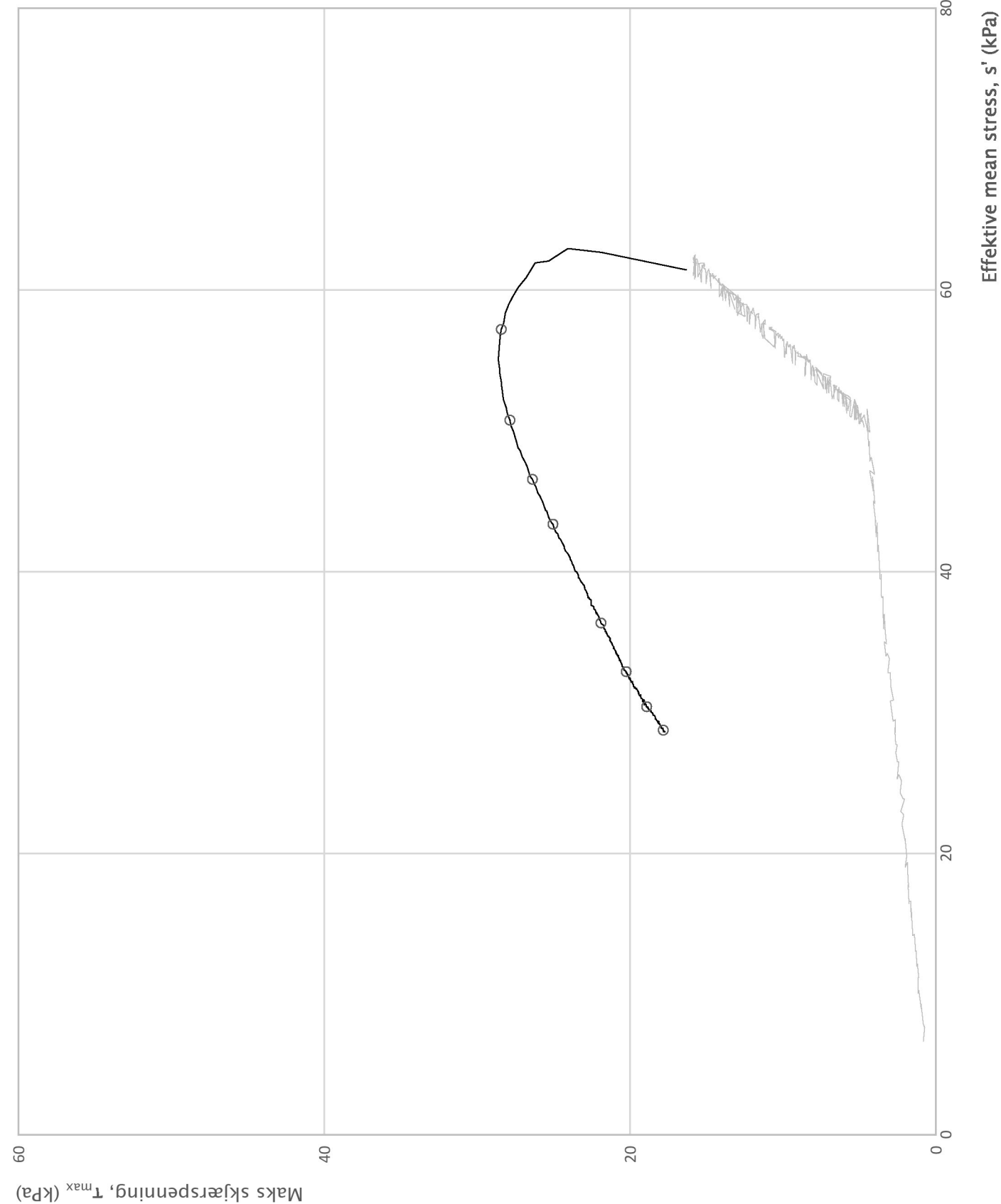
Prosjekt <b>Kregnesbakken</b>	Prosjektnummer: 10206445-03. Rapportnummer: RIG-RAP-001_rev00			Borhull <b>5</b>
Innhold Spenningssti i skjærfase, $s'-\tau$ plott (MIT)				Dybde (m) <b>16,00</b>
<b>Multiconsult</b>	Utført mash Kontor Trondheim	Kontrollert vt Dato utført 13.09.2019	Godkjent TOJ Revisjon 0 Rev. dato 16.09.2019	Forsøkstype <b>CAUc</b> RIG-TEG <b>452.3</b>



Prosjekt <b>Kregnesbakken</b>	Prosjektnummer: 10206445-03. Rapportnummer: RIG-RAP-001_rev00			Borhull <b>9</b>
Innhold				Dybde (m)
Spenningssti i skjærfase, $\sigma'₀-\tau$ plott (NTNU)				<b>4,42</b>
<b>Multiconsult</b>	Utført mash	Kontrollert vt	Godkjent TOJ	Forsøkstype <b>CAUc</b>
	Kontor Trondheim	Dato utført 13.09.2019	Revisjon 0	RIG-TEG <b>453.1</b>
				Rev. dato 16.09.2019



Prosjekt <b>Kregnesbakken</b>	Prosjektnummer: 10206445-03. Rapportnummer: RIG-RAP-001_rev00			Borhull <b>9</b>
Innhold Spenningssti i skjærfase, $p'$ - $q$ plott				Dybde (m) <b>4,42</b>
<b>Multiconsult</b>	Utført mash	Kontrollert vt	Godkjent TOJ	Forsøkstype <b>CAUc</b>
	Kontor Trondheim	Dato utført 13.09.2019	Revisjon 0	RIG-TEG <b>453.2</b>
Rev. dato 16.09.2019				



Prosjekt <b>Kregnesbakken</b>	Prosjektnummer: 10206445-03. Rapportnummer: RIG-RAP-001_rev00			Borhull <b>9</b>
Innhold				Dybde (m)
Spenningssti i skjærfase, $s'-\tau$ plott (MIT)				<b>4,42</b>
<b>Multiconsult</b>	Utført mash	Kontrollert vt	Godkjent TOJ	Forsøkstype <b>CAUc</b>
	Kontor Trondheim	Dato utført 13.09.2019	Revisjon 0	RIG-TEG <b>453.3</b>
				Rev. dato 16.09.2019

## Sonde og utførelse

Sonenummer	4672	Boreleder	Jørgen
Type sonde	Nova	Temperaturendring (°C)	13.2
Kalibreringsdato	26.03.2019	Maks helning (°)	5.6
Dato sondering	22.08.2019	Maks avstand målinger (m)	0.02
Filtertype	Porøst filter		

### Kalibreringsdata

	Spissmotstand	Sidefriksjon	Poretrykk
Maksimal last (MPa)	50	0.5	2.5
Måleområde (MPa)	50	0.5	2
Skaleringsfaktor	1276	3800	3456
Oppløsning 2 <sup>12</sup> bit (kPa)	-	-	-
Oppløsning 2 <sup>18</sup> bit (kPa)	0.5979	0.01	0.0221
Arealforhold	0.8440	0.0020	
Maks ubelastet temp. effekt (kPa)	9.48	0.3	2.228
Temperaturområde (°C)	40		

### Nullpunktsskontroll

	NA	NB	NC
Registrert før sondering (kPa)	7390.8	123.5	268.0
Registrert etter sondering (kPa)	20.3	-0.5	1.3
Avvik under sondering(kPa)	20.3	0.5	1.3
Maksimal temperatureffekt (kPa)	3.1	0.1	0.7
Maksverdi under sondering (kPa)	16089.0	248.6	2623.5

### Vurdering av anvendelsesklasse ihht. ISO 22476-1:2012

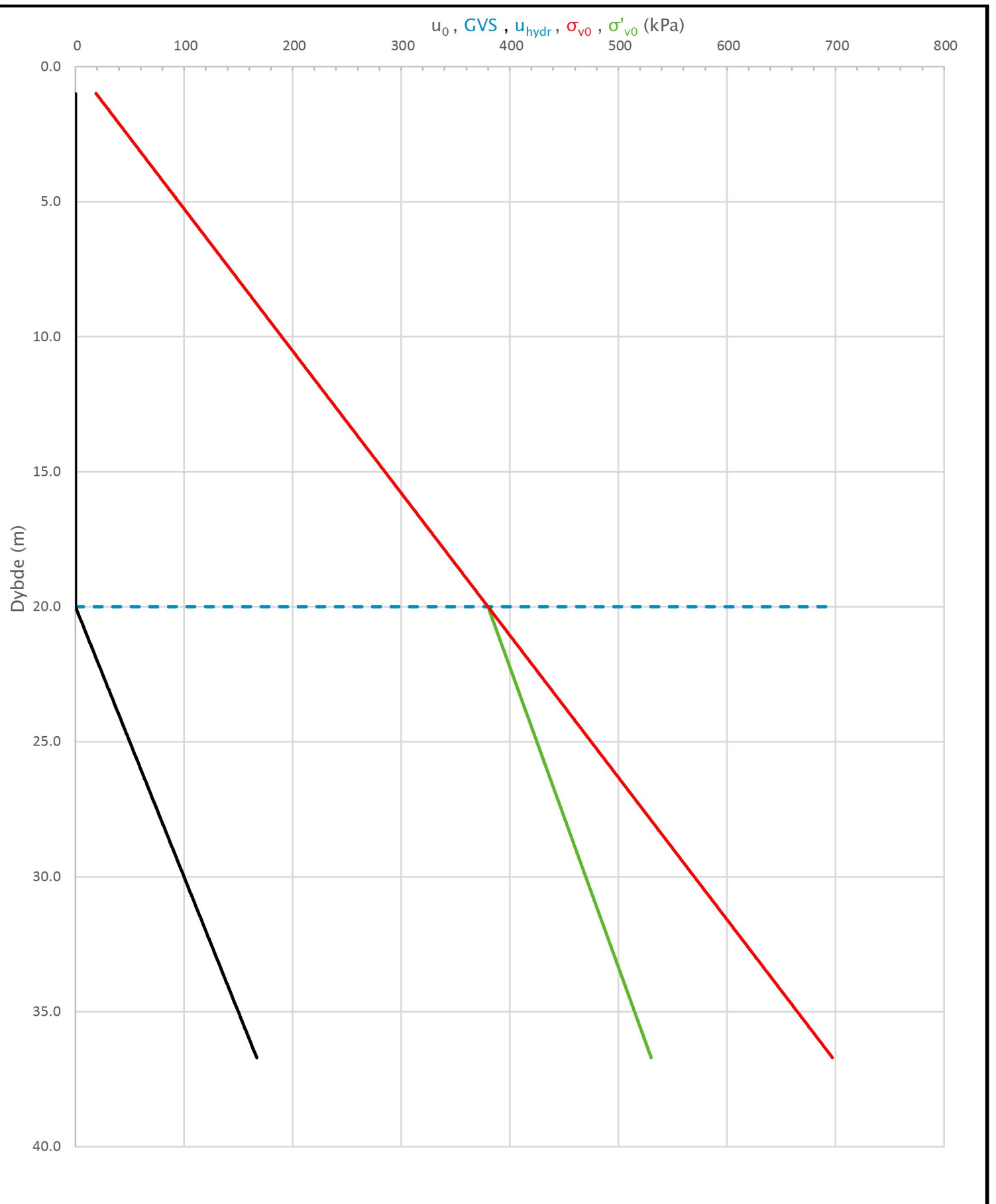
	Spissmotstand		Sidefriksjon		Poretrykk	
	(kPa)	(%)	(kPa)	(%)	(kPa)	(%)
Samlet nøyaktighet (kPa)	24.0	0.1	0.6	0.2	2.1	0.1
Tillatt nøyaktighet klasse 1	35	5	5	10	10	2
Tillatt nøyaktighet klasse 2	100	5	15	15	25	3
Tillatt nøyaktighet klasse 3	200	5	25	15	50	5
Tillatt nøyaktighet klasse 4	500	5	50	20		
Anvendelsesklasse	1	1	1	1	1	1
Anvendelsesklasse måleintervall	1					
Anvendelsesklasse	1					

### Måleverdier under kapasitet/krav

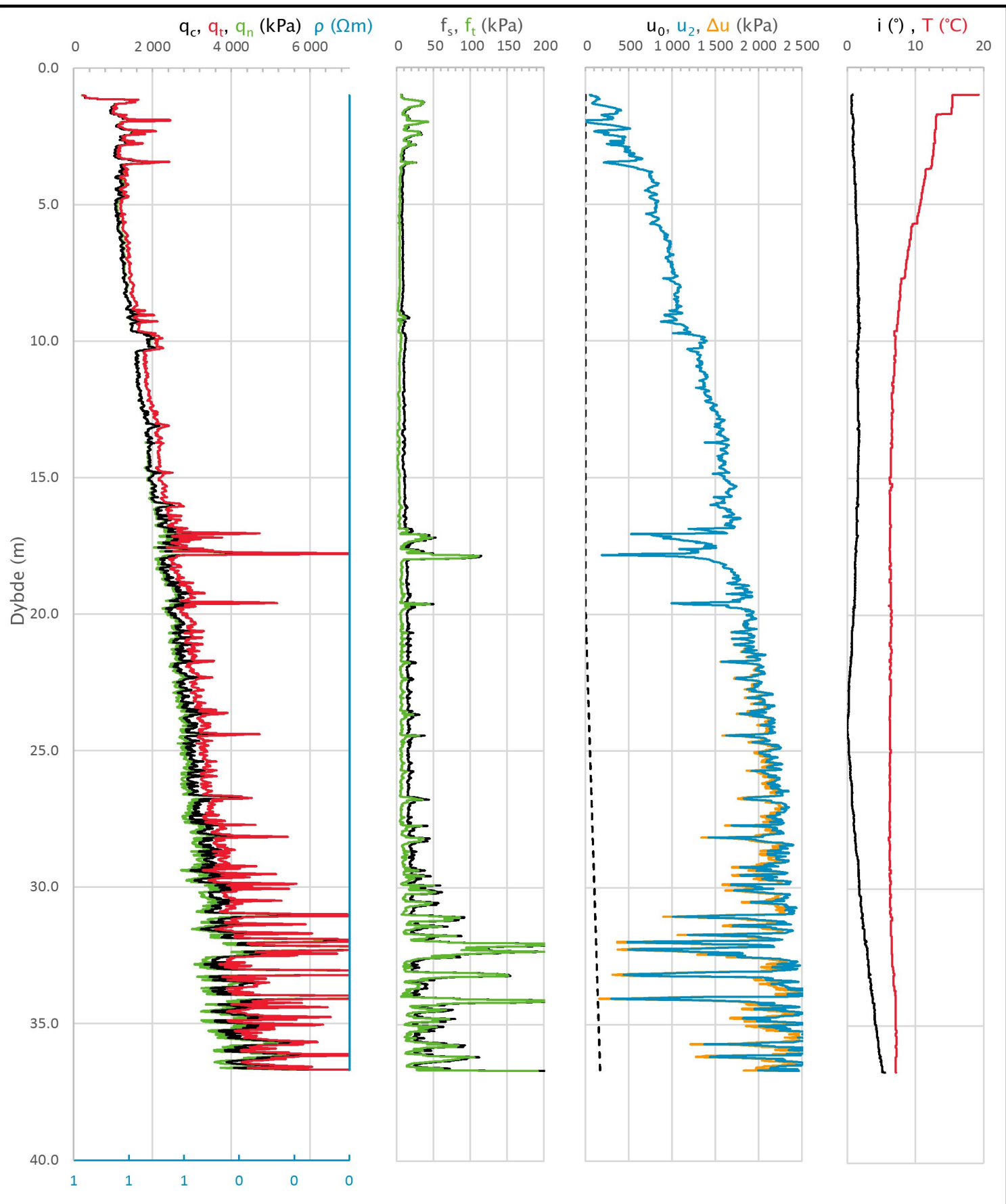
Spissmotstand	Sidefriksjon	Poretrykk	Helning	Temperatur
OK	OK	Ikke OK	OK	OK

Kommentarer:

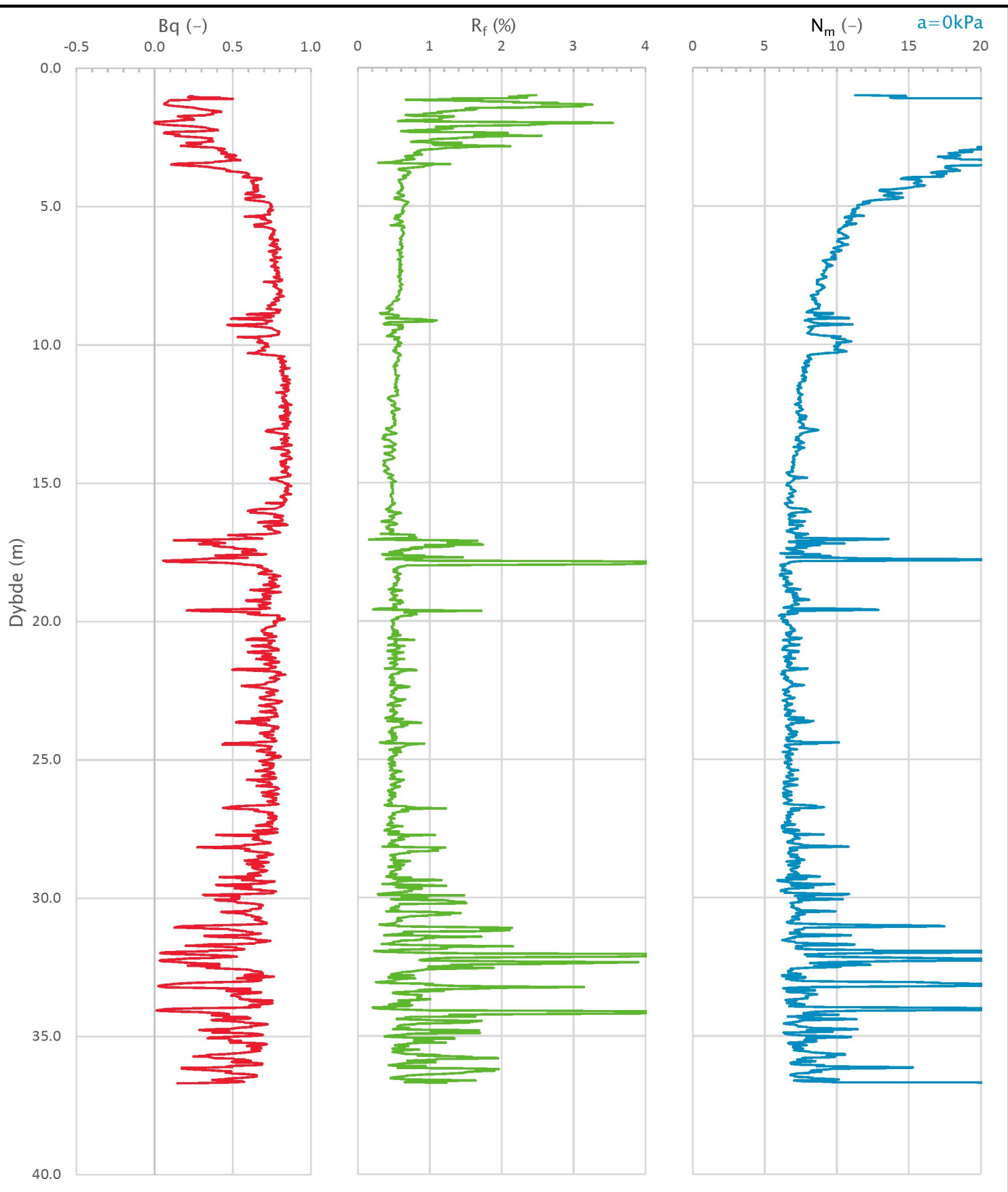
Prosjekt <b>Kregnesbakken</b>	Prosjektnummer: 10206445 Rapportnummer: 1			Borhull	Kote +60.486 <b>3</b>
Innhold				Sondenummer	
Dokumentasjon av utstyr og målenøyaktighet					<b>4672</b>
<b>Multiconsult</b>	Tegnet OYA	Kontrollert TOJ	Godkjent KONK	Anvend.klasse	1
	Utførende Multiconsult	Dato sondering 22.08.2019	Revisjon 0	RIG-TEG	500.1
			Rev. dato 22.11.2019		



Prosjekt <b>Kregnesbakken</b>	Prosjektnummer: 10206445 Rapportnummer: 1			Borhull 3	Kote +60.486
Innhold In-situ poretrykk, total- og effektiv vertikalspenning i beregninger				Sondenummer 4672	
<b>Multiconsult</b>	Tegnet OYA	Kontrollert TOJ	Godkjent KONK	Anvend.klasse 1	
	Utførende Multiconsult	Date sondering 22.08.2019	Revisjon 0	RIG-TEG 500.2	Rev. dato 22.11.2019



Prosjekt <b>Kregnesbakken</b>	Prosjektnummer: 10206445	Rapportnummer: 1	Borhull	Kote +60.486
Innhold			Sondenummer	
Måledata og korrigerte måleverdier				<b>4672</b>
<b>Multiconsult</b>	Tegnet OYA	Kontrollert TOJ	Godkjent KONK	Anvend.klasse <b>1</b>
	Utførende Multiconsult	Date sondering 22.08.2019	Revisjon <b>0</b>	RIG-TEG <b>500.3</b>
		Rev. dato 22.11.2019		



Prosjekt <b>Kregnesbakken</b>	Prosjektnummer: 10206445	Rapportnummer: 1	Borhull	Kote +60.486 3
Innhold			Sondenummer	
Avleddede dimensjonsløse forhold				4672
<b>Multiconsult</b>	Tegnet OYA	Kontrollert TOJ	Godkjent KONK	Anvend.klasse 1
	Utførende Multiconsult	Dato sondering 22.08.2019	Revisjon 0	RIG-TEG 500.4
			Rev. dato 22.11.2019	

## Sonde og utførelse

Sonenummer	4672	Boreleder	Jørgen
Type sonde	Nova	Temperaturendring (°C)	9.3
Kalibreringsdato	26.03.2019	Maks helning (°)	2.3
Dato sondering	22.08.2019	Maks avstand målinger (m)	0.02
Filtertype	Porøst filter		

### Kalibreringsdata

	Spissmotstand	Sidefriksjon	Poretrykk
Maksimal last (MPa)	50	0.5	2.5
Måleområde (MPa)	50	0.5	2
Skaleringsfaktor	1276	3800	3456
Oppløsning 2 <sup>12</sup> bit (kPa)	-	-	-
Oppløsning 2 <sup>18</sup> bit (kPa)	0.5979	0.01	0.0221
Arealforhold	0.8440	0.0020	
Maks ubelastet temp. effekt (kPa)	9.48	0.3	2.228
Temperaturområde (°C)	40		

### Nullpunktsskontroll

	NA	NB	NC
Registrert før sondering (kPa)	7401.5	123.4	267.0
Registrert etter sondering (kPa)	-19.7	-0.3	-0.7
Avvik under sondering(kPa)	19.7	0.3	0.7
Maksimal temperatureffekt (kPa)	2.2	0.1	0.5
Maksverdi under sondering (kPa)	10136.0	197.1	2216.8

### Vurdering av anvendelsesklasse ihht. ISO 22476-1:2012

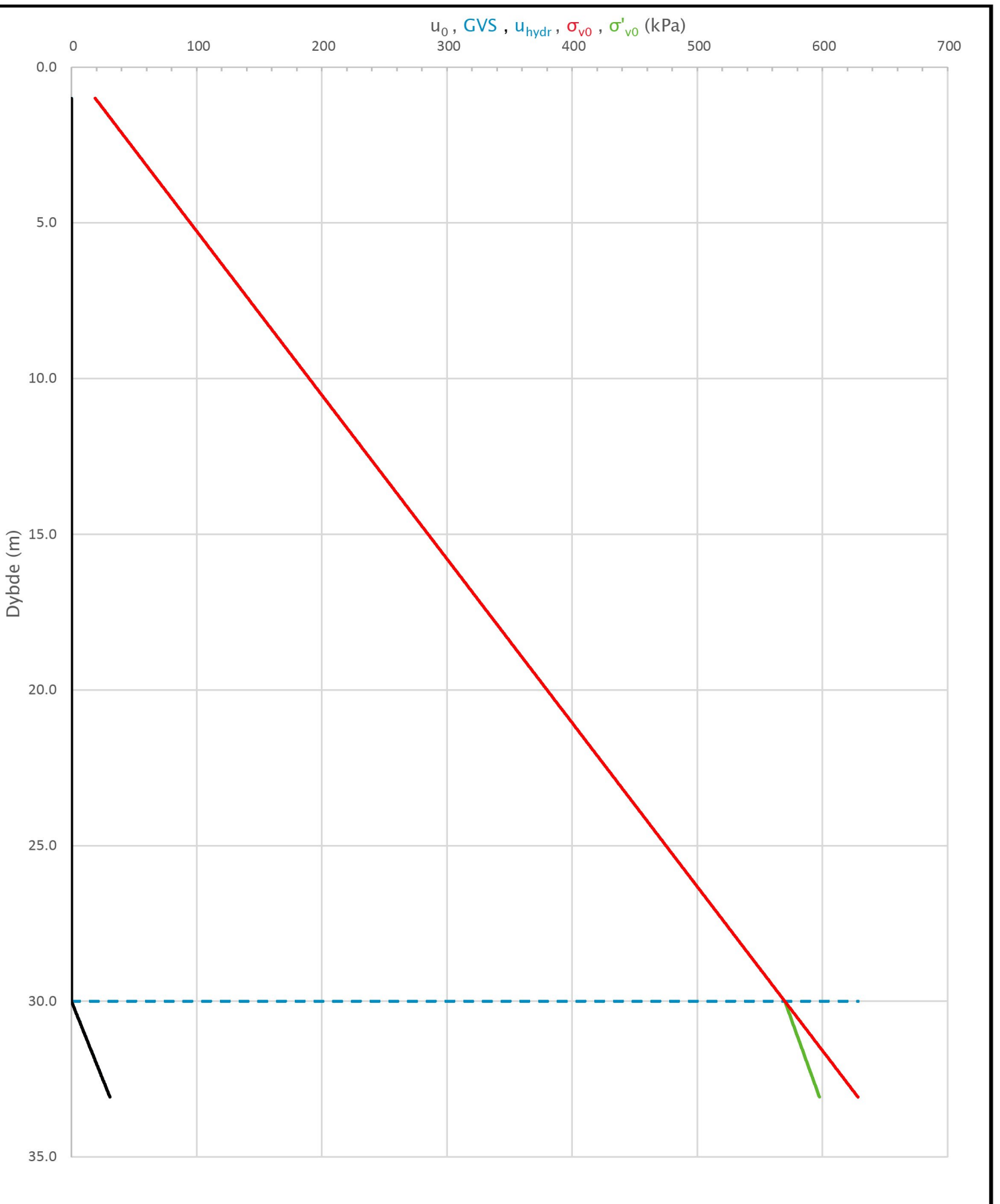
	Spissmotstand		Sidefriksjon		Poretrykk	
	(kPa)	(%)	(kPa)	(%)	(kPa)	(%)
Samlet nøyaktighet (kPa)	22.5	0.2	0.4	0.2	1.2	0.1
Tillatt nøyaktighet klasse 1	35	5	5	10	10	2
Tillatt nøyaktighet klasse 2	100	5	15	15	25	3
Tillatt nøyaktighet klasse 3	200	5	25	15	50	5
Tillatt nøyaktighet klasse 4	500	5	50	20		
Anvendelsesklasse	1	1	1	1	1	1
Anvendelsesklasse måleintervall	1					
Anvendelsesklasse	1					

### Måleverdier under kapasitet/krav

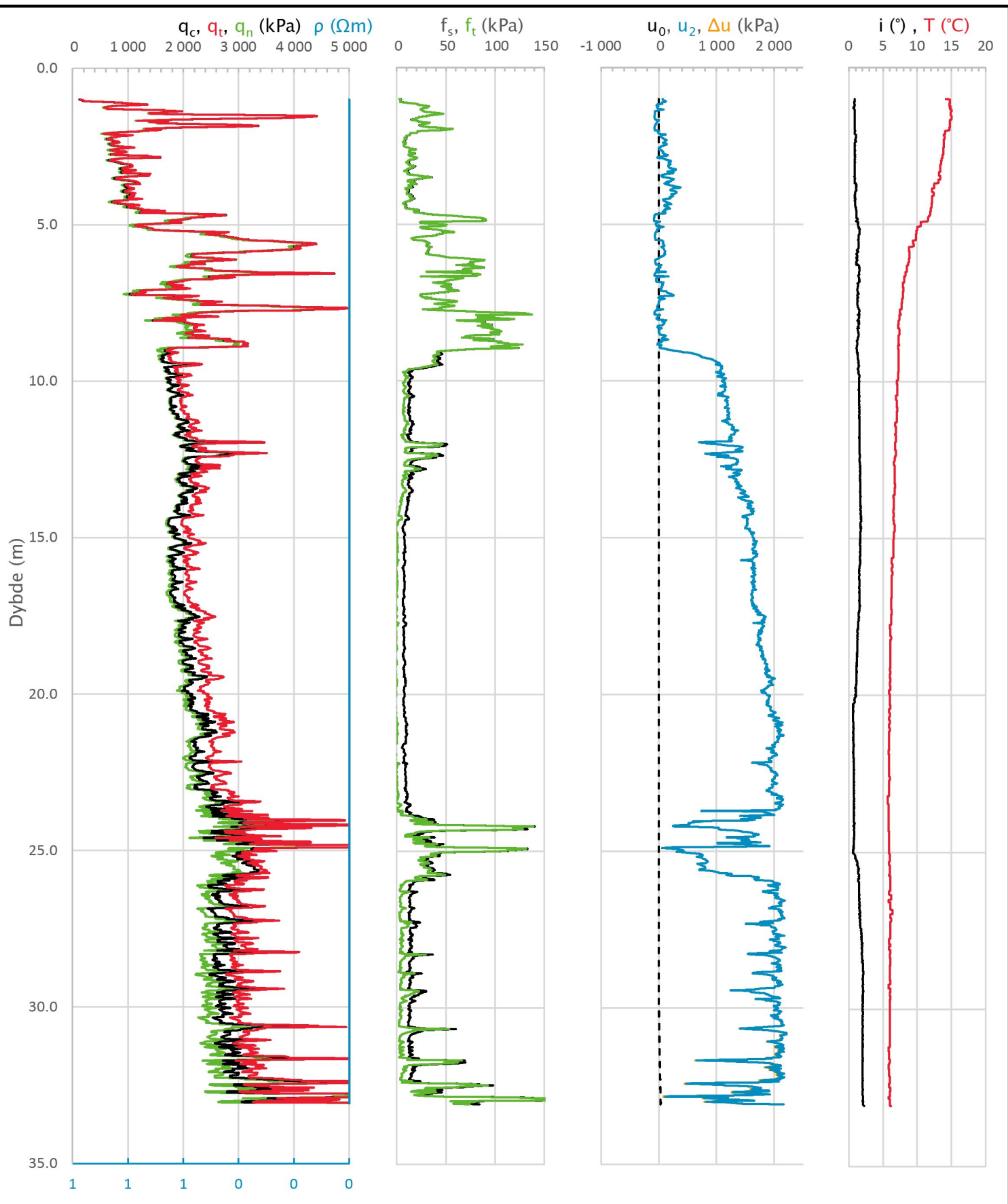
Spissmotstand	Sidefriksjon	Poretrykk	Helning	Temperatur
OK	OK	OK	OK	OK

Kommentarer:

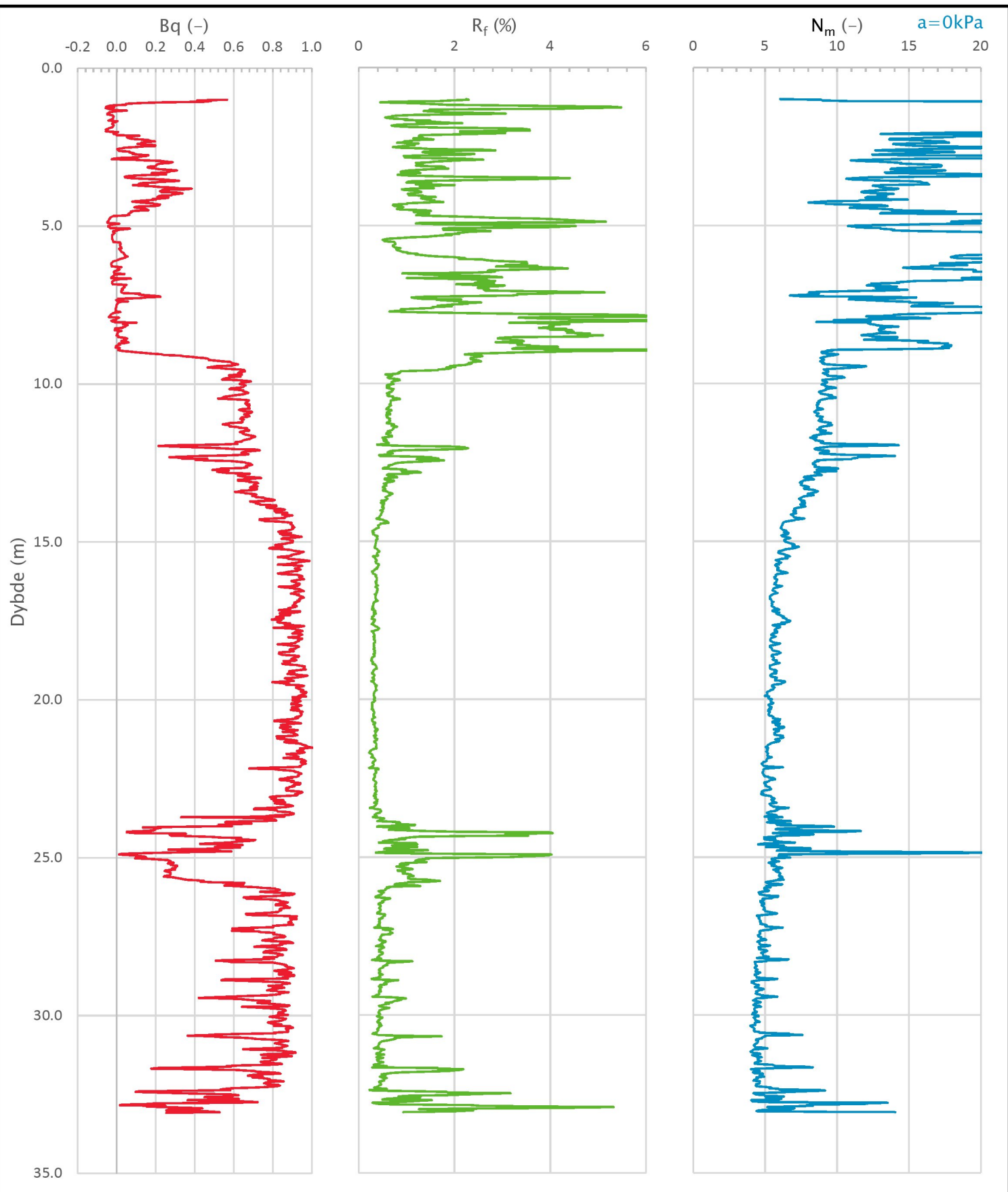
Prosjekt <b>Kregnesbakken</b>	Prosjektnummer: 10206445 Rapportnummer: 1	Borhull	Kote +72.336 <b>4</b>
Innhold	Dokumentasjon av utstyr og målenøyaktighet		
<b>Multiconsult</b>	Tegnet OYA	Kontrollert TOJ	Godkjent KONK
	Utførende Multiconsult	Dato sondering 22.08.2019	Revisjon <b>0</b> Rev. dato <b>22.11.2019</b>
			Anvend.klasse <b>1</b>
			RIG-TEG <b>501.1</b>



Prosjekt <b>Kregnesbakken</b>	Prosjektnummer: 10206445	Rapportnummer: 1	Borhull	Kote +72.336 <b>4</b>
Innhold In-situ poretrykk, total- og effektiv vertikalspenning i beregninger			Sondenummer	
	Tegnet OYA	Kontrollert TOJ	Godkjent KONK	Anvend.klasse <b>1</b>
Multiconsult	Utførende Multiconsult	Dato sondering 22.08.2019	Revisjon 0	RIG-TEG <b>501.2</b>



Prosjekt <b>Kregnesbakken</b>	Prosjektnummer: 10206445	Rapportnummer: 1	Borhull	Kote +72.336
Innhold			Sondenummer	
Måledata og korrigerte måleverdier				<b>4672</b>
<b>Multiconsult</b>	Tegnet OYA	Kontrollert TOJ	Godkjent KONK	Anvend.klasse <b>1</b>
	Utførende Multiconsult	Dato sondering 22.08.2019	Revisjon <b>0</b>	RIG-TEG <b>501.3</b>
			Rev. dato <b>22.11.2019</b>	



Prosjekt <b>Kregnesbakken</b>	Prosjektnummer: 10206445	Rapportnummer: 1	Borhull	Kote +72.336
Innhold			Sondenummer	4
Avleddede dimensjonsløse forhold				4672
<b>Multiconsult</b>	Tegnet OYA	Kontrollert TOJ	Godkjent KONK	Anvend.klasse 1
	Utførende Multiconsult	Dato sondering 22.08.2019	Revisjon 0	RIG-TEG 501.4
			Rev. dato 22.11.2019	

## Sonde og utførelse

Sonenummer	4672	Boreleder	Jørgen
Type sonde	Nova	Temperaturendring (°C)	5.3
Kalibreringsdato	26.03.2019	Maks helning (°)	8.1
Dato sondering	22.08.2019	Maks avstand målinger (m)	0.02
Filtertype	Porøst filter		

### Kalibreringsdata

	Spissmotstand	Sidefriksjon	Poretrykk
Maksimal last (MPa)	50	0.5	2.5
Måleområde (MPa)	50	0.5	2
Skaleringsfaktor	1276	3800	3456
Oppløsning 2 <sup>12</sup> bit (kPa)	-	-	-
Oppløsning 2 <sup>18</sup> bit (kPa)	0.5979	0.01	0.0221
Arealforhold	0.8440	0.0020	
Maks ubelastet temp. effekt (kPa)	9.48	0.3	2.228
Temperaturområde (°C)	40		

### Nullpunktsskontroll

	NA	NB	NC
Registrert før sondering (kPa)	7400.3	123.9	266.8
Registrert etter sondering (kPa)	-14.3	-0.2	-1.4
Avvik under sondering(kPa)	14.3	0.2	1.4
Maksimal temperatureffekt (kPa)	1.3	0.0	0.3
Maksverdi under sondering (kPa)	8657.6	145.8	1837.8

### Vurdering av anvendelsesklasse ihht. ISO 22476-1:2012

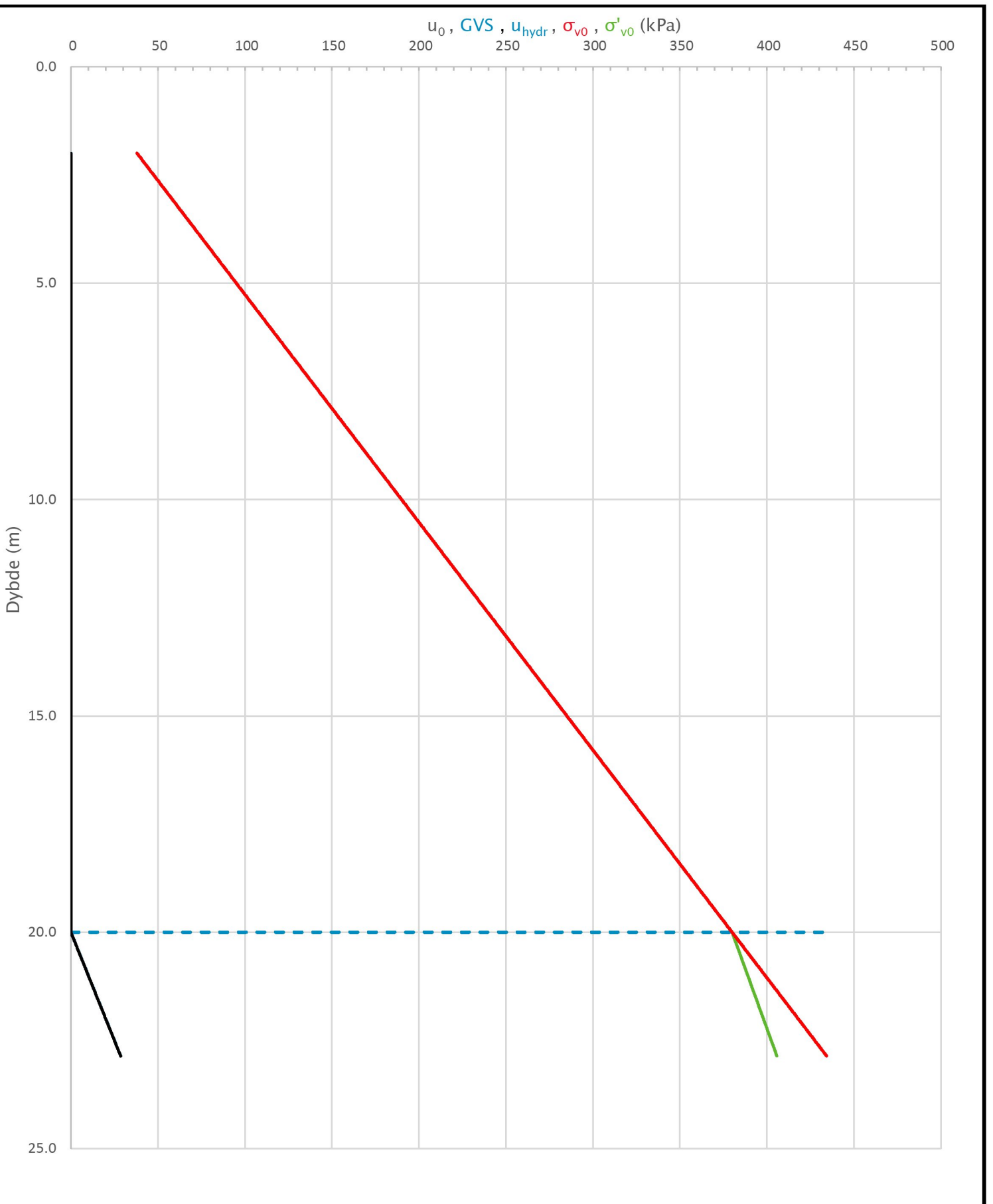
	Spissmotstand		Sidefriksjon		Poretrykk	
	(kPa)	(%)	(kPa)	(%)	(kPa)	(%)
Samlet nøyaktighet (kPa)	16.2	0.2	0.2	0.2	1.7	0.1
Tillatt nøyaktighet klasse 1	35	5	5	10	10	2
Tillatt nøyaktighet klasse 2	100	5	15	15	25	3
Tillatt nøyaktighet klasse 3	200	5	25	15	50	5
Tillatt nøyaktighet klasse 4	500	5	50	20		
Anvendelsesklasse	1	1	1	1	1	1
Anvendelsesklasse måleintervall	1					
Anvendelsesklasse	1					

### Måleverdier under kapasitet/krav

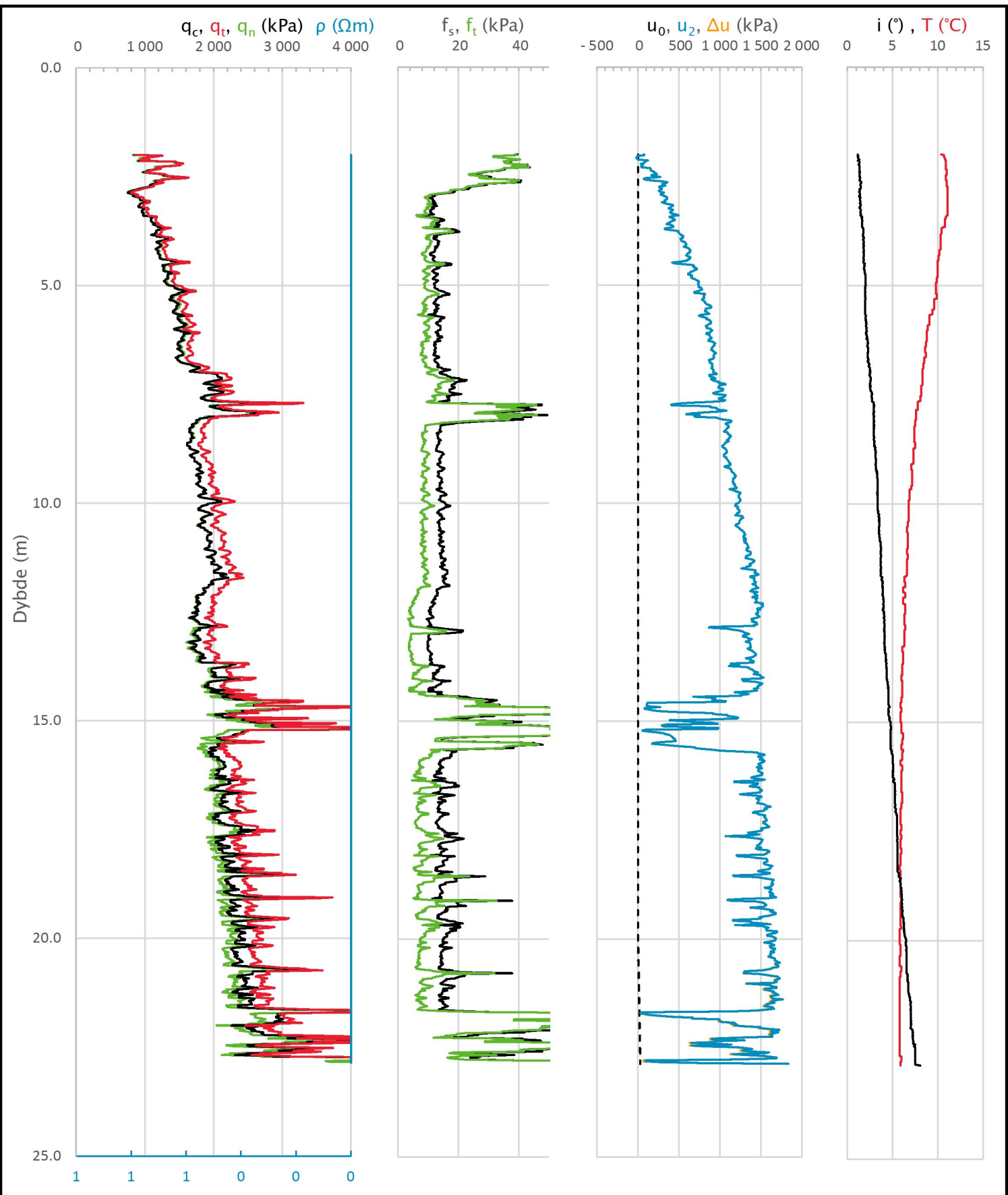
Spissmotstand	Sidefriksjon	Poretrykk	Helning	Temperatur
OK	OK	OK	OK	OK

Kommentarer:

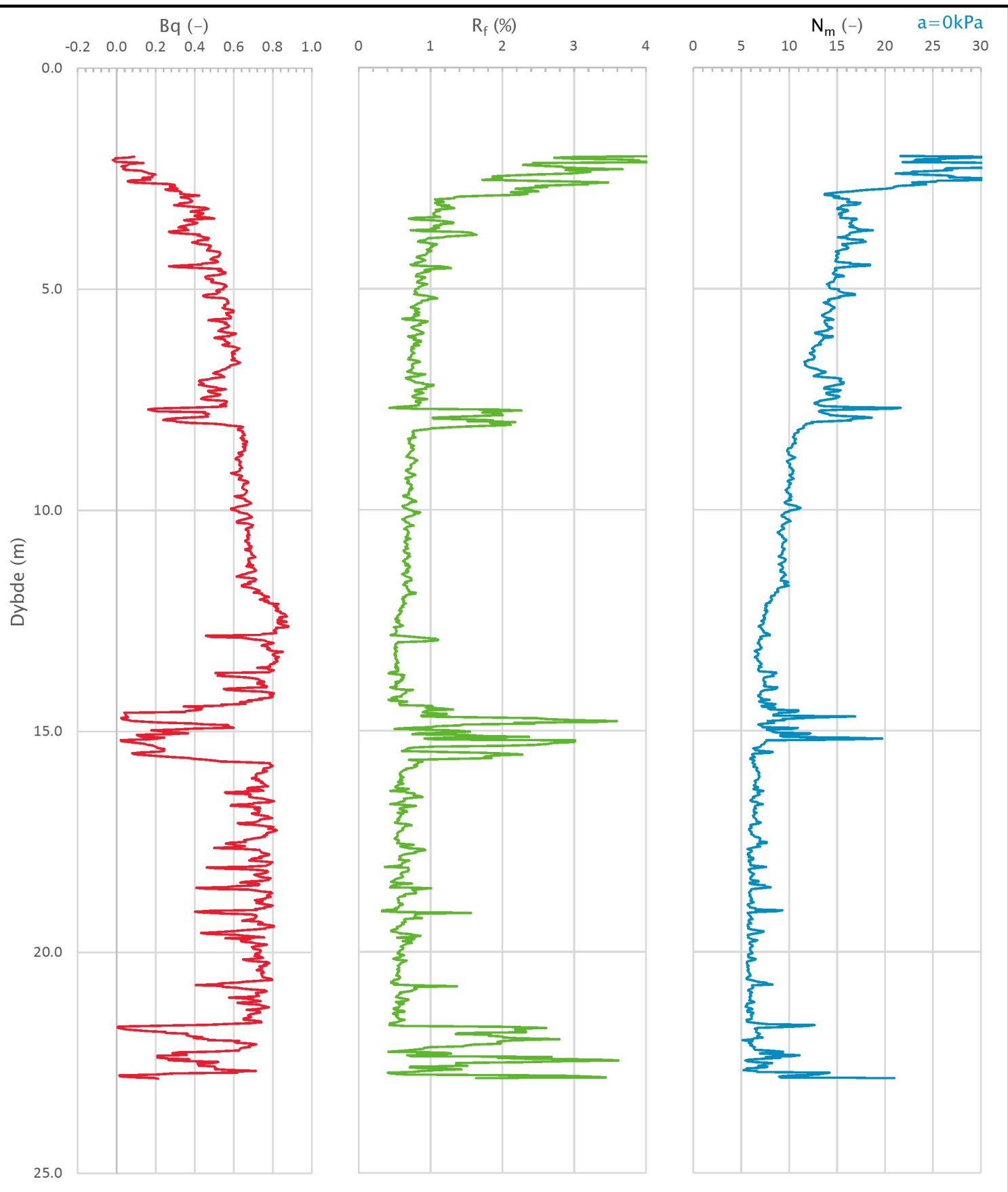
Prosjekt <b>Kregnesbakken</b>	Prosjektnummer: 10206445 Rapportnummer: 1			Borhull	Kote +79.458 <b>5</b>
Innhold				Sondenummer	
Dokumentasjon av utstyr og målenøyaktighet					<b>4672</b>
<b>Multiconsult</b>	Tegnet OYA	Kontrollert TOJ	Godkjent KONK	Anvend.klasse	1
	Utførende Multiconsult	Dato sondering 22.08.2019	Revisjon 0	RIG-TEG	502.1
		Rev. dato	22.11.2019		



Prosjekt <b>Kregnesbakken</b>	Prosjektnummer: 10206445	Rapportnummer: 1	Borhull 5	Kote +79.458
Innhold In-situ poretrykk, total- og effektiv vertikalspenning i beregninger			Sondenummer 4672	
Multiconsult	Tegnet OYA	Kontrollert TOJ	Godkjent KONK	Anvend.klasse 1
	Utførende Multiconsult	Dato sondering 22.08.2019	Revisjon 0 Rev. dato 22.11.2019	RIG-TEG 502.2



Prosjekt <b>Kregnesbakken</b>	Prosjektnummer: 10206445	Rapportnummer: 1	Borhull 5	Kote +79.458
Innhold			Sondenummer	
Måledata og korrigerte måleverdier			4672	
<b>Multiconsult</b>	Tegnet OYA	Kontrollert TOJ	Godkjent KONK	Anvend.klasse 1
	Utførende Multiconsult	Datei sondering 22.08.2019	Revisjon 0	RIG-TEG 502.3
			Rev. dato 22.11.2019	



Prosjekt <b>Kregnesbakken</b>	Prosjektnummer: 10206445	Rapportnummer: 1	Borhull 5	Kote +79.458
Innhold Avleddede dimensjonsløse forhold			Sondenummer	4672
<b>Multiconsult</b>	Tegnet OYA	Kontrollert TOJ	Godkjent KONK	Anvend.klasse 1
	Utførende Multiconsult	Dato sondering 22.08.2019	Revisjon 0 Rev. dato 22.11.2019	RIG-TEG 502.4

## Sonde og utførelse

Sonenummer	4672	Boreleder	Jørgen
Type sonde	Nova	Temperaturendring (°C)	7.7
Kalibreringsdato	26.03.2019	Maks helning (°)	3.1
Dato sondering	22.08.2019	Maks avstand målinger (m)	0.02
Filtertype	Porøst filter		

### Kalibreringsdata

	Spissmotstand	Sidefriksjon	Poretrykk
Maksimal last (MPa)	50	0.5	2.5
Måleområde (MPa)	50	0.5	2
Skaleringsfaktor	1276	3800	3456
Oppløsning 2 <sup>12</sup> bit (kPa)	-	-	-
Oppløsning 2 <sup>18</sup> bit (kPa)	0.5979	0.01	0.0221
Arealforhold	0.8440	0.0020	
Maks ubelastet temp. effekt (kPa)	9.48	0.3	2.228
Temperaturområde (°C)	40		

### Nullpunktsskontroll

	NA	NB	NC
Registrert før sondering (kPa)	7407.5	123.3	266.8
Registrert etter sondering (kPa)	-17.3	-0.1	-0.2
Avvik under sondering(kPa)	17.3	0.1	0.2
Maksimal temperatureffekt (kPa)	1.8	0.1	0.4
Maksverdi under sondering (kPa)	6276.9	107.8	984.3

### Vurdering av anvendelsesklasse ihht. ISO 22476-1:2012

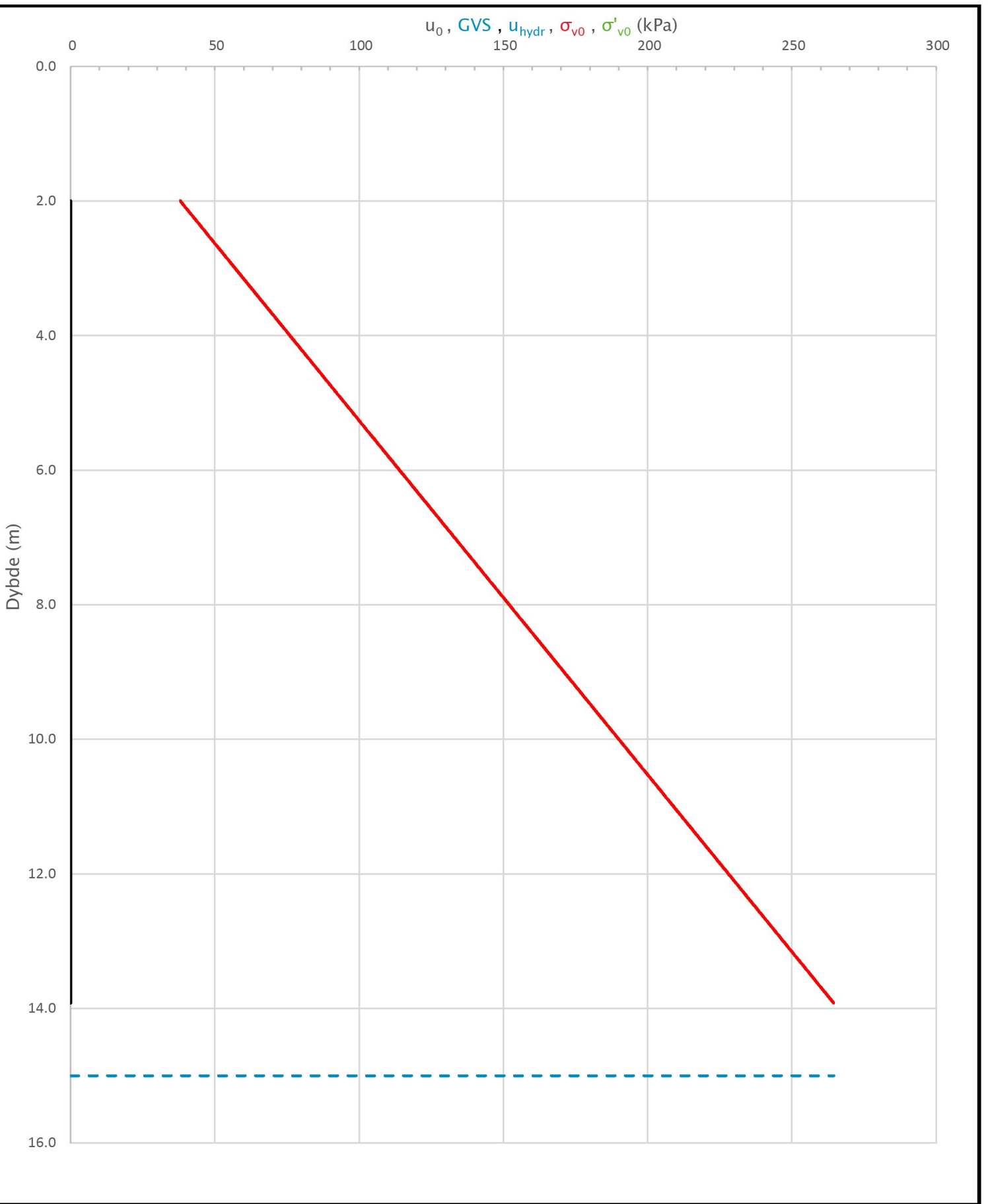
	Spissmotstand		Sidefriksjon		Poretrykk	
	(kPa)	(%)	(kPa)	(%)	(kPa)	(%)
Samlet nøyaktighet (kPa)	19.7	0.3	0.2	0.2	0.7	0.1
Tillatt nøyaktighet klasse 1	35	5	5	10	10	2
Tillatt nøyaktighet klasse 2	100	5	15	15	25	3
Tillatt nøyaktighet klasse 3	200	5	25	15	50	5
Tillatt nøyaktighet klasse 4	500	5	50	20		
Anvendelsesklasse	1	1	1	1	1	1
Anvendelsesklasse måleintervall	1					
Anvendelsesklasse	1					

### Måleverdier under kapasitet/krav

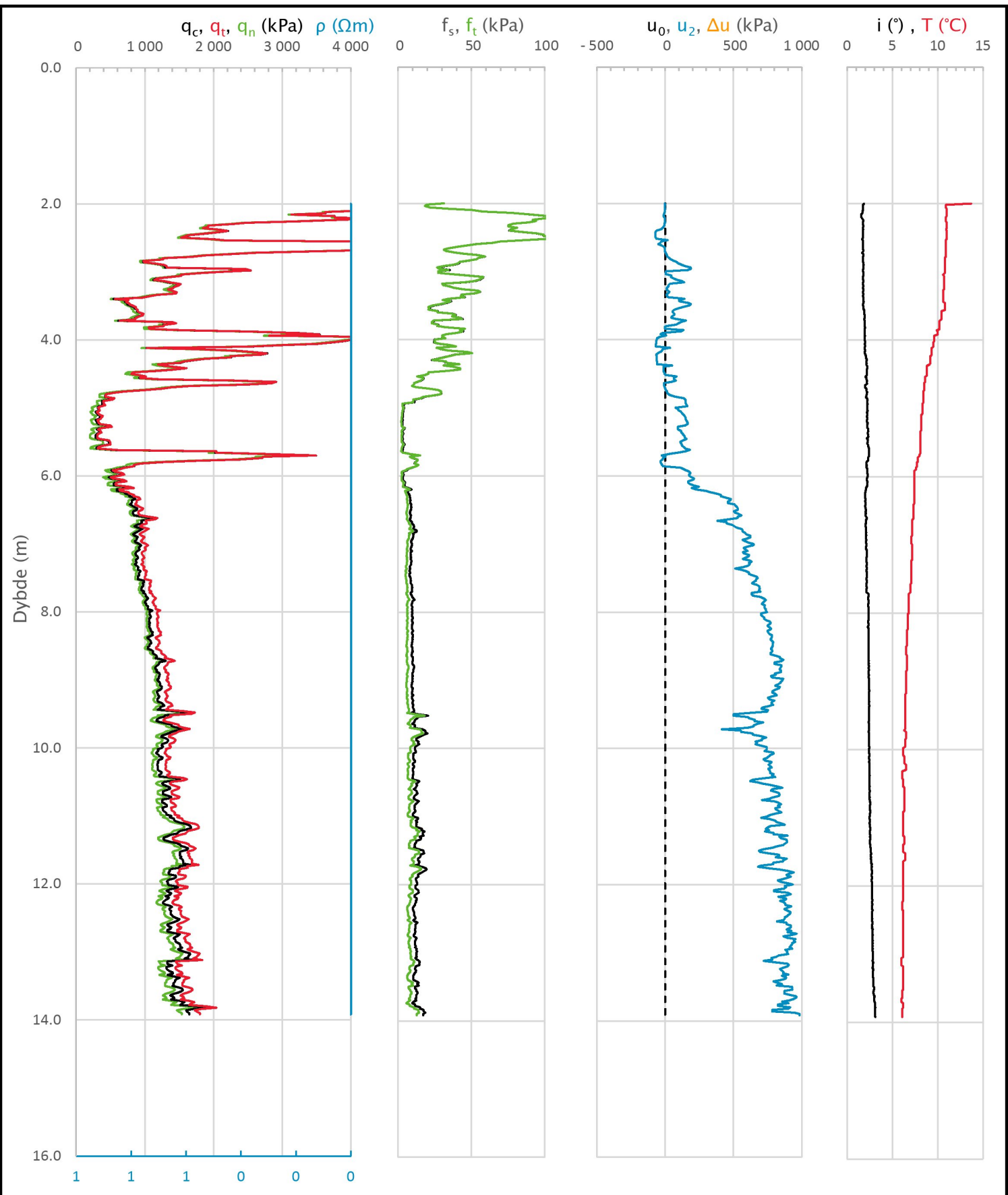
Spissmotstand	Sidefriksjon	Poretrykk	Helning	Temperatur
OK	OK	OK	OK	OK

Kommentarer:

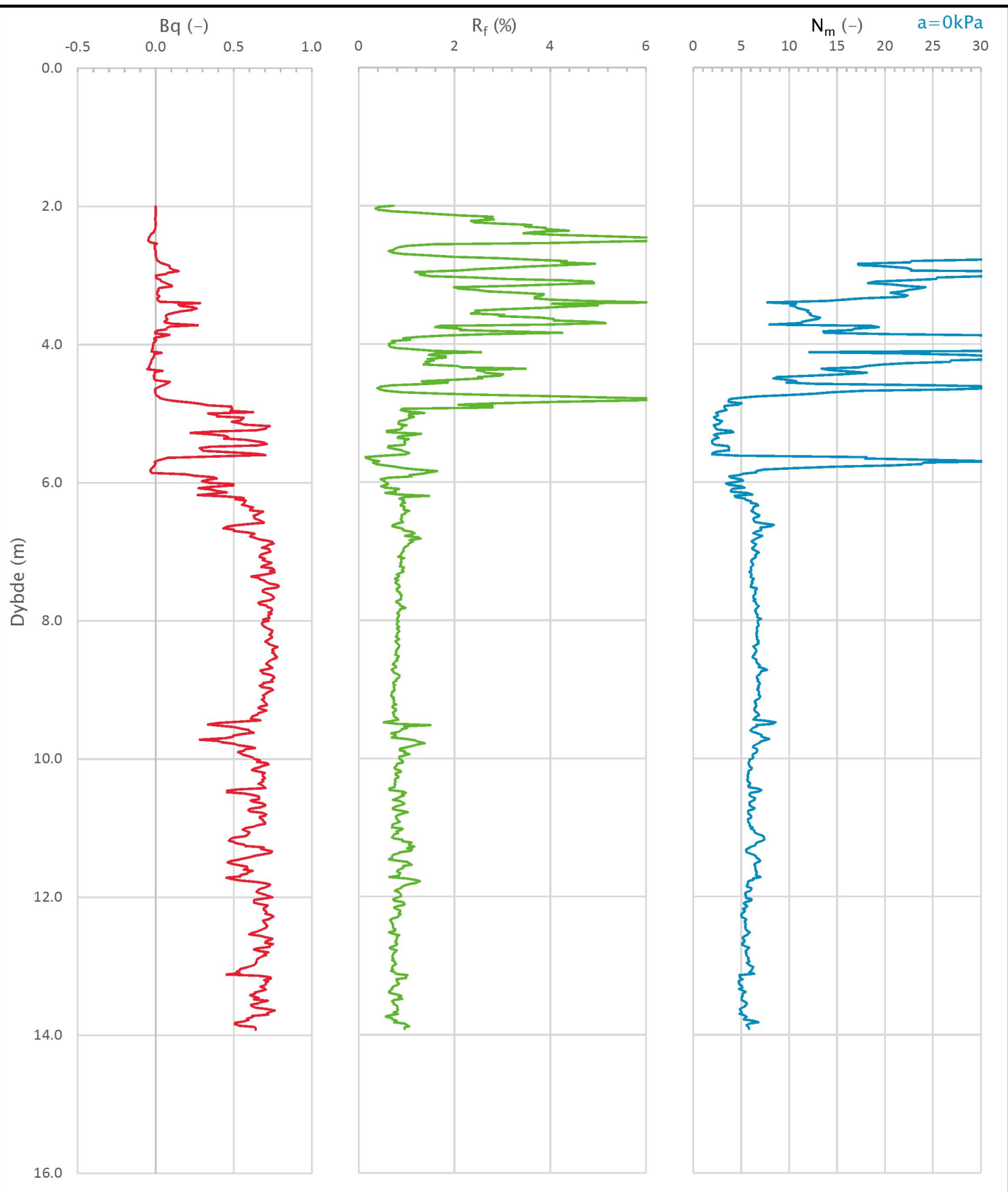
Prosjekt <b>Kregnesbakken</b>	Prosjektnummer: 10206445 Rapportnummer: 1			Borhull Kote +108.318 <b>8</b>
Innhold Dokumentasjon av utstyr og målenøyaktighet				Sondenummer <b>4672</b>
<b>Multiconsult</b>	Tegnet OYA	Kontrollert TOJ	Godkjent KONK	Anvend.klasse <b>1</b>
	Utførende Multiconsult	Dato sondering 22.08.2019	Revisjon <b>0</b> Rev. dato <b>22.11.2019</b>	RIG-TEG <b>503.1</b>



Prosjekt <b>Kregnesbakken</b>	Prosjektnummer: 10206445 Rapportnummer: 1			Borhull Kote +108.318 <b>8</b>
Innhold In-situ poretrykk, total- og effektiv vertikalspenning i beregninger				Sondenummer <b>4672</b>
<b>Multiconsult</b>	Tegnet OYA	Kontrollert TOJ	Godkjent KONK	Anvend.klasse <b>1</b>
	Utførende Multiconsult	Dato sondering 22.08.2019	Revisjon <b>0</b>	RIG-TEG <b>503.2</b>



Prosjekt <b>Kregnesbakken</b>	Prosjektnummer: 10206445	Rapportnummer: 1	Borhull Kote +108.318 8
Innhold Måledata og korrigerte måleverdier			Sondenummer 4672
<b>Multiconsult</b>	Tegnet OYA	Kontrollert TOJ	Godkjent KONK
	Utførende Multiconsult	Date sondering 22.08.2019	Anvend.klasse 1 RIG-TEG 503.3 Revisjon 0 Rev. dato 22.11.2019



Prosjekt <b>Kregnesbakken</b>	Prosjektnummer: 10206445	Rapportnummer: 1	Borhull Kote +108.318 8
Innhold Avleddede dimensjonsløse forhold			Sondenummer 4672
<b>Multiconsult</b>	Tegnet OYA	Kontrollert TOJ	Godkjent KONK
	Utførende Multiconsult	Dato sondering 22.08.2019	Revisjon 0 Rev. dato 22.11.2019
			Anvend.klasse 1 RIG-TEG 503.4

## Sonde og utførelse

Sonenummer	4672	Boreleder	Jørgen
Type sonde	Nova	Temperaturendring (°C)	11.9
Kalibreringsdato	26.03.2019	Maks helning (°)	3.3
Dato sondering	22.08.2019	Maks avstand målinger (m)	0.02
Filtertype	Porøst filter		

### Kalibreringsdata

	Spissmotstand	Sidefriksjon	Poretrykk
Maksimal last (MPa)	50	0.5	2.5
Måleområde (MPa)	50	0.5	2
Skaleringsfaktor	1276	3800	3456
Oppløsning 2 <sup>12</sup> bit (kPa)	-	-	-
Oppløsning 2 <sup>18</sup> bit (kPa)	0.5979	0.01	0.0221
Arealforhold	0.8440	0.0020	
Maks ubelastet temp. effekt (kPa)	9.48	0.3	2.228
Temperaturområde (°C)	40		

### Nullpunktsskontroll

	NA	NB	NC
Registrert før sondering (kPa)	7389.6	124.0	266.4
Registrert etter sondering (kPa)	0.6	-0.7	-1.5
Avvik under sondering(kPa)	0.6	0.7	1.5
Maksimal temperatureffekt (kPa)	2.8	0.1	0.7
Maksverdi under sondering (kPa)	12555.0	215.5	1074.2

### Vurdering av anvendelsesklasse ihht. ISO 22476-1:2012

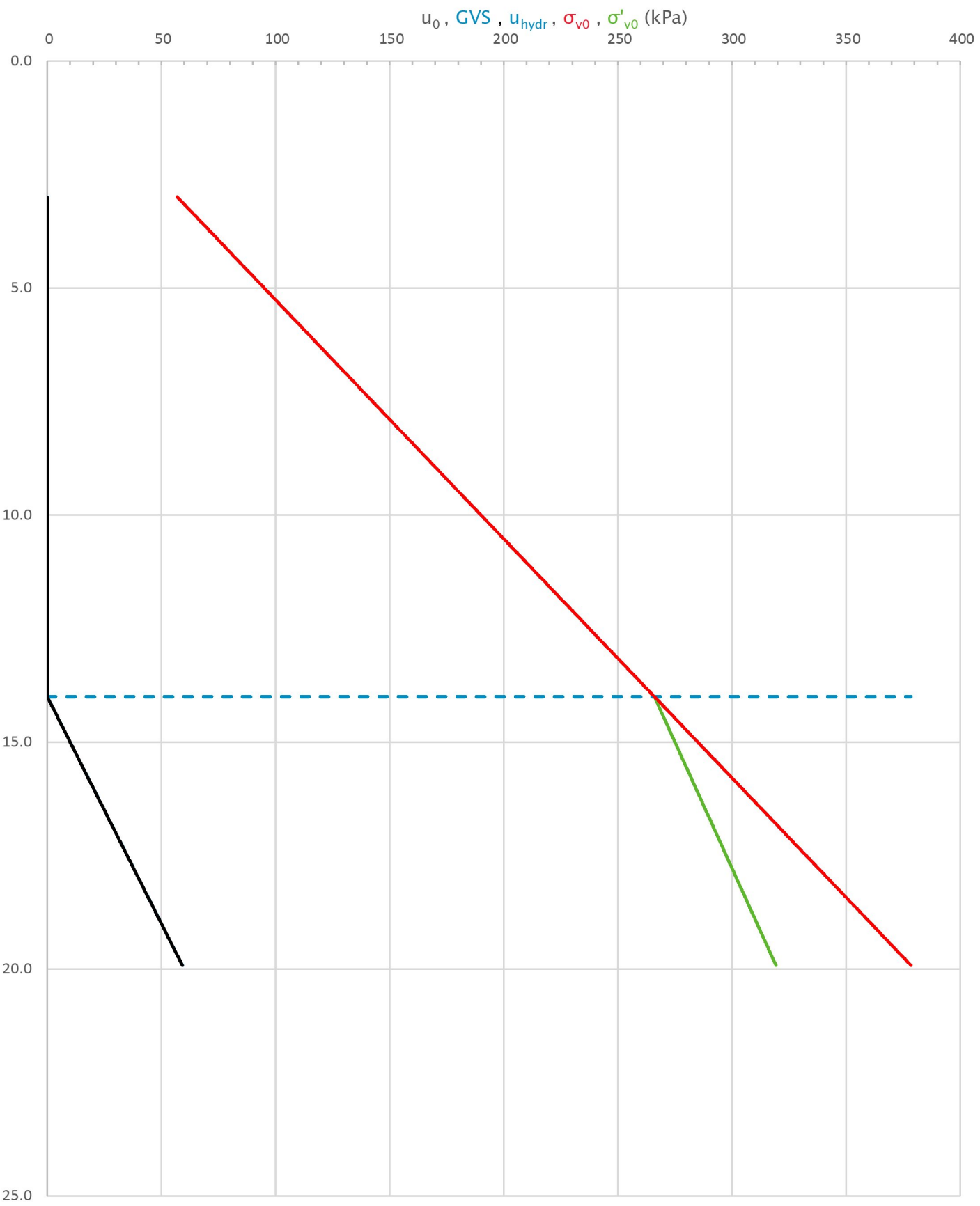
	Spissmotstand		Sidefriksjon		Poretrykk	
	(kPa)	(%)	(kPa)	(%)	(kPa)	(%)
Samlet nøyaktighet (kPa)	4.0	0.0	0.8	0.4	2.2	0.2
Tillatt nøyaktighet klasse 1	35	5	5	10	10	2
Tillatt nøyaktighet klasse 2	100	5	15	15	25	3
Tillatt nøyaktighet klasse 3	200	5	25	15	50	5
Tillatt nøyaktighet klasse 4	500	5	50	20		
Anvendelsesklasse	1	1	1	1	1	1
Anvendelsesklasse måleintervall	1					
Anvendelsesklasse	1					

### Måleverdier under kapasitet/krav

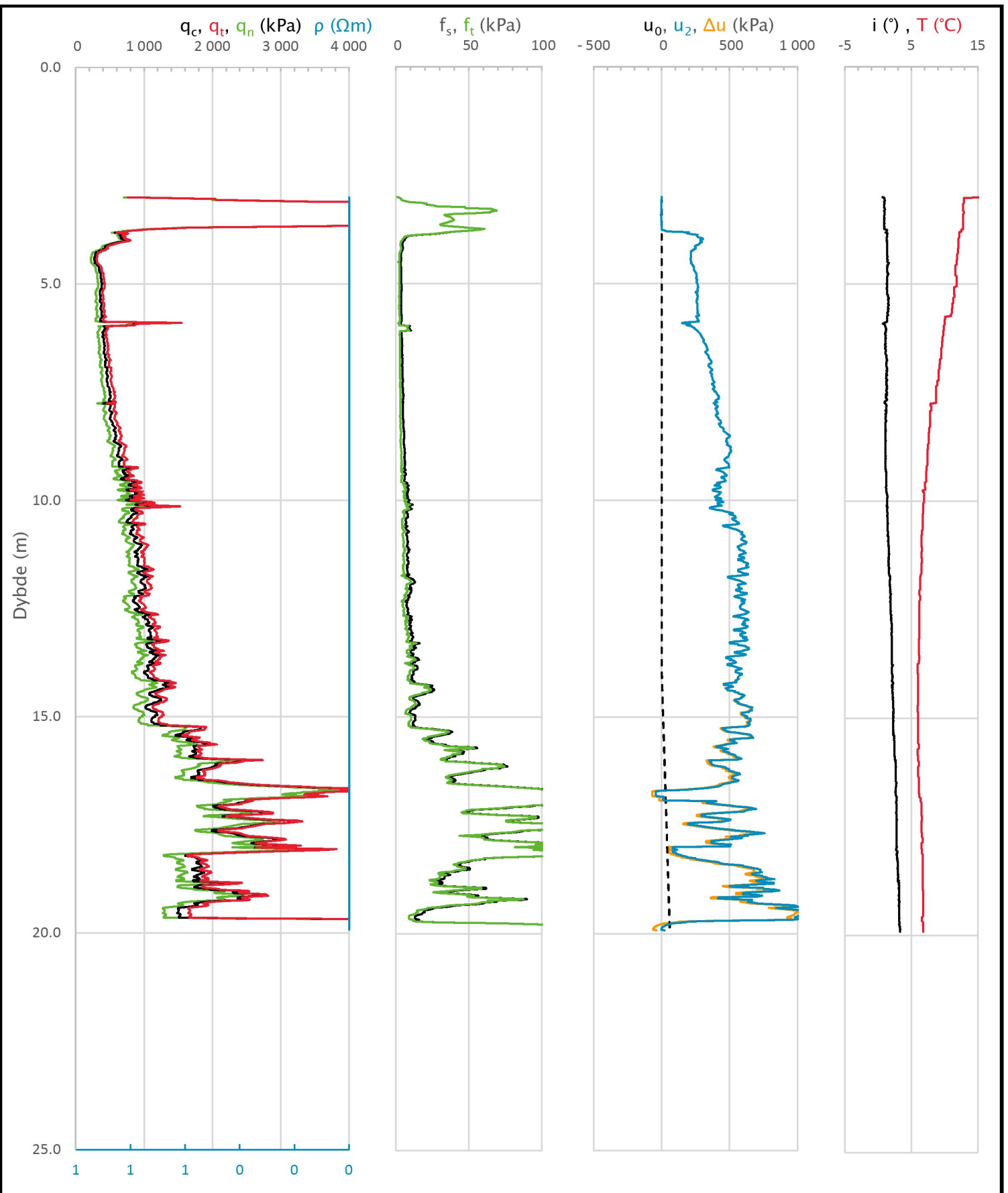
Spissmotstand	Sidefriksjon	Poretrykk	Helning	Temperatur
OK	OK	OK	OK	OK

Kommentarer:

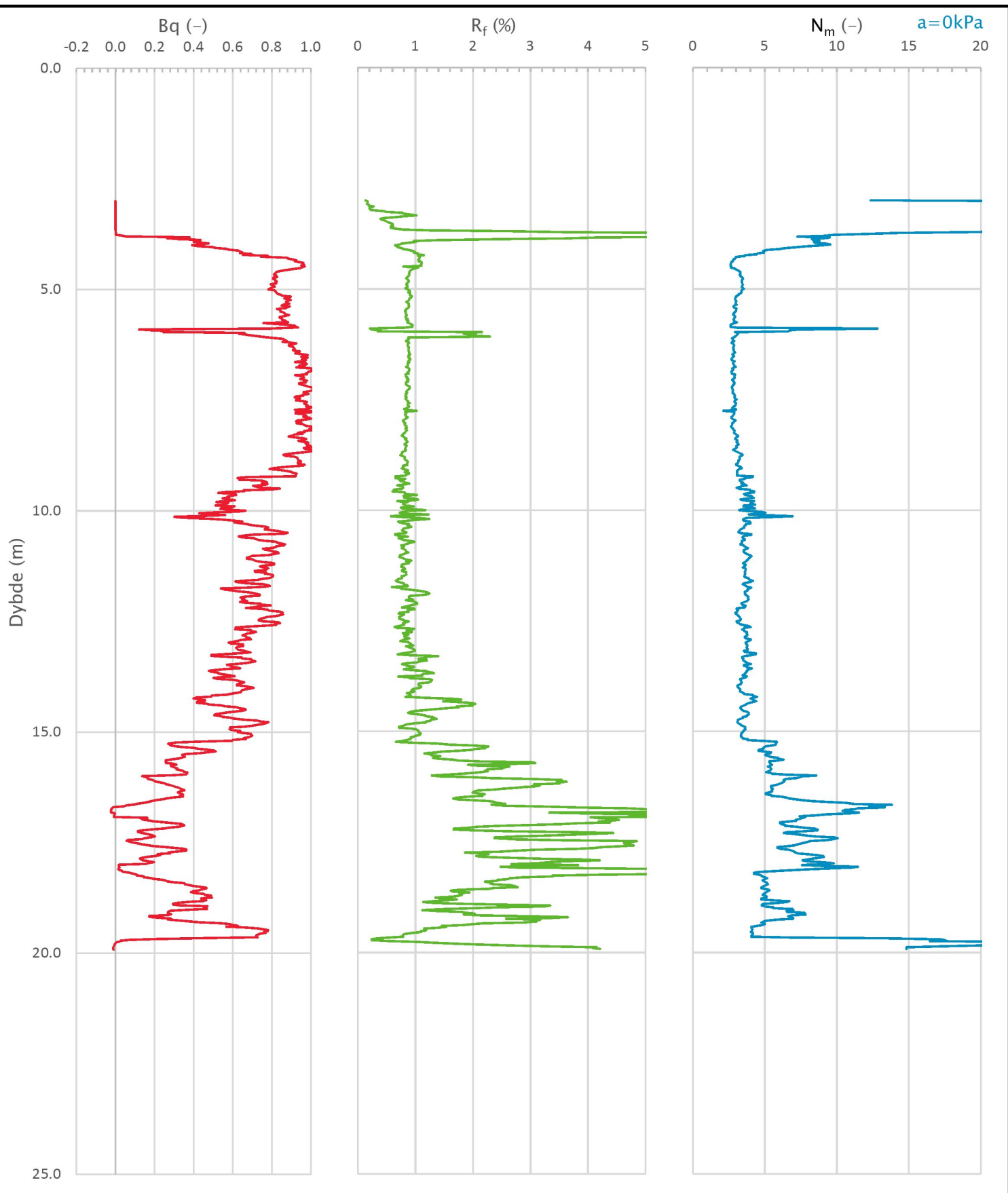
Prosjekt <b>Kregnesbakken</b>	Prosjektnummer: 10206445 Rapportnummer: 1			Borhull Kote +135.722 <b>9</b>
Innhold Dokumentasjon av utstyr og målenøyaktighet				Sondenummer <b>4672</b>
<b>Multiconsult</b>	Tegnet OYA	Kontrollert TOJ	Godkjent KONK	Anvend.klasse <b>1</b>
	Utførende Multiconsult	Dato sondering 22.08.2019	Revisjon <b>0</b> Rev. dato <b>22.11.2019</b>	RIG-TEG <b>504.1</b>



Prosjekt <b>Kregnesbakken</b>	Prosjektnummer: 10206445	Rapportnummer: 1	Borhull Kote +135.722 9
Innhold	In-situ poretrykk, total- og effektiv vertikalspenning i beregninger		
	Sondenummer <b>4672</b>		
<b>Multiconsult</b>	Tegnet OYA	Kontrollert TOJ	Godkjent KONK
	Utførende Multiconsult	Dato sondering 22.08.2019	Revisjon 0 Rev. dato 22.11.2019
		Anvend.klasse <b>1</b>	RIG-TEG <b>504.2</b>



Prosjekt <b>Kregnesbakken</b>	Prosjektnummer: 10206445 Rapportnummer: 1	Borhull Kote +135.722 9
Innhold Måledata og korrigerte måleverdier		Sondenummer 4672
<b>Multiconsult</b>	Tegnet OYA	Kontrollert TOJ
	Utførende Multiconsult	Godkjent KONK
		Anvend.klasse 1
		Revisjon 0
		Rev. dato 22.11.2019
		RIG-TEG 504.3



Prosjekt <b>Kregnesbakken</b>	Prosjektnummer: 10206445	Rapportnummer: 1	Borhull Kote +135.722 9
Innhold Avleddede dimensjonsløse forhold			Sondenummer 4672
<b>Multiconsult</b>	Tegnet OYA	Kontrollert TOJ	Godkjent KONK
	Utførende Multiconsult	Dato sondering 22.08.2019	Anvend.klasse 1 Revisjon 0 Rev. dato 22.11.2019

## Sonde og utførelse

Sonenummer	4672	Boreleder	Jørgen
Type sonde	Nova	Temperaturendring (°C)	9.9
Kalibreringsdato	26.03.2019	Maks helning (°)	11.6
Dato sondering	22.08.2019	Maks avstand målinger (m)	0.02
Filtertype	Porøst filter		

### Kalibreringsdata

	Spissmotstand	Sidefriksjon	Poretrykk
Maksimal last (MPa)	50	0.5	2.5
Måleområde (MPa)	50	0.5	2
Skaleringsfaktor	1276	3800	3456
Oppløsning 2 <sup>12</sup> bit (kPa)	-	-	-
Oppløsning 2 <sup>18</sup> bit (kPa)	0.5979	0.01	0.0221
Arealforhold	0.8440	0.0020	
Maks ubelastet temp. effekt (kPa)	9.48	0.3	2.228
Temperaturområde (°C)	40		

### Nullpunktsskontroll

	NA	NB	NC
Registrert før sondering (kPa)	7412.3	123.0	264.6
Registrert etter sondering (kPa)	-3.0	-0.1	-1.1
Avvik under sondering(kPa)	3.0	0.1	1.1
Maksimal temperatureffekt (kPa)	2.3	0.1	0.6
Maksverdi under sondering (kPa)	5074.6	87.7	1392.5

### Vurdering av anvendelsesklasse ihht. ISO 22476-1:2012

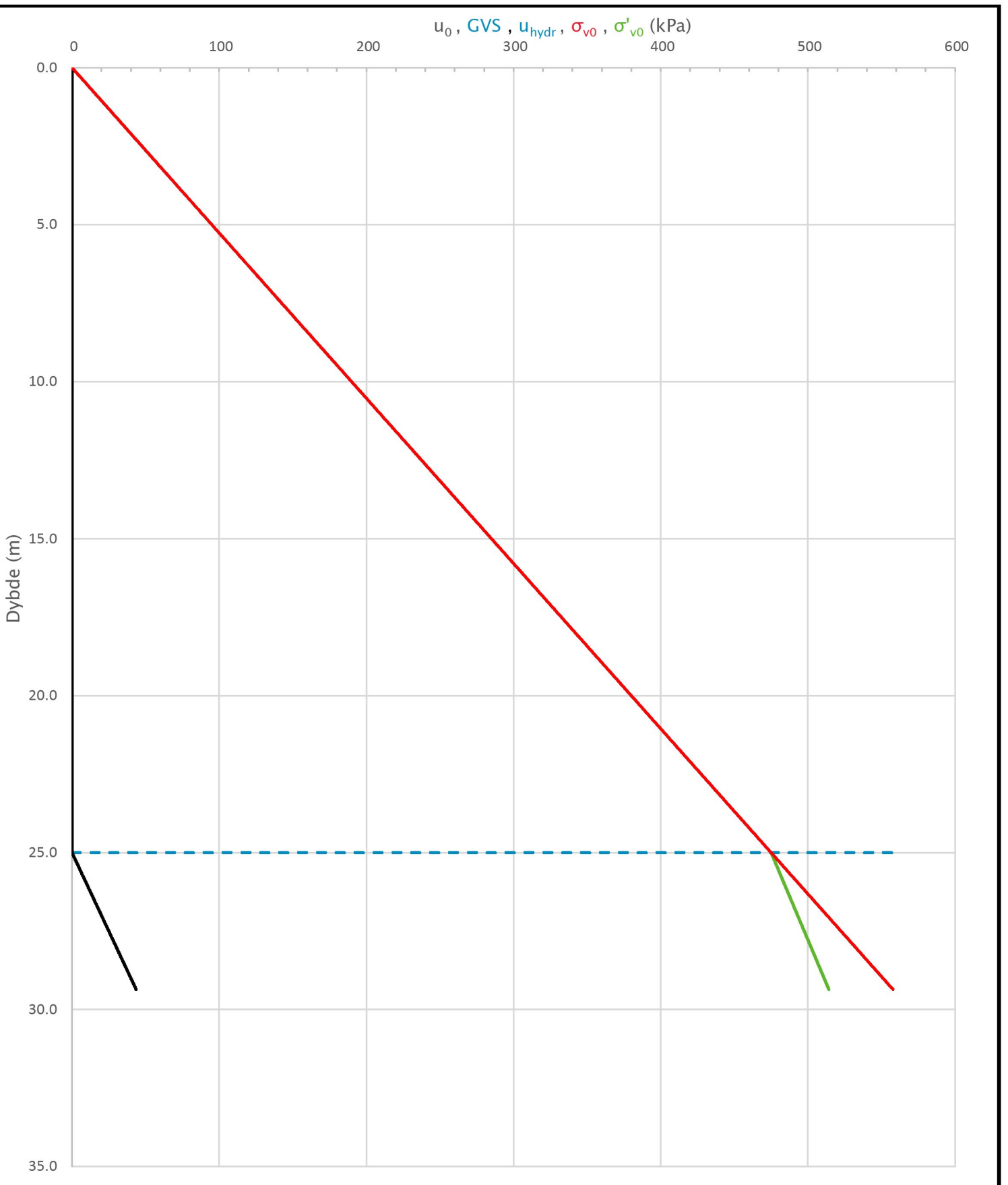
	Spissmotstand		Sidefriksjon		Poretrykk	
	(kPa)	(%)	(kPa)	(%)	(kPa)	(%)
Samlet nøyaktighet (kPa)	5.9	0.1	0.2	0.2	1.7	0.1
Tillatt nøyaktighet klasse 1	35	5	5	10	10	2
Tillatt nøyaktighet klasse 2	100	5	15	15	25	3
Tillatt nøyaktighet klasse 3	200	5	25	15	50	5
Tillatt nøyaktighet klasse 4	500	5	50	20		
Anvendelsesklasse	1	1	1	1	1	1
Anvendelsesklasse måleintervall	1					
Anvendelsesklasse	1					

### Måleverdier under kapasitet/krav

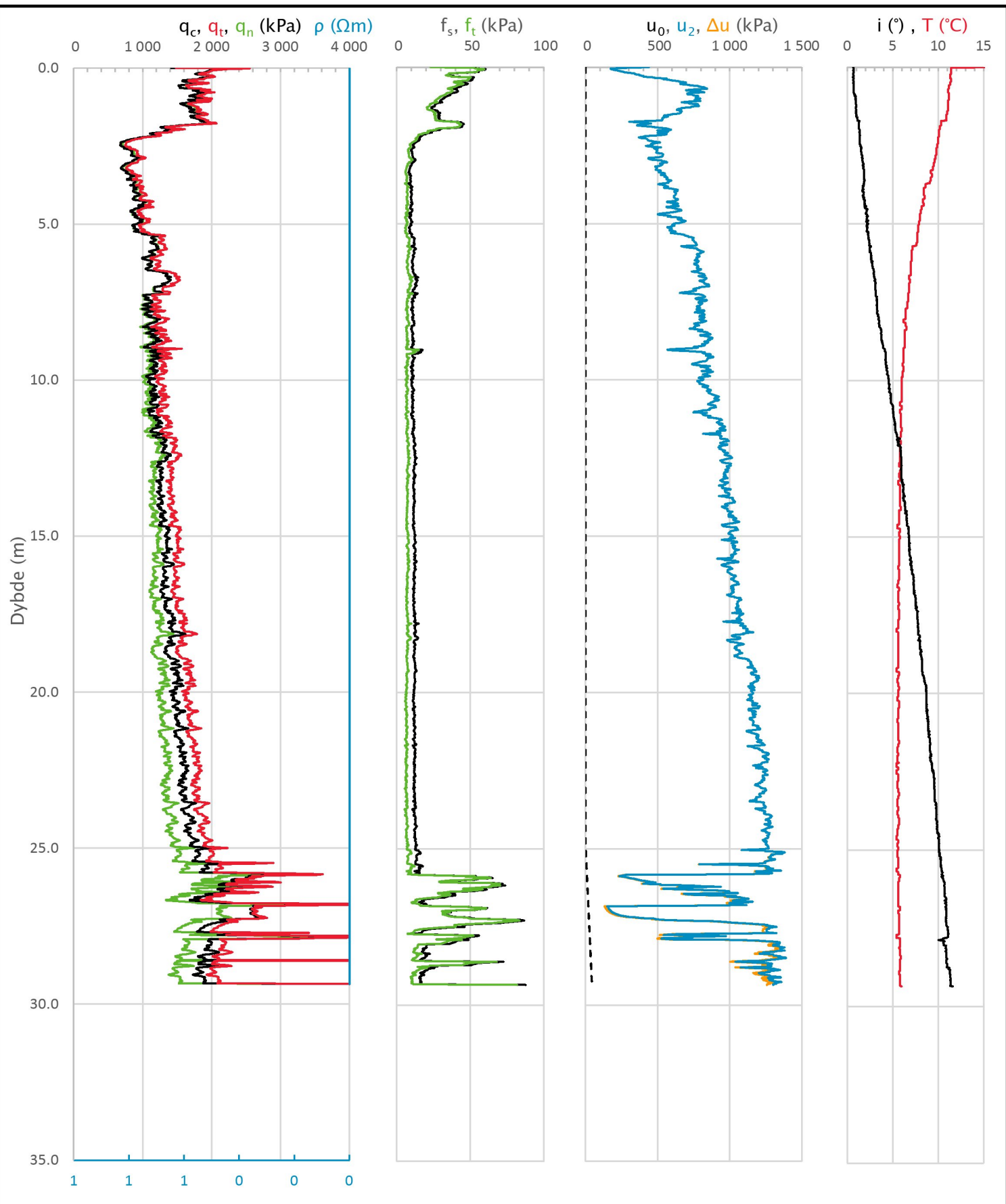
Spissmotstand	Sidefriksjon	Poretrykk	Helning	Temperatur
OK	OK	OK	OK	OK

Kommentarer:

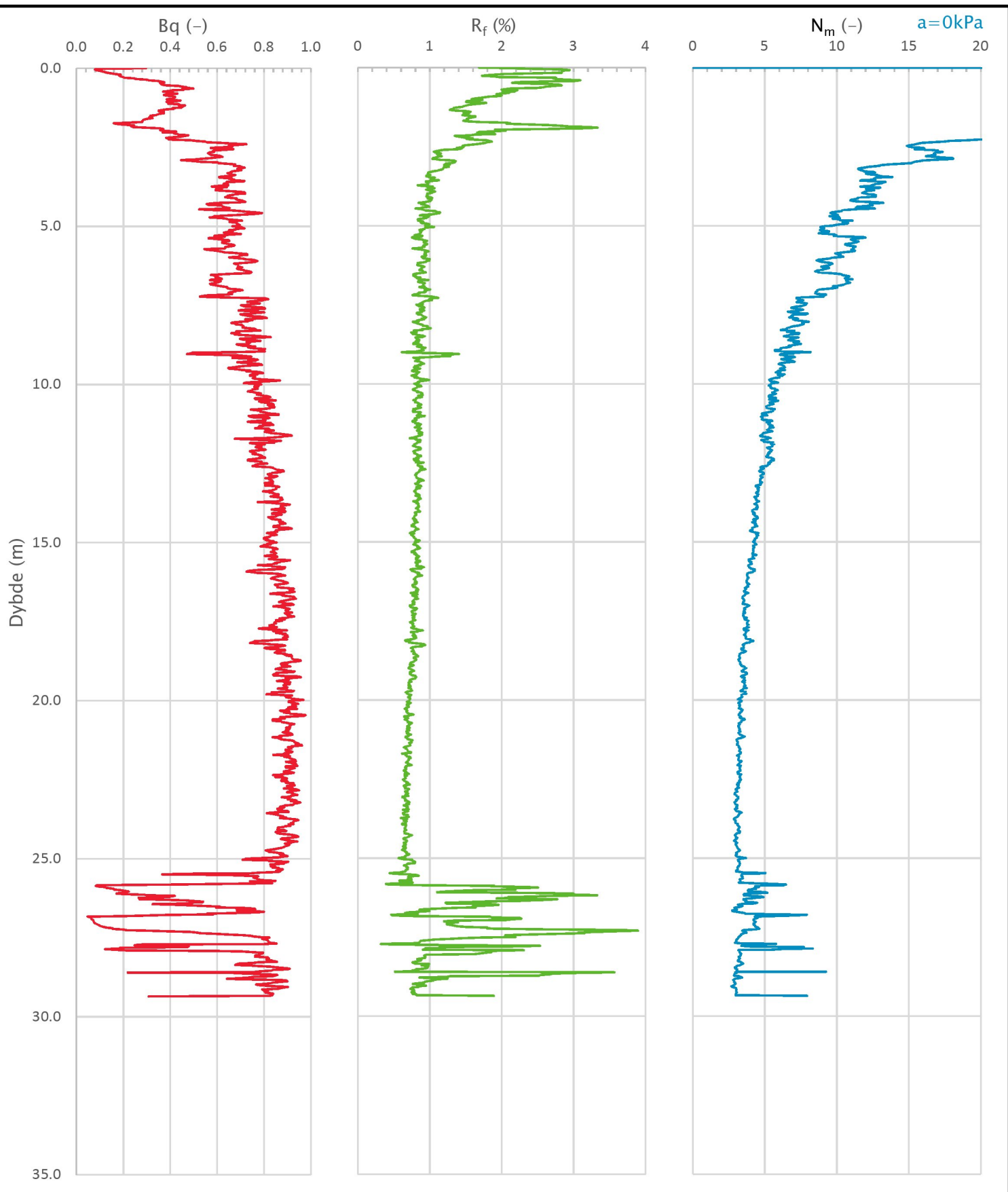
Prosjekt <b>Kregnesbakken</b>	Prosjektnummer: 10206445 Rapportnummer: 1			Borhull Kote +111.582 <b>11</b>
Innhold Dokumentasjon av utstyr og målenøyaktighet				Sondenummer <b>4672</b>
<b>Multiconsult</b>	Tegnet OYA	Kontrollert TOJ	Godkjent KONK	Anvend.klasse <b>1</b>
	Utførende Multiconsult	Dato sondering 22.08.2019	Revisjon <b>0</b> Rev. dato <b>22.11.2019</b>	RIG-TEG <b>505.1</b>



Prosjekt <b>Kregnesbakken</b>	Prosjektnummer: 10206445 Rapportnummer: 1	Borhull Kote +111.582 <b>11</b>		
Innhold In-situ poretrykk, total- og effektiv vertikalspenning i beregninger		Sondenummer <b>4672</b>		
<b>Multiconsult</b>	Tegnet OYA Utførende Multiconsult	Kontrollert TOJ Data sondering 22.08.2019	Godkjent KONK Revisjon 0 Rev. dato 22.11.2019	Anvend.klasse <b>1</b> RIG-TEG <b>505.2</b>



Prosjekt <b>Kregnesbakken</b>	Prosjektnummer: 10206445	Rapportnummer: 1	Borhull Kote +111.582
Innhold		Sondenummer	
Måledata og korrigerte måleverdier			<b>4672</b>
<b>Multiconsult</b>	Tegnet OYA	Kontrollert TOJ	Anvend.klasse <b>1</b>
	Utførende Multiconsult	Dato sondering 22.08.2019	Revisjon <b>0</b>
			Rev. dato <b>22.11.2019</b>
			RIG-TEG <b>505.3</b>



Prosjekt <b>Kregnesbakken</b>	Prosjektnummer: 10206445 Rapportnummer: 1	Borhull Kote +111.582 <b>11</b>
Innhold Avleddede dimensjonsløse forhold		Sondenummer <b>4672</b>
<b>Multiconsult</b>	Tegnet OYA	Kontrollert TOJ
	Utførende Multiconsult	Godkjent KONK
		Anvend.klasse <b>1</b>
	Date sondering 22.08.2019	Revisjon <b>0</b>
		Rev. dato <b>22.11.2019</b>
		RIG-TEG <b>505.4</b>

VEDLEGG 1

**Kalibreringsskjema CPTU-sonde**

(1 side)

## CALIBRATION CERTIFICATE FOR CPT PROBE 4672

Probe No 4672  
 Date of Calibration 2019-03-26  
 Calibrated by Christoffer Hurtig.....  
 Run No 1050  
 Test Class: ISO 1



Point Resistance	Tip Area 10cm <sup>2</sup>	
Maximum Load	50	MPa
Range	50	MPa
Scaling Factor	<b>1276</b>	
Resolution	0,5979	kPa
Area factor (a)	0,844	

ERRORS

Max. Temperature effect when not loaded 24,5 kPa  
 Temperature range 5 –40 deg. Celsius.

Local Friction	Sleeve Area 150cm <sup>2</sup>	
Maximum Load	0,5	MPa
Range	0,5	MPa
Scaling Factor	<b>3800</b>	
Resolution	0,01	kPa
Area factor (b)	0	

ERRORS

Max. Temperature effect when not loaded 0,772 kPa  
 Temperature range 5 –40 deg. Celsius.

Pore Pressure		
Maximum Load	2,5	MPa
Range	2	MPa
Scaling Factor	<b>3456</b>	
Resolution	0,0221	kPa

ERRORS

Max. Temperature effect when not loaded 2,228 kPa  
 Temperature range 5 –40 deg. Celsius.

Tilt Angle.	Scaling Factor: 0,93	
Range	0 - 40	Deg.

**Temperature sensor**  
**Conductivity probe**



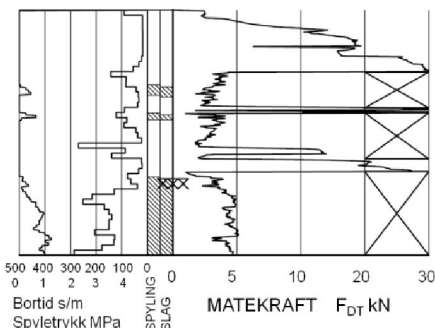
Specialists in  
 Geotechnical  
 Field Equipment

## **BILAG 1**

### **Feltundersøkelser**

**(2 sider)**

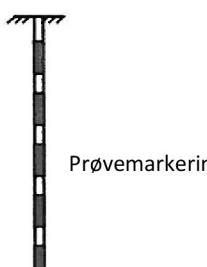
<p>Avsluttet mot stein, blokk eller fast grunn</p> <p>Avsluttet mot antatt berg</p>	<p>Sonderinger utføres for å få en indikasjon på grunnens relative fasthet, lagdeling og dybder til antatt berg eller fast grunn. For utførelsesstandarder henvises det til «Geoteknisk bilag – Oversikt over metodestandarder og retningslinjer».</p>
<p>Forboret</p> <p>Middels stor motstand</p> <p>Meget liten motstand</p> <p>Meget stor motstand</p> <p>Avsluttet uten å nå fast grunn eller berg</p> <p>Lasi kN</p> <p>100</p> <p>300</p> <p>0.50</p> <p>100</p> <p>300</p> <p>100</p> <p>500</p>	<p>DREIESONDERING</p> <p>Utføres med skjøtbare <math>\phi 22</math> mm borstenger med 200 mm vridt spiss. Boret dreies manuelt eller maskinelt ned i grunnen med inntil 1 kN (100 kg) vertikalbelastning på stengene. Hvis det ikke synker for denne lasten, dreies boret maskinelt eller manuelt. Antall <math>\frac{1}{2}</math>-omdreininger pr. 0,2 m synk registreres.</p> <p>Boremotstanden presenteres i diagram med vertikal dybdeskala og tverrstrek for hver 100 <math>\frac{1}{2}</math>-omdreininger. Skravur angir synk uten dreiling, med påført vertikallast under synk angitt på venstre side. Kryss angir at borstengene er rammet ned i grunnen.</p>
<p>Middels stor motstand</p> <p>Liten motstand</p> <p>Stor motstand</p> <p><math>Q_o</math></p> <p>kNm/m</p> <p>0 50 100 150</p>	<p>RAMSONDERING</p> <p>Boringen utføres med skjøtbare <math>\phi 32</math> mm borstenger og spiss med normert geometri. Boret rammes med en rammeenergi på 0,38 kNm. Antall slag pr. 0,2 m synk registreres.</p> <p>Boremotstanden illustreres ved angivelse av rammemotstanden <math>Q_o</math> pr. m nedramming.</p> <p><math>Q_o = \text{loddets tyngde} * \text{fallhøyde/synk pr. slag (kNm/m)}</math></p>
<p>CPT2</p> <p><math>+14,5</math></p> <p>▽</p> <p>5</p> <p>10</p> <p>15</p> <p>m</p> <p>Korr. spissmotstand [MPa]</p> <p>Poretrykk [MPa]</p> <p>Sidefriksjon [MPa]</p>	<p>TRYKKSONDERING (CPT - CPTU)</p> <p>Utføres ved at en sylinderisk, instrumentert sonde med konisk spiss presses ned i grunnen med konstant penetrasjonshastighet 20 mm/s. Under nedpressingen måles kraften mot konisk spiss og friksjonshylse, slik at spissmotstand <math>q_c</math> og sidefriksjon <math>f_s</math> kan bestemmes (CPT). I tillegg kan poretrykket <math>u</math> måles like bak den koniske spissen (CPTU). Målingene utføres kontinuerlig for hver 0,02 m, og metoden gir derfor detaljert informasjon om grunnforholdene.</p> <p>Resultatene kan benyttes til å bestemme lagdeling, jordart, lagningsbetingelser og mekaniske egenskaper (skjærfasthet, deformasjons- og konsolideringsparametere).</p>
<p>F<sub>DT</sub> kN</p>	<p>DREIETRYKKSONDERING</p> <p>Utføres med glatte skjøtbare <math>\phi 36</math> mm borstenger med en normert spiss med hardmetallsveis. Borstengene presses ned i grunnen med konstant hastighet 3 m/min og konstant rotasjonshastighet 25 omdreininger/min.</p> <p>Rotasjonshastigheten kan økes hvis nødvendig (markeres med kryss på høyre side). Nedpressingskraften <math>F_{DT}</math> (kN) registreres automatisk under disse betingelsene, og gir grunnlag for å bedømme grunnforholdene.</p> <p>Metoden er spesielt hensiktsmessig ved påvisning av kvikkleire i grunnen, men den gir ikke sikker dybde til bergoverflaten.</p>
<p>Stein</p> <p>Borsynk i berg cm/min.</p> <p>10</p> <p>15</p> <p>20</p>	<p>BERGKONTROLLBORING</p> <p>Utføres med skjøtbare <math>\phi 45</math> mm stenger og hardmetall borkrone med tilbakeslagsventil. Det benyttes tung slagborhammer og vannspyping med høyt trykk. Boring gjennom lag med ulike egenskaper, for eksempel grus og leire, kan registreres, likadan penetrasjon av blokker og større steiner. For verifisering av berginnretning bores 3 m ned i berget, eventuelt med registrering av borsynk for sikker påvisning.</p>



#### TOTALSONDERING

Kombinerer metodene dreietrykksøndring og bergkontrollboring. Det benyttes  $\phi 45$  mm børstenger og  $\phi 57$  mm stiftborkrone med tilbakeslagsventil. Under nedboring i bløte lag presses boret ned i bakken med konstant hastighet 3 m/min og konstant rotasjonshastighet 25 omdreininger/min. Når faste lag påtreffes økes først rotasjonshastigheten (markeres som kryss til høyre). Gir ikke dette synk av boret benyttes spyling og slag på borkronen.

Nedpressingskraften  $F_{DT}$  (kN) registreres kontinuerlig og vises på diagrammets høyre side, mens markering av spyletrykk, slag og bortid vises til venstre.



#### PRØVETAKING

Utføres for undersøkelse av jordlagenes geotekniske egenskaper i laboratoriet.

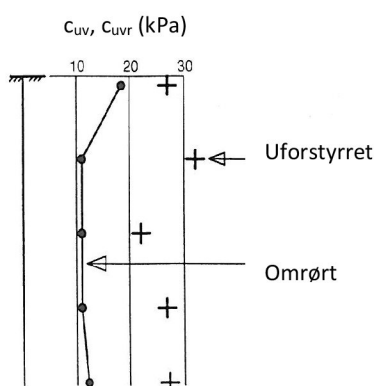
##### Maskinell naverboring (forstyrrede poseprøver):

Utføres med hul børstang påsveiset en metallspiral med fast stigehøyde (auger). Med borrigg kan det bores til 5-20 m dybde, avhengig av jordart, lagringsfasthet og beliggenhet av grunnvannstanden. Med denne metoden kan det tas forstyrrede poseprøver ved å samle materialet mellom spiralskivene. Det er også mulig å benytte enklere håndholdt utstyr som for eksempel skovlprøvetaking.

##### Sylinder/blokkprøvetaing (Uforstyrrede prøver):

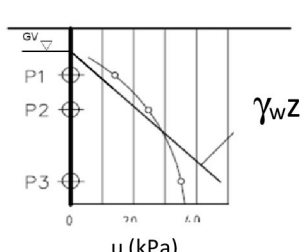
Vanligvis benyttes stempel-prøvetaking med innvendig stempel for optak av 60-100 cm lange sylinderprøver. Prøvesylinderen kan være av plast eller stål, og det kan benyttes utstyr både med og uten innvendig prøvesylinder. På ønsket dybde skjæres det ut en jordprøve som trekkes opp til overflaten, der den blir forseglet for transport til laboratoriet. Prøvediametren kan variere mellom  $\phi 54$  mm (vanligst) og  $\phi 95$  mm. Det er også mulig å benytte andre typer prøvetakere, som for eksempel ramprøvetakere og blokkprøvetakere.

Prøvekvaliteten inndeles i Kvalitetsklasse 1-3, der 1 er høyeste kvalitet.



#### VINGEBORING

Utføres ved at et vingekors med dimensjoner  $b \times h = 55 \times 110$  mm eller  $65 \times 130$  mm presses ned i grunnen til ønsket målenivå. Her blir vingekorset påført et økende dreiemoment til jorden rundt vingen når brudd. Det tilhørende dreiemomentet blir registrert. Dette utføres med jorden i uforstyrret ved første gangs brudd og omrørt tilstand etter 25 gjentatte omdreininger av vingekorset. Udrerert skjærfasthet  $c_{uv}$  og  $c_{ur}$  beregnes ut fra henholdsvis dreiemomentet ved brudd og etter omrøring. Fra dette kan også sensitiviteten  $S_t = c_{uv}/c_{ur}$  bestemmes. Tolkede verdier må vanligvis korrigeres empirisk for opptrødende effektivt overlagingstrykk i måledybden, samt for jordartens plastisitet.



#### PORETRYKKSMÅLING

Målingene utføres med et standør med filterspiss eller med hydraulisk (åpent)/elektrisk piezometer (poretrykksmåler). Filteret eller piezometerspissen påmontert piezometerrør presses ned i grunnen til ønsket dybde. Stabilt poretrykk registreres fra vannets stigehøyde i røret, eller ved avlesning av en elektrisk trykkmåler i spissen. Valg av utstyr vurderes på bakgrunn av grunnforhold og hensikten med målingen.

Grunnvannstand observeres eller peiles direkte i borhullet.

## BILAG 2

### **Geotekniske bilag - laboratorieforsøk**

(4 sider)

## Geotekniske bilag 2

### Laboratorieforsøk

Multiconsult

Laboratorieundersøkelser utføres for sikker klassifisering og bestemmelse av mekaniske egenskaper. Forsøkene utføres på prøver som er tatt opp i felt. For utførelsesstandarder henvises det til «Geoteknisk bilag 3 – Oversikt over metodestandarder og retningslinjer».

#### MINERALSKE JORDARTER

Ved prøveåpning klassifiseres og identifiseres jordarten. Mineralske jordarter klassifiseres vanligvis på grunnlag av korngraderingen. Betegnelse og kornstørrelser for de enkelte fraksjonene er:

Fraksjon	Leire	Silt	Sand	Grus	Stein	Blokk
Kornstørrelse [mm]	<0,002	0,002-0,063	0,063-2	2-63	63-630	>630

En jordart kan inneholde en eller flere av fraksjonene over. Jordarten benevnes i henhold til korngraderingen med substantiv for den fraksjon som har dominerende betydning for jordartens egenskaper og adjektiv for medvirkende fraksjoner (for eksempel siltig sand). Leirinnholdet har størst betydning for benevnelse av jordarten. Morene er en usortert breavsetning som kan inneholde alle fraksjoner fra leir til blokk. Den største fraksjonen angis først i beskrivelsen etter egne benevningsregler, for eksempel grusig morene.

#### ORGANISKE JORDARTER

Organiske jordarter klassifiseres på grunnlag av jordartens opprinnelse og omdanningsgrad. De viktigste typer er:

Benevnelse	Beskrivelse
Torv	Myrplanter, mer eller mindre omdannet
• Fibrig torv	Fibrig med lett gjenkjennelig plantestruktur. Viser noe styrke
• Delvis fibrig torv, mellomtorv	Gjenkjennelig plantestruktur, ingen styrke i planterestene
• Amorf torv, svarttorv	Ingen synlig plantestruktur, svampig konsistens
Gytje og dy	Nedbrutt struktur av organisk materiale, kan inneholde mineralske bestanddeler
Humus	Planterester, levende organismer sammen med ikke-organisk innhold
Mold og matjord	Sterkt omdannet organisk materiale med løs struktur, utgjør vanligvis det øvre jordlaget

#### KORNFORDELINGSANALYSER

En kornfordelingsanalyse utføres ved våt eller tørr sikting av fraksjonene med diameter  $d > 0,063$  mm. For mindre partikler bestemmes den ekvivalente korndiameteren ved slemmeanalyse og bruk av hydrometer. I slemmeanalysen slemmes materialet opp i vann og densiteten av suspensjonen måles ved bestemte tidsintervaller. Kornfordelingen kan da bestemmes fra Stokes lov om sedimentering av kuleformede partikler i vann. Det vil ofte være nødvendig med en kombinasjon av metodene.

#### VANNINNHOLD

Vanninnholdet angir masse av vann i % av masse tørt (fast) stoff i massen og bestemmes fra tørking av en jordprøve ved 110°C i 24 timer.

#### KONSISTENSGRENSER

Konsistensgrensene (Atterbergs grenser) for en jordart angir vanninnholdsområdet der materialet er plastisk (formbart). Flytegrensen angir vanninnholdet der materialet går fra plastisk til flytende tilstand. Plastositetsgrensen (utrullingsgrensen) angir vanninnholdet der materialet ikke lenger kan formas uten at det sprekker opp. Plastositetsindeksen  $I_p = w_f - w_p$  (%) angir det plastiske området for jordarten og benyttes til klassifisering av plastositeten. Er det naturlige vanninnholdet høyere enn flytegrensen blir materialet flytende ved omrøring (vanlig for kvikkleire).

#### HUMUSINNHOLD

Humusinnholdet kan bestemmes ved kolorimetri og bruk av natronlut (NaOH-forbindelse), glødning av jordprøve i varmeovn eller våt-oksydasjon med hydrogenperoksyd. Metoden angir innholdet av humufiserte organiske bestanddeler i en relativ skala.

### DENSITET, TYNGDETETTHET, PORETALL OG PORØSITET

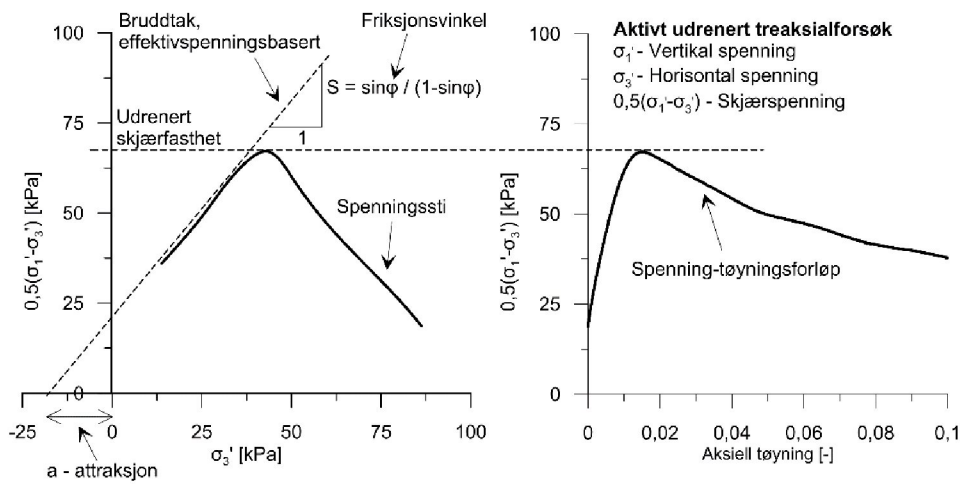
Navn	Symbol	Enhet	Beskrivelse
Densitet	$\rho$	g/cm <sup>3</sup>	Masse av prøve per volumenhet. Bestemmes for hel sylinder og utskåret del
Korndensitet	$\rho_s$	g/cm <sup>3</sup>	Masse av fast stoff per volumenhet fast stoff
Tørr densitet	$\rho_d$	g/cm <sup>3</sup>	Masse tørt stoff per volumenhet
Tyngdetethet	$\gamma$	kN/m <sup>3</sup>	Tyngde av prøve per volumenhet ( $\gamma=\rho g = \gamma_s(1+w/100)(1-n/100)$ , der g er tyngdeakselerasjonen)
Spesifikk tyngdetethet	$\gamma_s$	kN/m <sup>3</sup>	Tyngde av fast stoff per volumenhet fast stoff ( $\gamma_s = \rho_s g$ )
Tørr tyngdetethet	$\gamma_d$	kN/m <sup>3</sup>	Tyngde av tørt stoff per volumenhet ( $\gamma_d = \rho_d g = \gamma_s(1-n/100)$ )
Poretall	$e$	-	Volum av porer dividert med volum av fast stoff ( $e=n/(1-n)$ , n som desimaltall)
Porositet	$n$	%	Volum av porer i % av totalt volum av prøven ( $n=e/(1+e)$ )

### SKJÆRFASTHET

Skjærfastheten beskriver jordens styrke og benyttes bla. til beregning av motstand mot utglidninger og grunnbrudd. Skjærfasthet benyttes i beregninger av skråningsstabilitet og bæreevne. For korttidsbelastninger i finkornige materialer (leire) oppfører jorden seg udrenert og skjærfastheten beskrives ved udrenert skjærfasthet. Over lengre tidsintervaller vil oppførselen karakteriseres som drenert. Det benyttes da effektivspenningsparametere.

Effektive skjærfasthetsparametre  $a$  (attraksjon) og  $\tan \varphi$  (friksjon) bestemmes ved treaksiale belastningsforsøk på uforstyrrede (leire) eller innbyggede prøver (sand). Skjærfastheten er avhengig av effektiv normalspenning (totalspenning – poretrykk) på kritisk plan. Forsøksresultatene fremstilles som spenningsstier som viser spenningsutvikling og tilhørende tøyningsutvikling i prøven frem mot brudd. Fra disse, samt fra annen informasjon, bestemmes karakteristiske verdier for skjærfasthetsparametre for det aktuelle problemet.

Udrenert skjærfasthet  $c_u$  (kPa) bestemmes som den maksimale skjærspenning et materiale kan påføres før det bryter sammen i en situasjon med raske spenningsendringer uten drenering av poretrykk. I laboratoriet bestemmes denne egenskapen ved enaksiale trykkforsøk ( $c_{ut}$ ), konusforsøk (uforstyrret  $c_{ufc}$ , omrørt  $c_{urfc}$ ), udrenerte treaksialforsøk (komprimasjon/aktiv  $c_{uA}$ , avlastning/passiv  $c_{uP}$ ) og direkte skjærforsøk ( $c_{ud}$ ). Udrenert skjærfasthet kan også bestemmes i felt ved for eksempel trykksondering med poretrykksmåling (CPTU) ( $c_{ucptu}$ ) eller vingebor (uforstyrret  $c_{uv}$ , omrørt  $c_{urv}$ ).

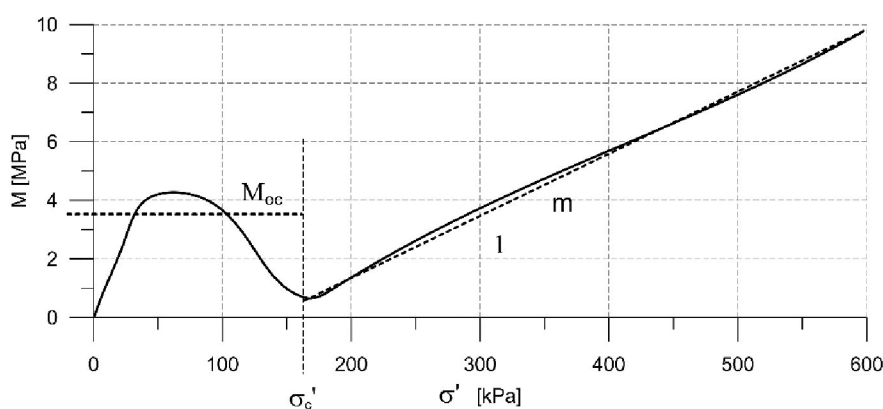


### SENSITIVITET

Sensitiviteten  $St = c_u/c_r$  uttrykker forholdet mellom en leires udrenerte skjærfasthet i uforstyrret og omrørt tilstand. Denne størrelsen kan bestemmes fra konusforsøk i laboratoriet eller ved vingeborforsøk i felt. Kvikkleire har for eksempel meget lav omrørt skjærfasthet ( $c_r < 0,5$  kPa NS8015,  $c_r < 0,33$  kPa ISO 17892-6), og viser derfor som regel meget høye sensitivitetsverdier.

#### DEFORMASJONS- OG KONSOLIDERINGSEGENSKAPER

Jordartens deformasjons- og konsolideringsegenskaper benyttes ved beregning av setninger og deformasjoner. Disse mekaniske egenskapene bestemmes ved hjelp av belastningsforsøk i ødometer. Jordprøven bygges inn i en stiv ring som forhindrer sideveis deformasjon. Belastningen skjer vertikalt med trinnvis eller kontinuerlig økende last/spenning ( $\sigma'$ ). Sammenhørende verdier for spenning og deformasjon (tøyning  $\epsilon$ ) registreres, og materialets stivhet (deformasjonsmodul) kan beregnes som  $M = \Delta\sigma'/\Delta\epsilon$ . Denne presenteres som funksjon av vertikalspenningen. En sentral parameter som tolkes i sammenheng med ødometerforsøk er forkonsolideringsspenningen ( $\sigma'_c$ ). Dette er det største lastnivået som jorda har opplevd tidligere (f.eks. tidligere overlagring eller islast). Deformasjonsmodulen viser typisk forskjellig oppførsel under og over forkonsolideringsspenningen. I leire vil stivheten for spenningsnivåer under  $\sigma'_c$  representeres ved en konstant stivhetsmodul  $M_{oc}$ . For spenningsnivåer over  $\sigma'_c$  vil stivheten øke med økende spenning. Denne økningen kan beskrives ved modultallet  $m$ .



#### TELEFARLIGHET

En jordarts telefarlighet bestemmes ut i fra kornfordelingskurven eller ved å måle den kapillære stigehøyde for materialet. Telefarligheten klassifiseres i gruppene T1 (Ikke telefarlig), T2 (Litt telefarlig), T3 (Middels telefarlig) og T4 (Meget telefarlig) etter SVV Håndbok N200.

#### KOMPRIMERINGSEGENSKAPER

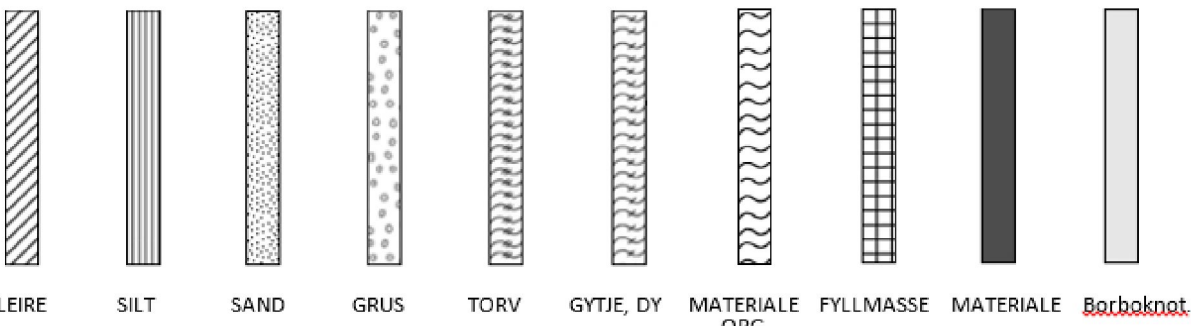
Ved komprimering av en jordart oppnås tettere lagring av mineralkornene. Komprimeringsegenskapene for en jordart bestemmes ved at prøver med forskjellig vanninnhold komprimeres med et bestemt komprimeringsarbeid (Standard eller Modifisert Proctor). Resultatene fremstilles i et diagram som viser tørr densitet  $\rho_d$  som funksjon av innbyggingsvanninnhold  $w_i$ . Den maksimale tørrdensiteten som oppnås ( $\rho_{dmax}$ ) benyttes ved spesifikasjon av krav til utførelsen av komprimeringsarbeider. Det tilhørende vanninnholdet benevnes optimalt vanninnhold ( $w_{opt}$ ).

#### PERMEABILITET

Permeabiliteten defineres som den vannmengden  $q$  som under gitte betingelser vil strømme gjennom et jordvolum pr. tidsenhet. Generelt bestemmes permeabiliteten fra følgende sammenheng:  $q = kiA$ , der  $A$  er bruttoareal av tverrsnittet normalt på vannets strømningsretning og  $i$  = hydraulisk gradient i strømningsretningen (= potensialforskjell pr. lengdeenhet). Permeabiliteten kan bestemmes ved strømningsforsøk i laboratoriet, ved konstant eller fallende potensial, eventuelt ved pumpe- eller strømningsforsøk i felt samt ødometerforsøk.

### OPPTEGNING AV PRØVESERIE - PRØVESKRAVERING

Analyserte prøver skraveres på prøveserietegningen i henhold til hovedbenevnelsen av materialet. Det er i tillegg en egen skravering for eventuelle notater hentet fra borbok til den gjeldende prøveserien. De ulike skraveringene er som følger:



**NB:** Med mindre en kornfordelingsanalyse er utført, er dette kun en subjektiv og veilederende klassifisering som er basert på laborantens visuelle vurdering av materialet.

**LEIRE:** Leirinnholdet er større enn 15 %

**SILT:** Siltinnholdet er større enn 45 % og leirinnholdet er mindre enn 15 %

**SAND:** Sandinnholdet er større enn 60 % og leirinnholdet er mindre enn 15 %

**GRUS:** Grusinnholdet er større enn 60 % og leirinnholdet er mindre enn 15 %

**MATERIALE:** Brukes når materialet har en slik sammensetning at ingen av de ovennevnte betegnelsene kan benyttes.

Dette fremkommer normalt fra en kornfordelingsanalyse

**TORV:** Mer eller mindre omvandlede planterester

**GYTJE/DY:** Består av vannavsatte plante- og dyrerester. De kan virke fete og elastiske

**MATERIALE ORG.:** Sterkt omdannet organisk materiale med løs struktur

**FYLLMASSE:** Avsetninger som ikke er naturlige (utlagte masser)

**Borboknot:** Merknader fra borleder (hentet fra borbok), f.eks. «tom sylinder», «foringsrør», «forboring» osv.

### OPPTEGNING AV PRØVESERIE - SPESIALFORSØK – Korngradering (K) / Treaksialforsøk (T) / Ødometerforsøk (Ø)

Eventuelt utførte spesialforsøk på en prøveserie markeres med K, T eller Ø ved tilhørende prøve. Markeringene indikerer ikke nøyaktig dybde for spesialforsøkene, men er referanse til at det foreligger egne tegninger for forsøket inkludert resultater og ytterlig forsøksinformasjon.

### OPPTEGNING AV PRØVESERIE - SYMBOLFORKLARING - Vanninnhold og konsistensgrenser

Vanninnhold og konsistensgrenser utført ved rutineundersøkelsen fremvises på prøveserietegningen ved plassering av symboler på tilhørende graf. Dersom et vanninnhold overstiger grafens maksgrense vil verdien oppgis i siffer ved grafens øvre ytterpunkt.

Vanninnhold $w$		Plastisitetsgrense $w_p$	
		Flytegrense $w_f$	

### OPPTEGNING AV PRØVESERIE - SYMBOLFORKLARING - Udreneret skjærfasthet

Resultatene fra utførte konus- og enaksiale trykkforsøk ved rutineundersøkelsen fremvises på prøveserietegningen ved plassering av symboler på tilhørende graf. Dersom en skjærfasthetverdi overstiger grafens maksgrense vil verdien oppgis i siffer ved grafens øvre ytterpunkt.

Uomrørt konus $c_{ufc}$		Omrørt konus $c_{urfc}$	
Enaksialt trykkforsøk Strek angir aksial tøyning (%) ved brudd		Omrørt konus $c_{urfc} \leq 2,0 \text{ kPa}$	0,9

## **BILAG 3**

### **Oversikt over metodestandarder og retningslinjer**

**(2 sider)**

**METODESTANDARDER OG RETNINGSLINJER – FELTUNDERSØKELSER**

Feltundersøkelsesmetoder beskrevet i geotekniske bilag, samt terminologi og klassifisering benyttet i rapportering, baserer seg på gjeldende versjon av følgende standarder og referansedokumenter:

Dokument	Tema
NGF Melding 1	SI-enheter
NGF Melding 2, NS-EN ISO 14688-1 og -2	Symboler og terminologi
NGF Melding 3	Dreiesondering
NGF Melding 4	Vingeboring
NGF Melding 5, NS-EN ISO 22476-1	Trykksondering med poretrykksmåling (CPTU)
NGF Melding 6	Grunnvanns- og poretrykksmåling
NGF Melding 7	Dreietrykksondering
NGF Melding 8	Kommentarkoder for feltundersøkelser
NGF Melding 9	Totalsondering
NS-EN ISO 22476-2	Ramsondering
NGF Melding 10	Beskrivelsestekster for grunnundersøkelser
NGF Melding 11, NS-EN ISO 22475-1	Prøvetaking
Statens vegvesen Håndbok R211	Feltundersøkelser
NS 8020-1	Kvalifikasjonskrav til utførende av grunnundersøkelser

**METODESTANDARDER OG RETNINGSLINJER – LABORATORIEUNDERSØKELSER**

Laboratorieundersøkeler beskrevet i geotekniske bilag, samt terminologi og klassifisering benyttet i rapportering, baserer seg på følgende standarder og referansedokumenter:

Dokument	Tema
NS8000	Konsistensgrenser – terminologi
NS8001	Støtflytegrense
NS8002	Konusflytegrense
NS8003	Plastisitetsgrense (utrullingsgrense)
NS8004	Svinngrense
NS8005, NS-EN ISO 17892-4	Kornfordelingsanalyse
NS8010, NS-EN ISO 14688-1 og -2	Jord – bestanddeler og struktur. Klassifisering og identifisering.
NS8011, NS-EN ISO 17892-2	Densitet
NS8012, NS-EN ISO 17892-3	Korndensitet
NS8013, NS-EN ISO 17892-1	Vanninnhold
NS8014	Poretall, porøsitet og metningsgrad
ISO 17892-6:2017	Skjærfasthet ved konusforsøk
NS8016	Skjærfasthet ved enaksialt trykkforsøk
NS-EN ISO 17892-5:2017	Ødometerforsøk, trinnvis belastning
NS8018	Ødometerforsøk, kontinuerlig belastning
NS-EN ISO/TS 17892-8 og -9	Treaksialforsøk (UU, CD)
Statens vegvesen Håndbok R210	Laboratorieundersøkeler